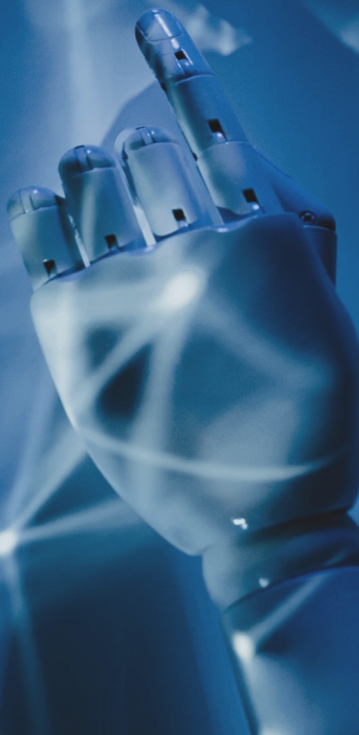




XÂY DỰNG MÔ HÌNH ML, ANN, GNN VÀ KẾT HỢP DOCKING PHÂN TỬ

*Sàng lọc các chất ức chế thụ thể ALK trong
điều trị bệnh ung thư phổi không tế bào nhỏ*

Sinh viên thực hiện: TRỊNH THẾ CHƯƠNG
GVHD: PSG. TS. TRƯỜNG NGỌC TUYỀN



NỘI DUNG



TỔNG QUAN

1

Tổng quan NSCLC, NSCLC dạng ALK dương tính, ML, ANN, GNN, Docking phân tử

ĐỐI TƯỢNG VÀ PHƯƠNG PHÁP

2

Dữ liệu xây dựng, quy trình xây dựng các mô hình, và sàng lọc ảo

KẾT QUẢ VÀ BÀN LUẬN

3

Kết quả đánh giá các mô hình và các ứng viên ức chế ALK tiềm năng.

KẾT LUẬN VÀ ĐỀ NGHỊ

2

1. TỔNG QUAN

Tổng quan về ung thư phổi và ung thư phổi không tế bào nhỏ (NSCLC), NSLC dạng ALK dương tính, các thuốc ức chế ALK.

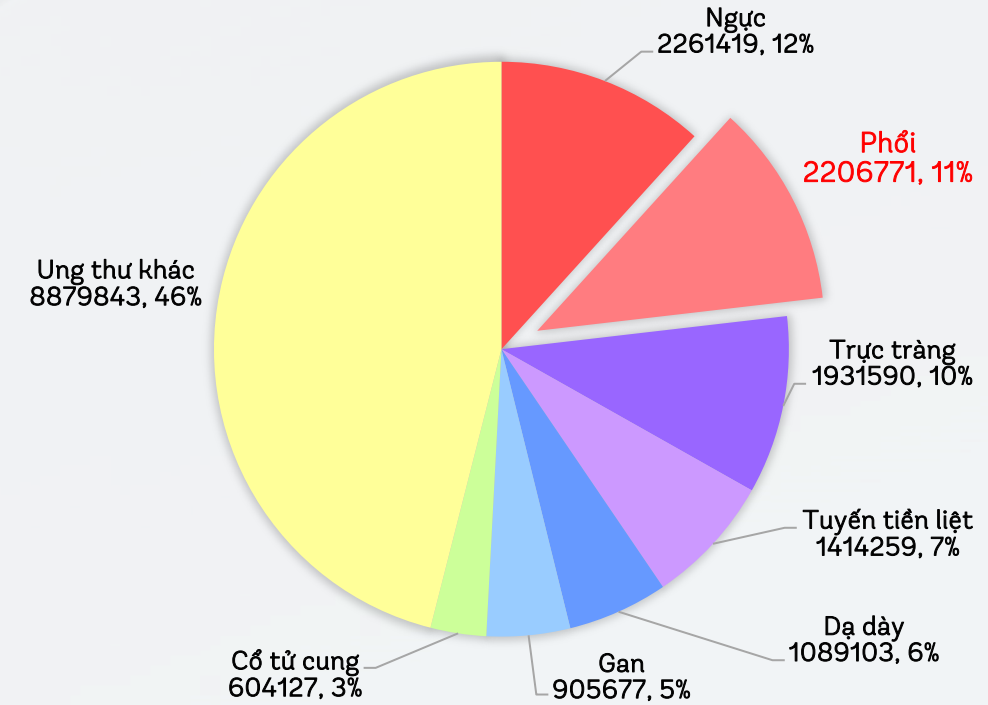
Tổng quan các nghiên cứu *in silico* ứng dụng trí tuệ nhân tạo trong khám phá và thiết kế thuốc nói chung và nhóm ức chế ALK nói riêng.





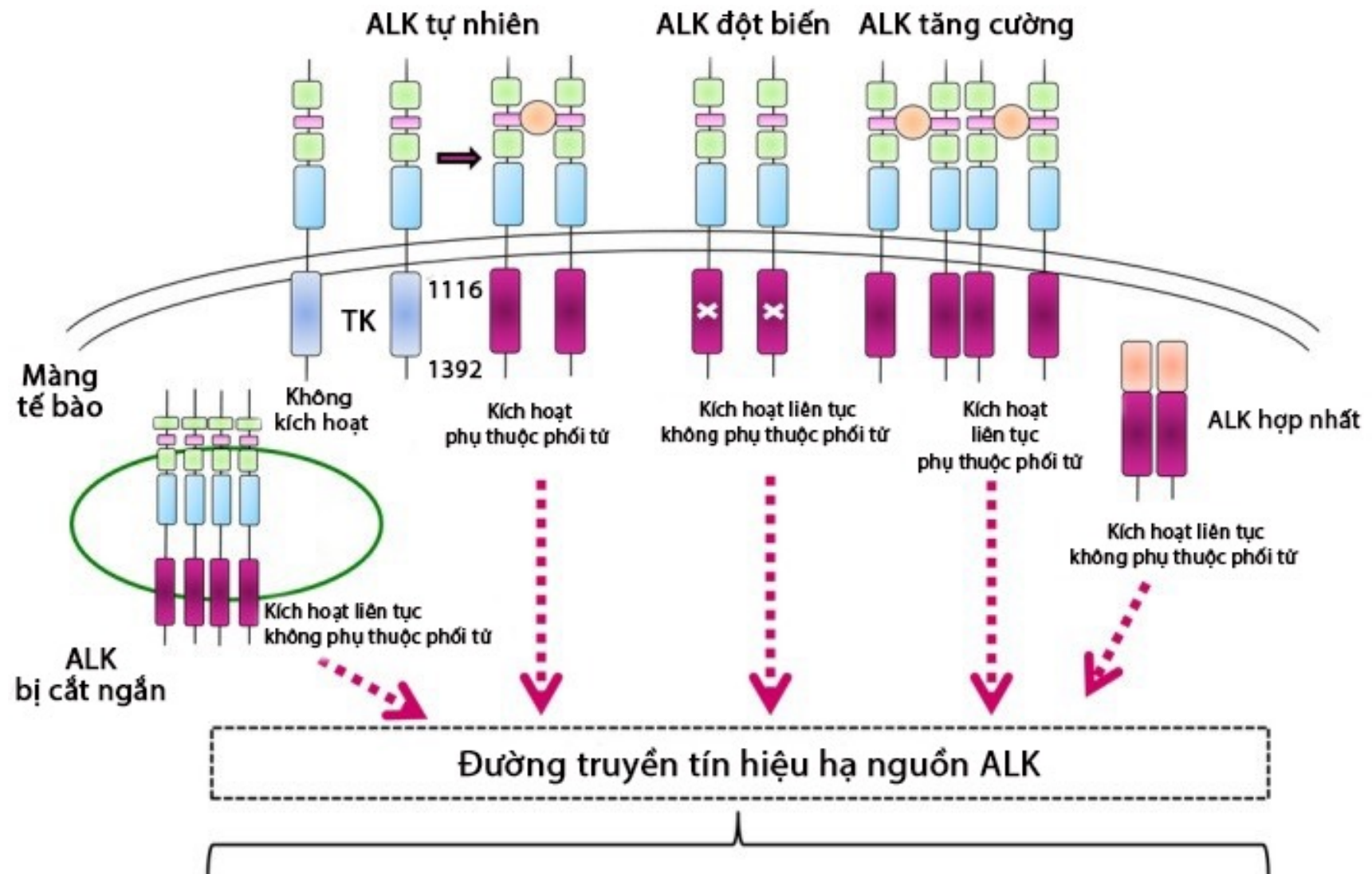
SỐ LIỆU THỐNG KÊ

- Tỉ lệ tử vong chiếm **18%**
- Tại Việt Nam, bệnh ung thư **phổi biến thứ 2**.
- NSCLC chiếm **85%**.
- NSCLC **dạng ALK dương tính chiếm 5%**



Ước tính số ca ung thư mới mắc 2020

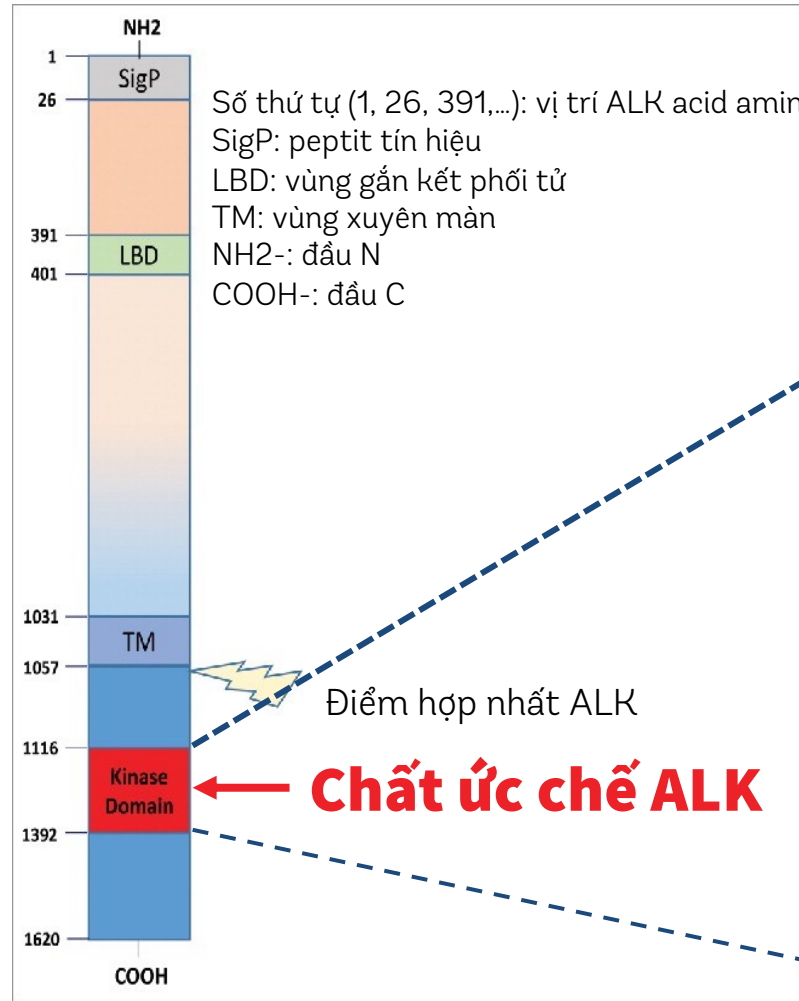
CƠ CHẾ BỆNH SINH



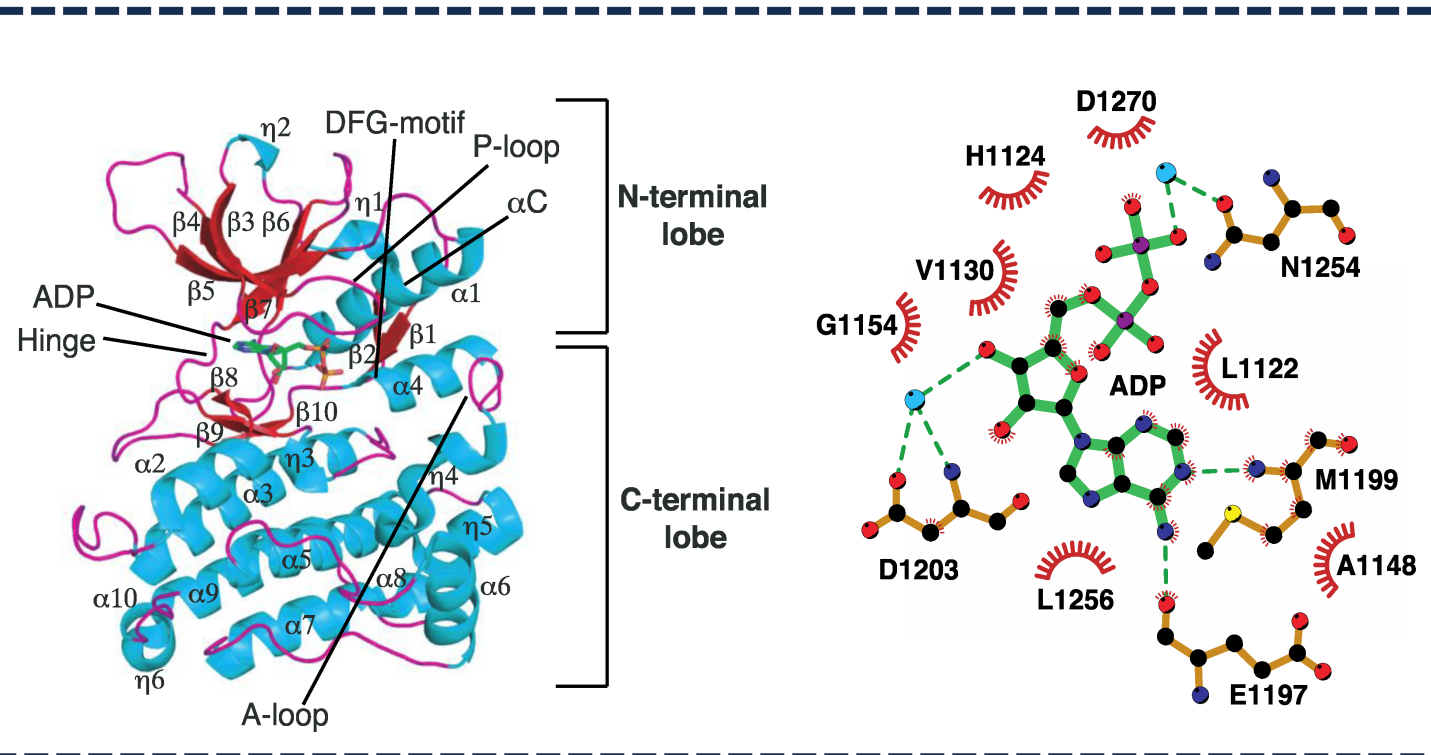
Tiến trình chu kỳ tế bào Khả năng sống sót Tăng trưởng Di căn Hình thành mạch máu mới

CẤU TRÚC THỤ THỂ ALK

1

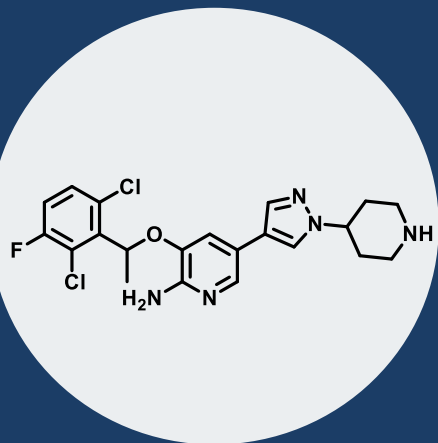


ATP gắn vào vùng kinase của thụ thể để kích hoạt quá trình phosphoryl hóa. Vùng bản lề là nơi ATP gắn vào. Các chất ức chế ALK bắt chước cách gắn của ATP ở vùng bản lề để ngăn chặn quá trình phosphoryl hóa và sự phát triển của ung thư.



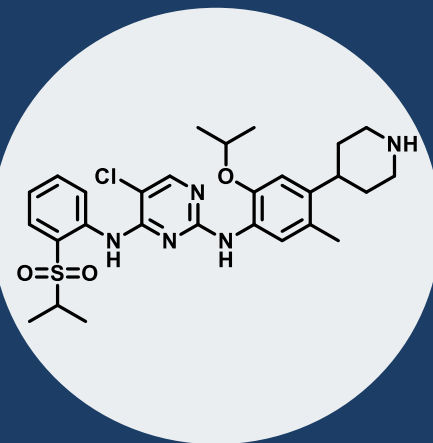
CÁC THUỐC ỨC CHẾ ALK

1



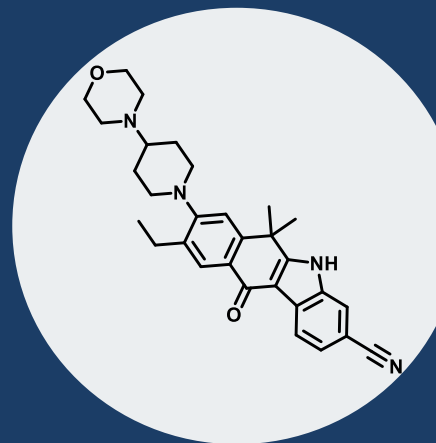
Crizotinib

Tên thương mại là Xalkori®, được FDA chấp thuận năm 2011



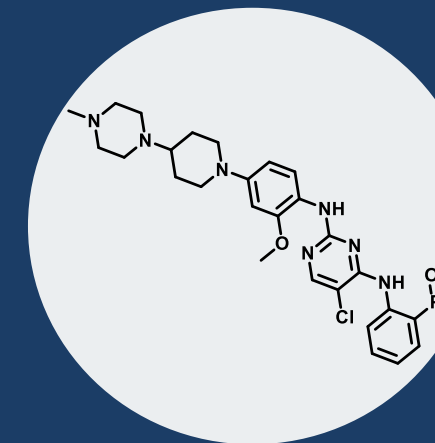
Ceritinib

Tên thương mại là Zykadia®, được FDA chấp thuận năm 2014



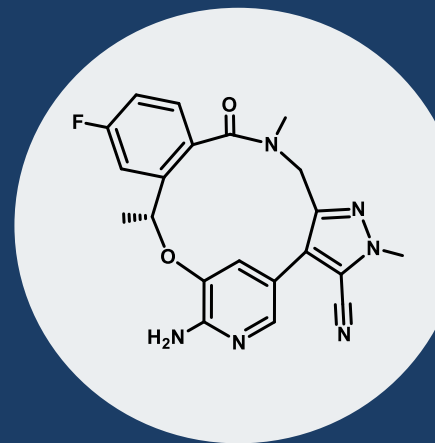
Alectinib

Tên thương mại là Alecensa®, được FDA chấp thuận năm 2015



Brigatinib

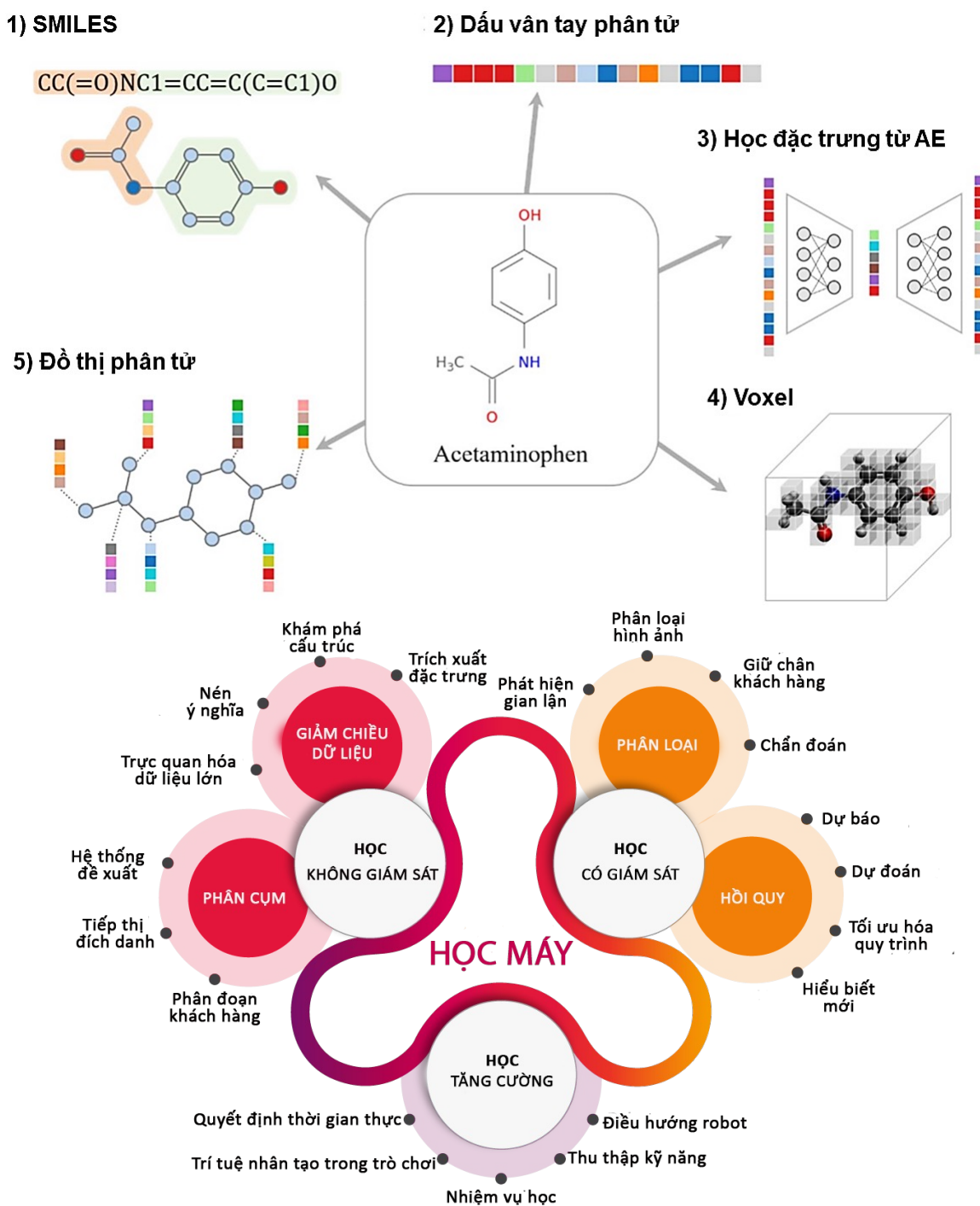
Tên thương mại là Alunbrig®, được FDA chấp thuận năm 2016



Lorlatinib

Tên thương mại là Lorbrena®, được FDA chấp thuận năm 2015

VAI TRÒ CỦA AI TRONG THIẾT KẾ THUỐC



DỰ ĐOÁN CHẤT TIỀM NĂNG

Halicin: kháng sinh do AI tìm ra

DỰ ĐOÁN ÁI LỰC GẮN KẾT

GNINA: docking phân tử dùng AI

DỰ ĐOÁN CẤU TRÚC PROTEIN

Alphafold: AI dự đoán cấu trúc 3D protein

BIỂU DIỄN CẤU TRÚC PHÂN TỬ

SMILES, dấu vân tay, đồ thị phân tử

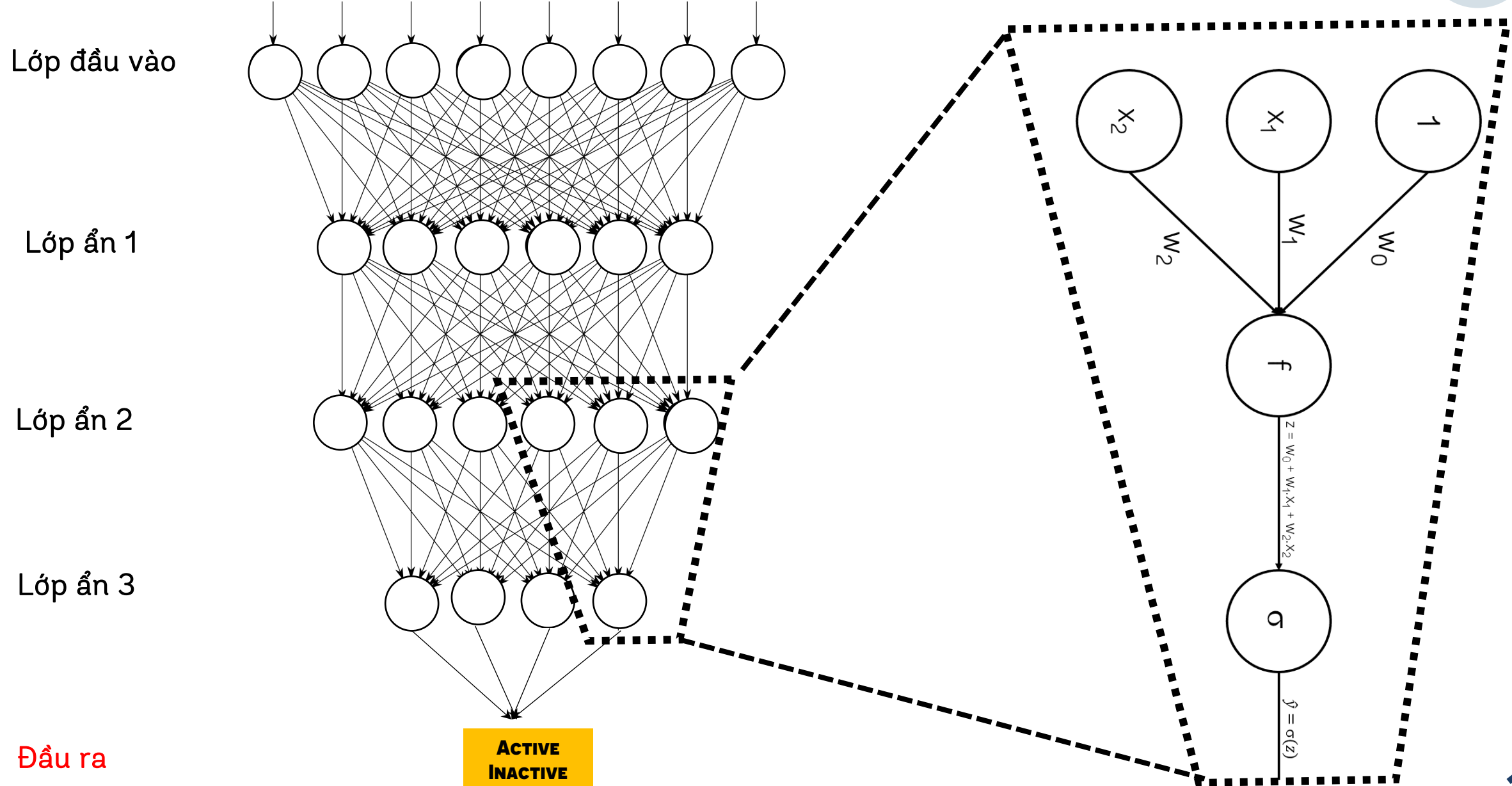
CÁC THUẬT TOÁN HỌC MÁY PHỔ BIẾN

1



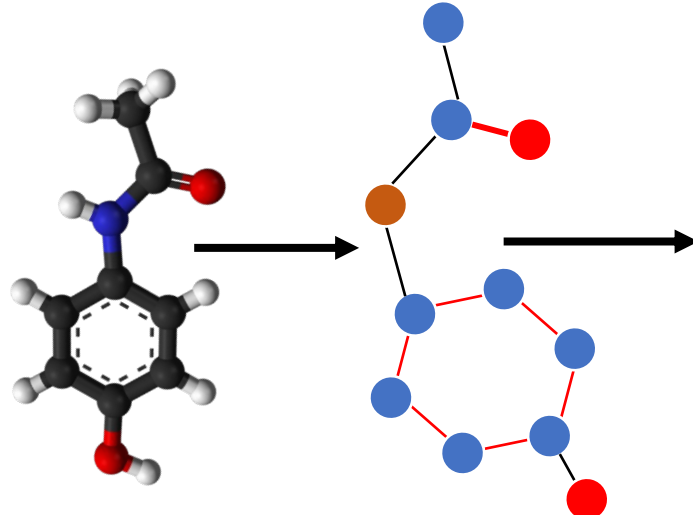
MẠNG THẦN KINH NHÂN TẠO (ANN)

1

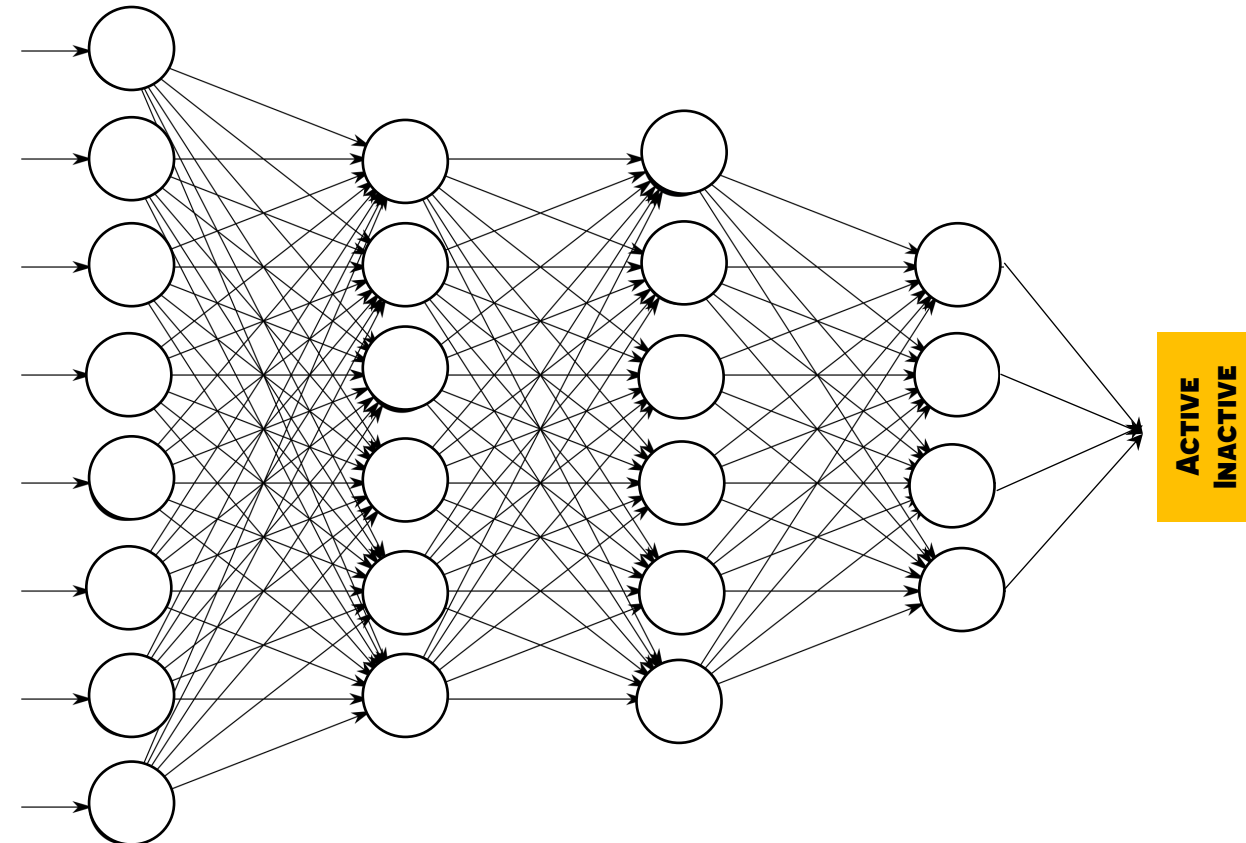


MẠNG THẦN KINH ĐỒ THỊ (GNN)

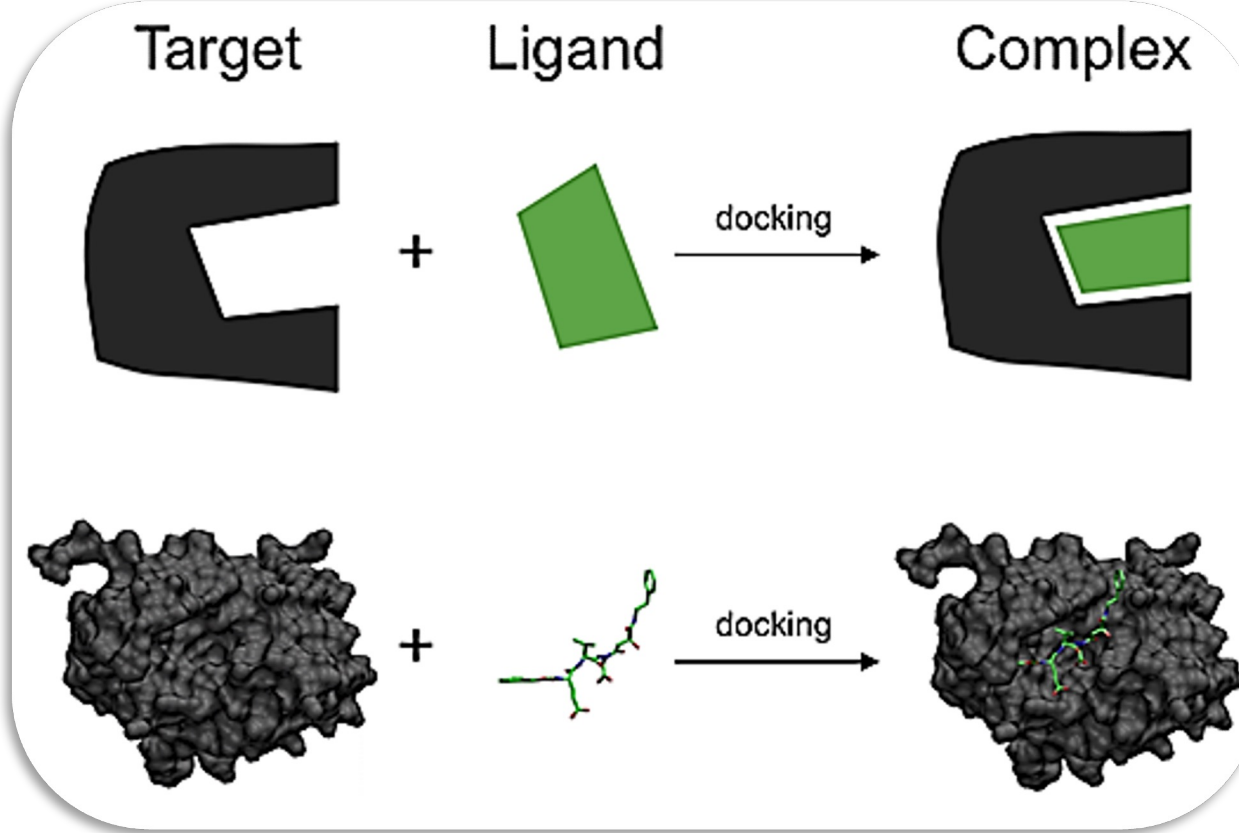
1



LỚP XỬ LÝ
ĐỒ THỊ



MÔ HÌNH DOCKING PHÂN TỬ



PROTEIN

PHỐI TỬ

CHUẨN BỊ

DOCKING

TÍNH ĐIỂM

PHÂN TÍCH

```

        type.pause = function (e) {
            if (this.paused = true)
                this.$element.find('.next, .prev').length && $support.transition.end)
                    this.cycle(true)
            this.interval = clearInterval(this.interval)
            return this
        }

Carousel.prototype.next = function () {
    if (this.sliding) return
    return this.slide('next')
}

Carousel.prototype.prev = function () {
    if (this.sliding) return
    return this.slide('prev')
}

Carousel.prototype.slide = function (type, next) {
    var $active = this.$element.find('.item.active')
    var $next = next || this.getItemForDirection(type, $active)
    var isCycling = this.interval
    var direction = type == 'next' ? 'left' : 'right'
    var fallback = type == 'next' ? 'first' : 'last'
    var that = this

    if (!$next.length) {
        if (!this.options.wrap) return
        $next = this.$element.find('.item')[fallback]
    }

    if ($next.hasClass('active'))
        return

    var relatedTarget = $next[0]
    var slideEvent = $.Event('slide.bs.carousel', {
        relatedTarget: relatedTarget,
        direction: direction
    })
    this.$element.trigger(slideEvent)
}

```



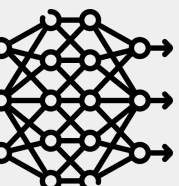
Mô hình học máy

Quy trình xây dựng và đánh giá mô hình học máy.

2. ĐỐI TƯỢNG VÀ PHƯƠNG PHÁP

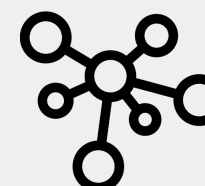
Xây dựng dữ liệu huấn luyện, dữ liệu sàng lọc và protein đích.

Xây dựng các mô hình học máy, ANN, GNN, Docking. Phương pháp đánh giá và cải thiện mô hình.



ANN

Thiết kế cấu trúc mạng ANN
đánh giá mô hình ANN.



GNN

Thiết kế cấu trúc mạng GNN
đánh giá mô hình GNN.



Docking

Docking phân tử để đánh giá
hiệu năng mô hình AI.

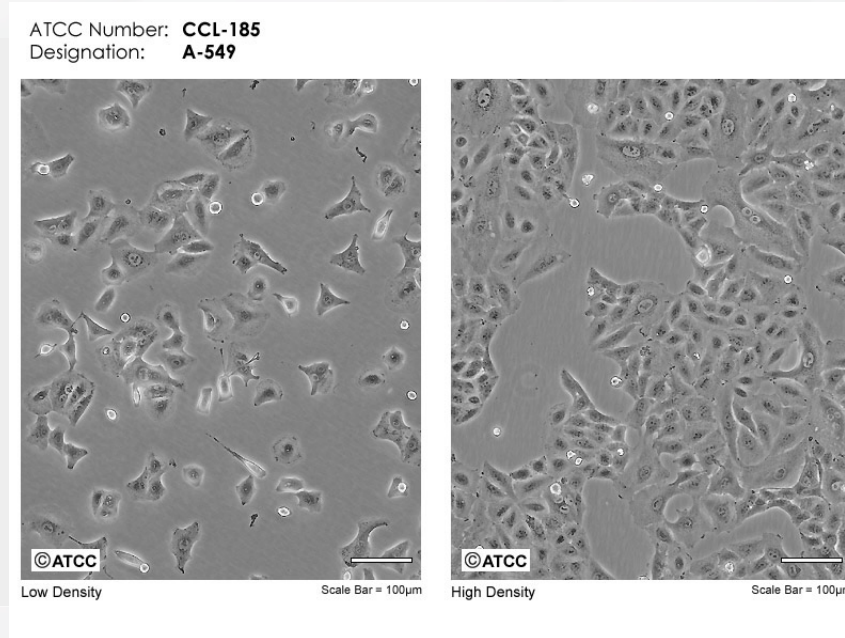


ELSEVIER

Reaxys

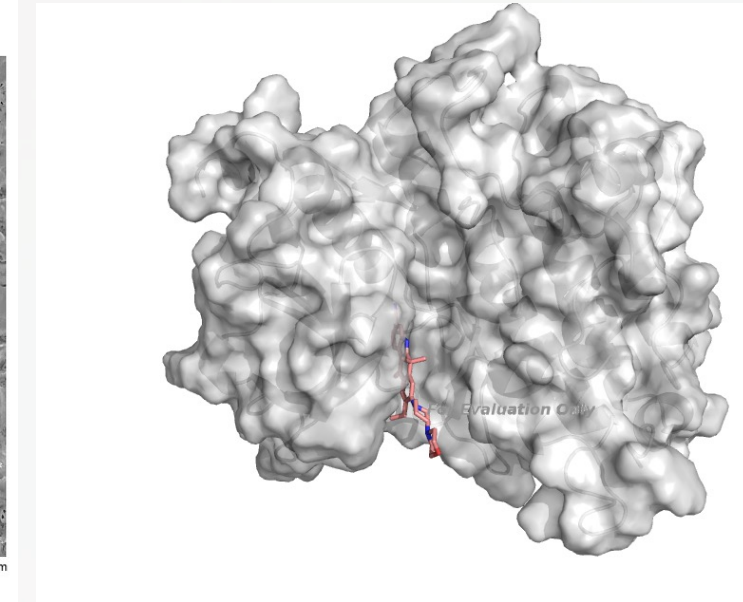
DỮ LIỆU XÂY DỰNG

26.168 cấu trúc được
nghiên cứu trên
ALK từ thư viện Reaxys.



DỮ LIỆU SÀNG LỌC

Cấu trúc được nghiên cứu
độc tính trên dòng tế bào
A549 của ChEMBL mã
định danh 392.

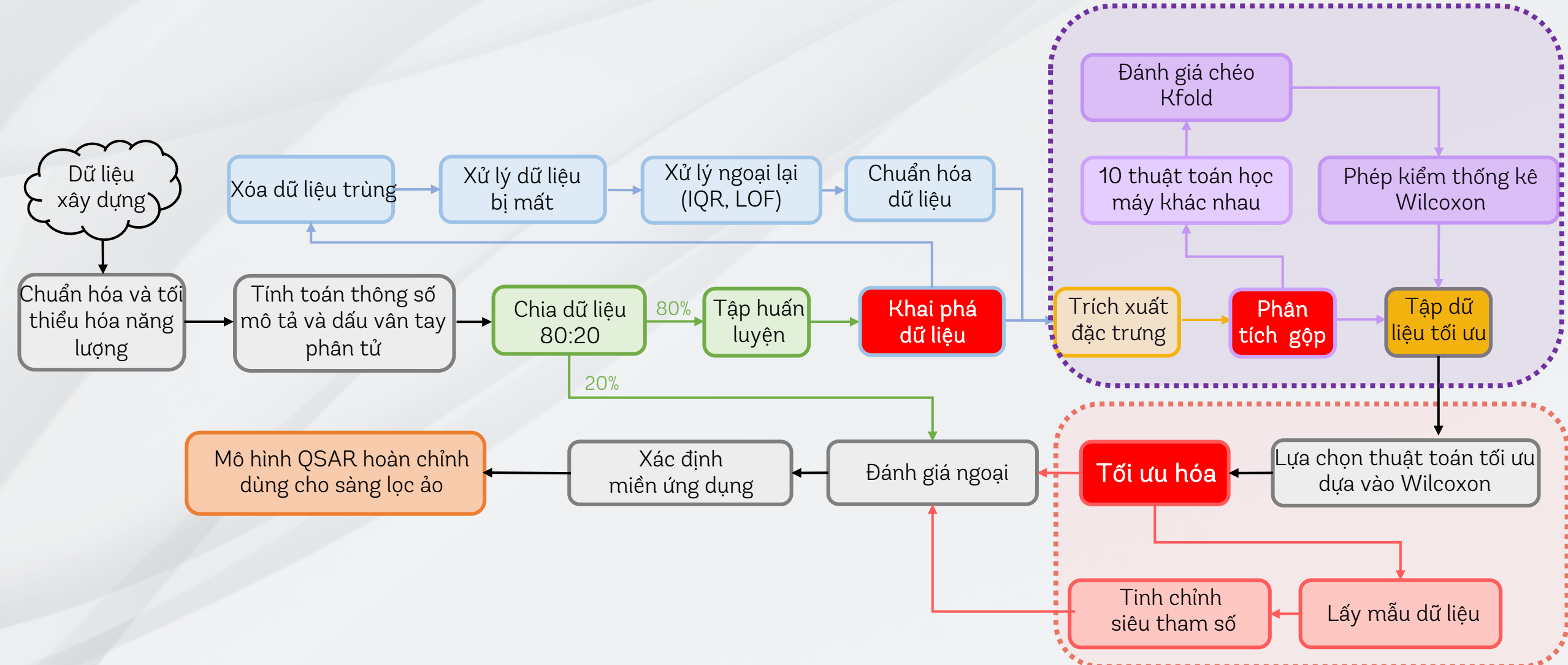


PROTEIN

Cấu trúc ALK liên kết với
phối tử alestinib với mã
protein là 3AOX.

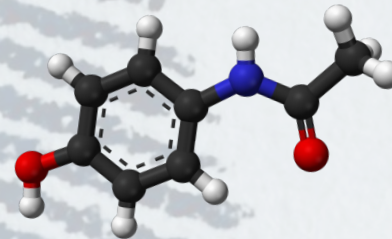
MÔ HÌNH HỌC MÁY

2



QUY TRÌNH PHÂN TÍCH GỘP

2



FP1

FP2

FP3

FP4

FP4

FP5

FP6

FP7

FP8

FP8

FP9

FP10

FP11

FP12

FP13

FP14

FP15

FP16

FP17

FP18

FP19

KHAI PHÁ  DỮ LIỆU

Meta-model

MODEL 10

MODEL 9

MODEL 8

MODEL 7

MODEL 6

MODEL 5

MODEL 4

MODEL 3

MODEL 2

MODEL 1

QUY TRÌNH PHÂN TÍCH GỘP

2

Meta-model

MODEL 1

MODEL 2

MODEL 3

MODEL 4

MODEL 5

MODEL 6

MODEL 7

MODEL 8

MODEL 9

MODEL 10

Ma trận kết quả

x19

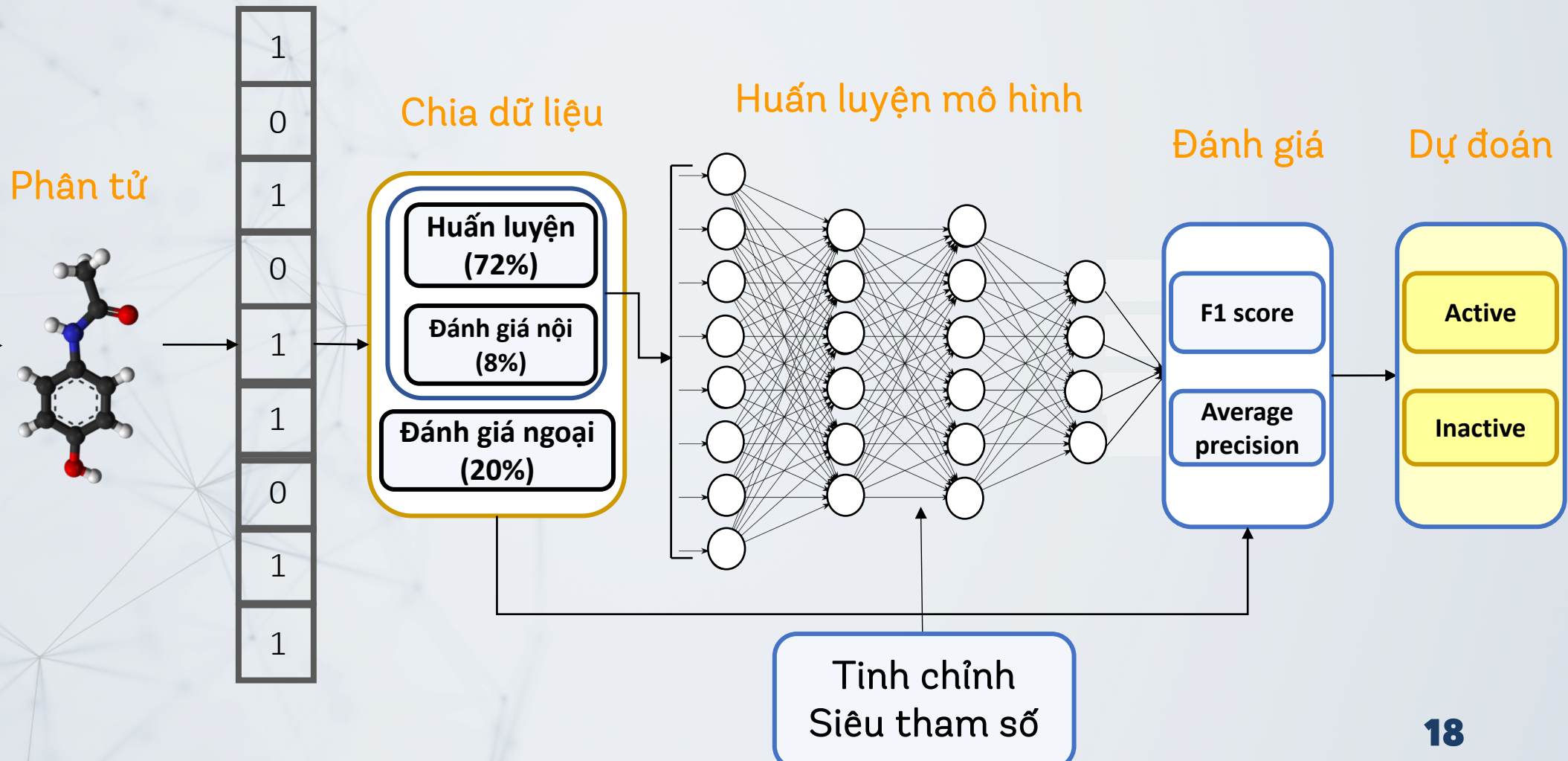
PHÉP KIỂM THỐNG KÊ
WILCOXON

**FINGERPRINT
TỐT NHẤT**

MẠNG THẦN KINH NHÂN TẠO (ANN)

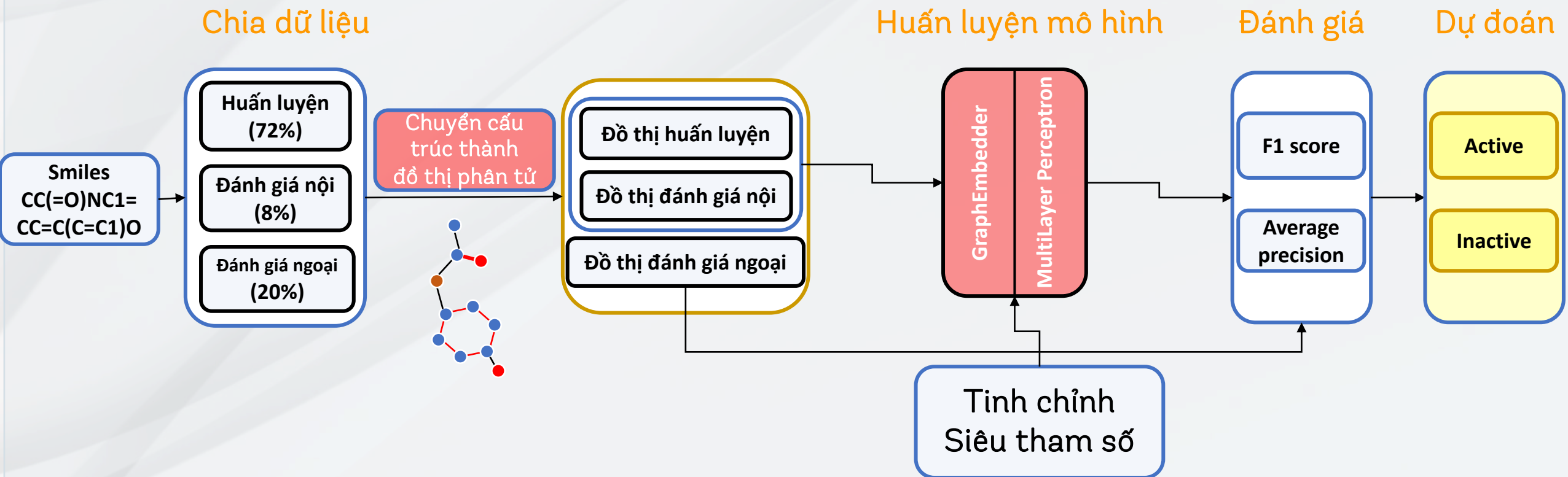
2

DẤU VÂN TAY TỐI ƯU TỪ QUY TRÌNH PHÂN TÍCH GỘP

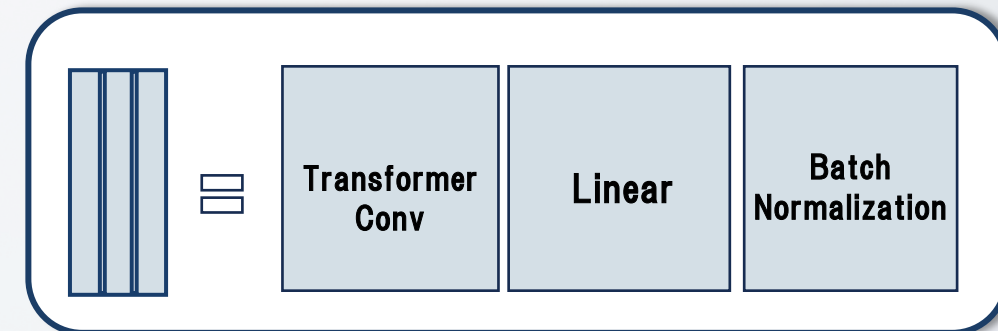
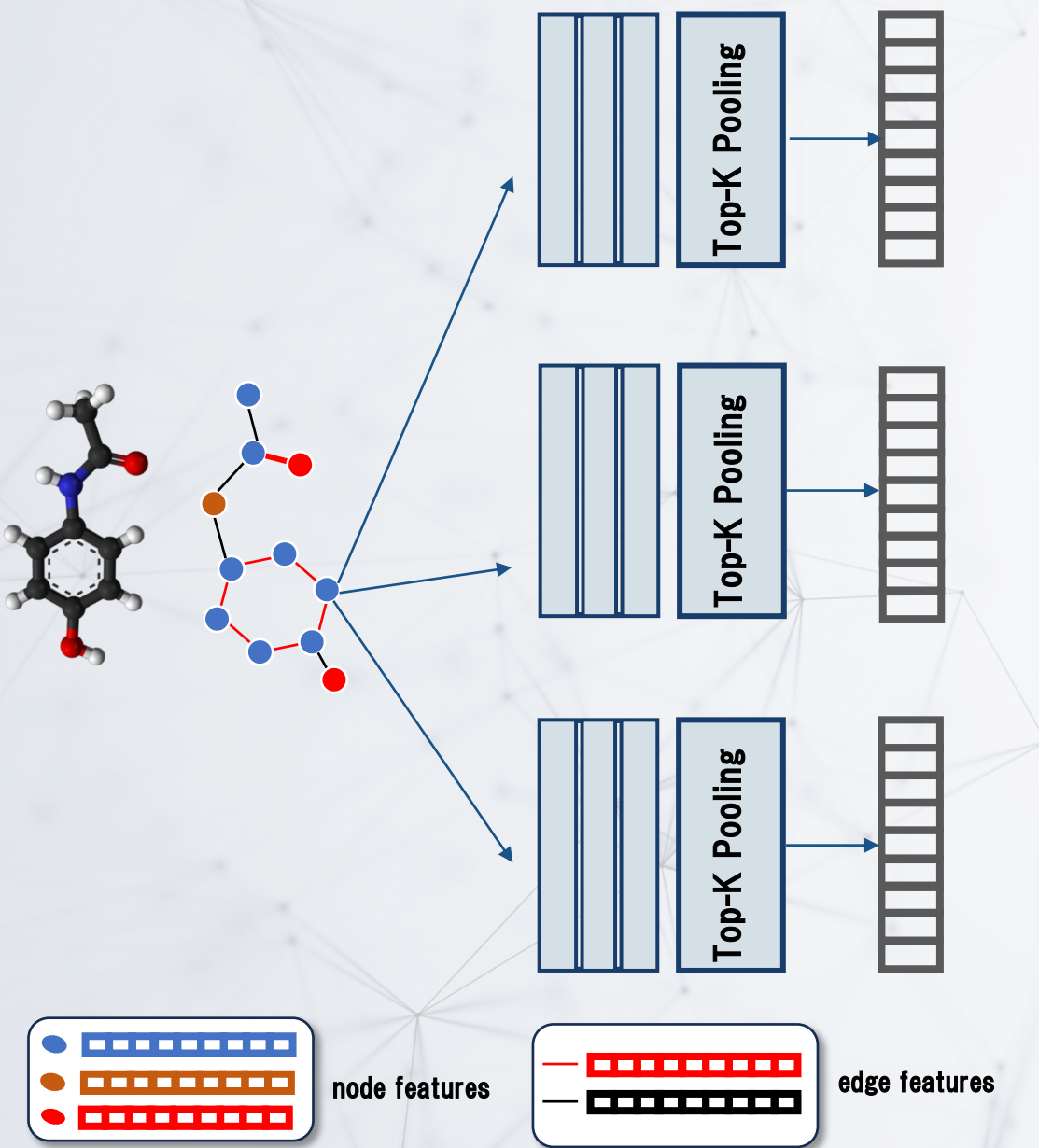


MẠNG THẦN KINH ĐỒ THỊ (GNN)

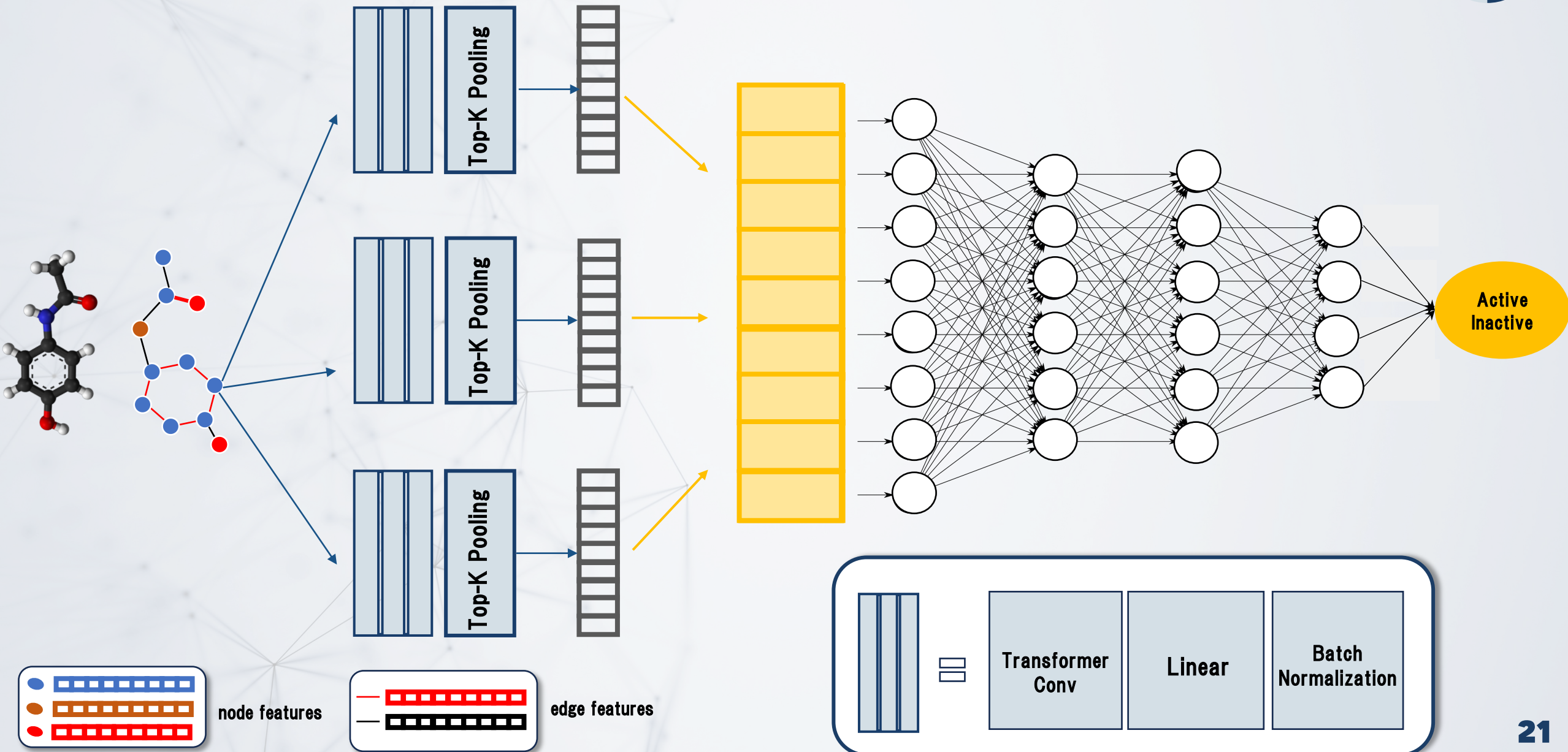
2



MẠNG THẦN KINH ĐỒ THỊ (GNN)



MẠNG THẦN KINH ĐỒ THỊ (GNN)



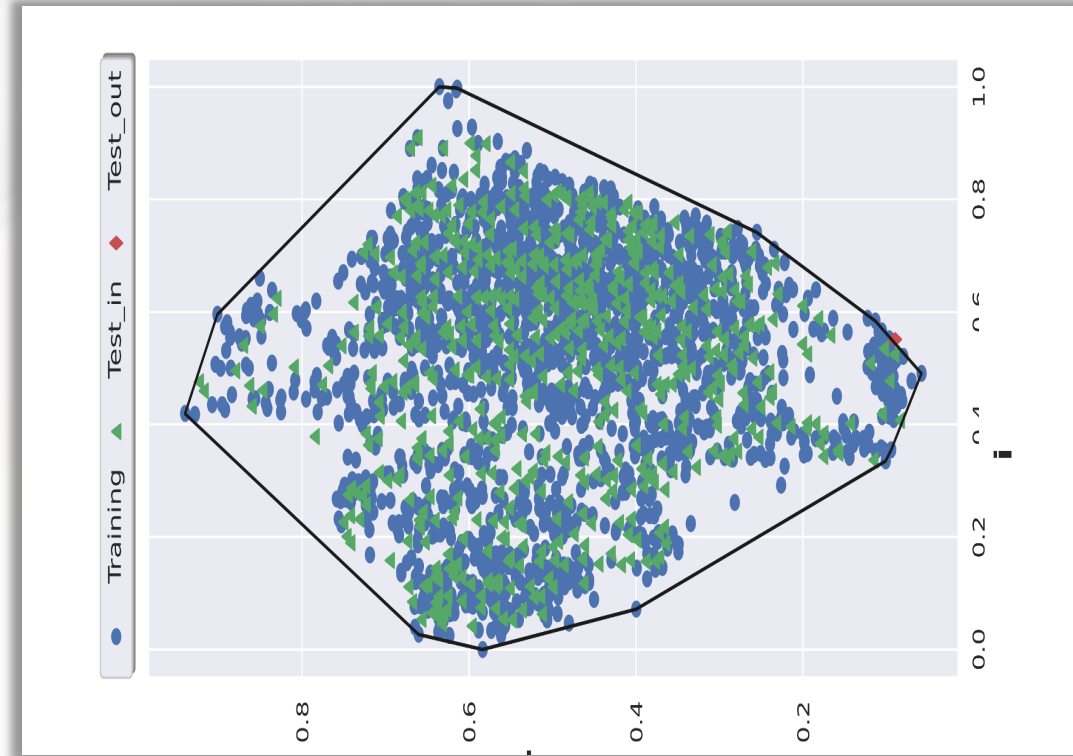
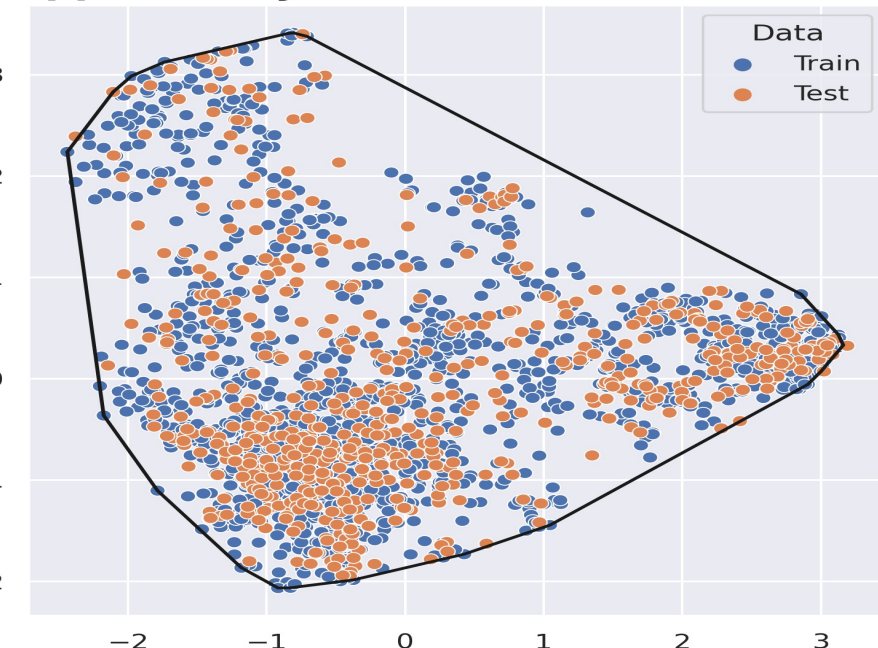
MIỀN ỨNG DỤNG (APPLICABILITY DOMAIN)

2

DẤU VÂN TAY + PCA + HÀM BAO LỒI

Ưu điểm: đơn giản, tính toán nhanh.

Nhược điểm: Có nhiều khoảng trống trong AD



MA TRẬN TƯƠNG ĐỒNG TANIMOTO + MDS + HÀM BAO LỒI

Ưu điểm: thể hiện độ tương đồng của các chất với nhau, khắc phục nhược điểm vùng trống.
Nhược điểm: tính toán tốn nhiều thời gian.

TỐI ƯU HÓA MÔ HÌNH

LẤY MẪU DỮ LIỆU

Phù hợp tập dữ liệu bị mất cân bằng.

SMOTE (Synthetic Minority Over-sampling Technique) là mô-đun của thư viện imbalanced-learn phiên bản 0.11.0.

Hoạt động bằng cách **tạo ra các mẫu giả trong lớp thiểu số** giúp cân bằng tỷ lệ giữa các lớp.

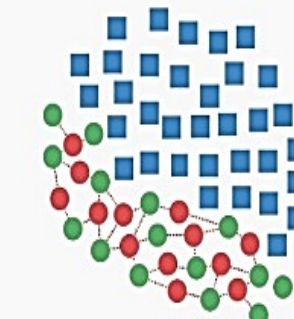
Để tài áp dụng phương pháp này cho **mô hình học máy**.

SMOTE HANDLE IMBALANCED DATASET

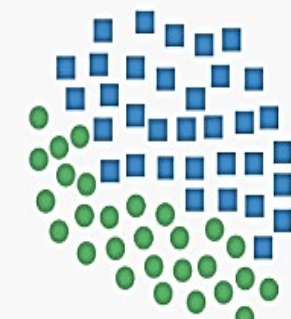
Synthetic Minority Oversampling Technique



Original Dataset



Generating Samples



Resampled Dataset

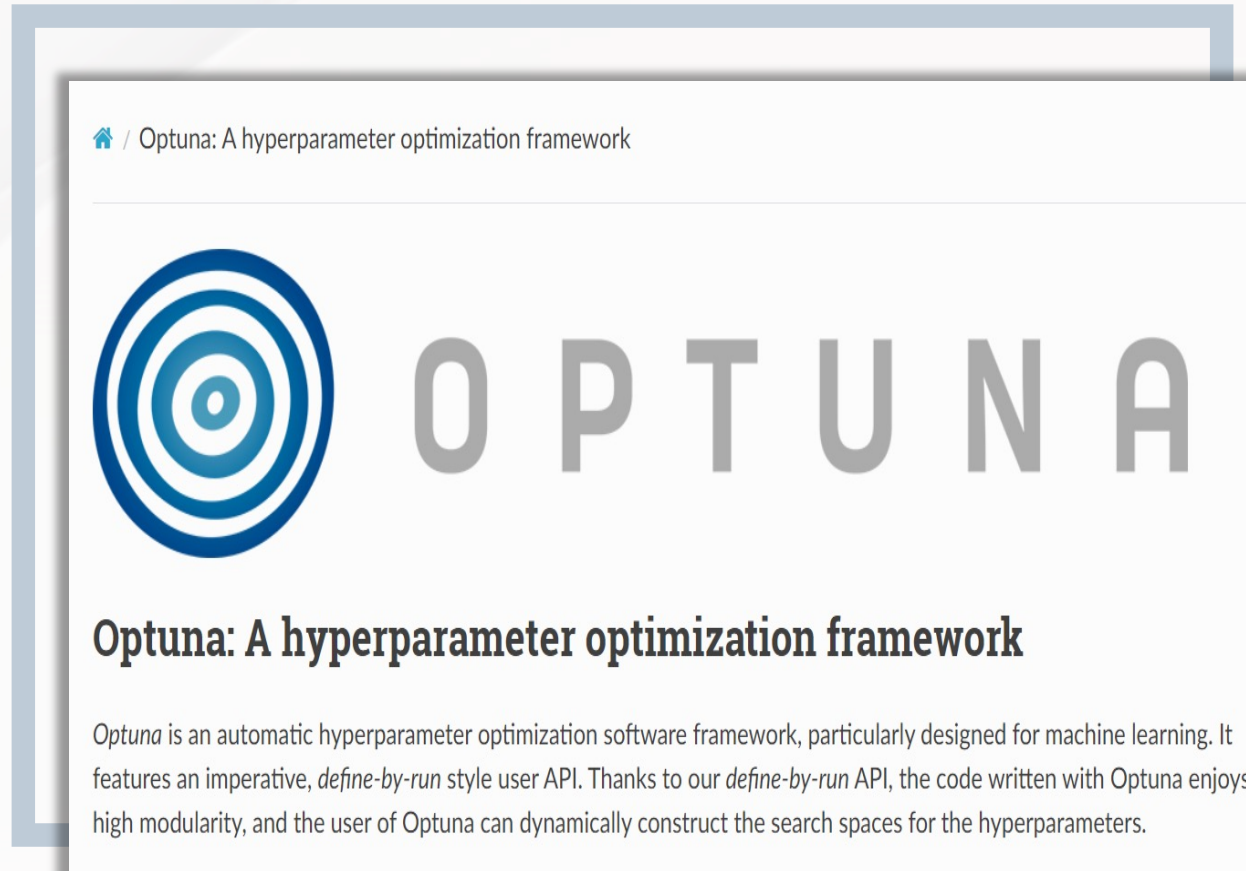
TINH CHỈNH SIÊU THAM SỐ

Siêu tham số là các thông số cấu hình được đặt sẵn trước khi huấn luyện mô hình.

Optuna là một thư viện Python được thiết kế cho việc tối ưu hóa siêu tham số.

Optuna sử dụng thuật toán **Tree-structured Parzen Estimator (TPE)** để thực hiện tối ưu hóa Bayesian.

Đề tài lần lượt thử nghiệm **300 lần** (trials) cho mô hình học máy, **100 lần** cho mô hình ANN và **50 lần** cho mô hình GNN.



DOCKING PHÂN TỬ

2

Giá trị đánh giá:
ROC-AUC



Autodock-GPU

Điểm Autodock

Vina-GPU-2.0

Điểm Vina-GPU

GNINA

Điểm GNINA affinity

Điểm CNN_pose_score

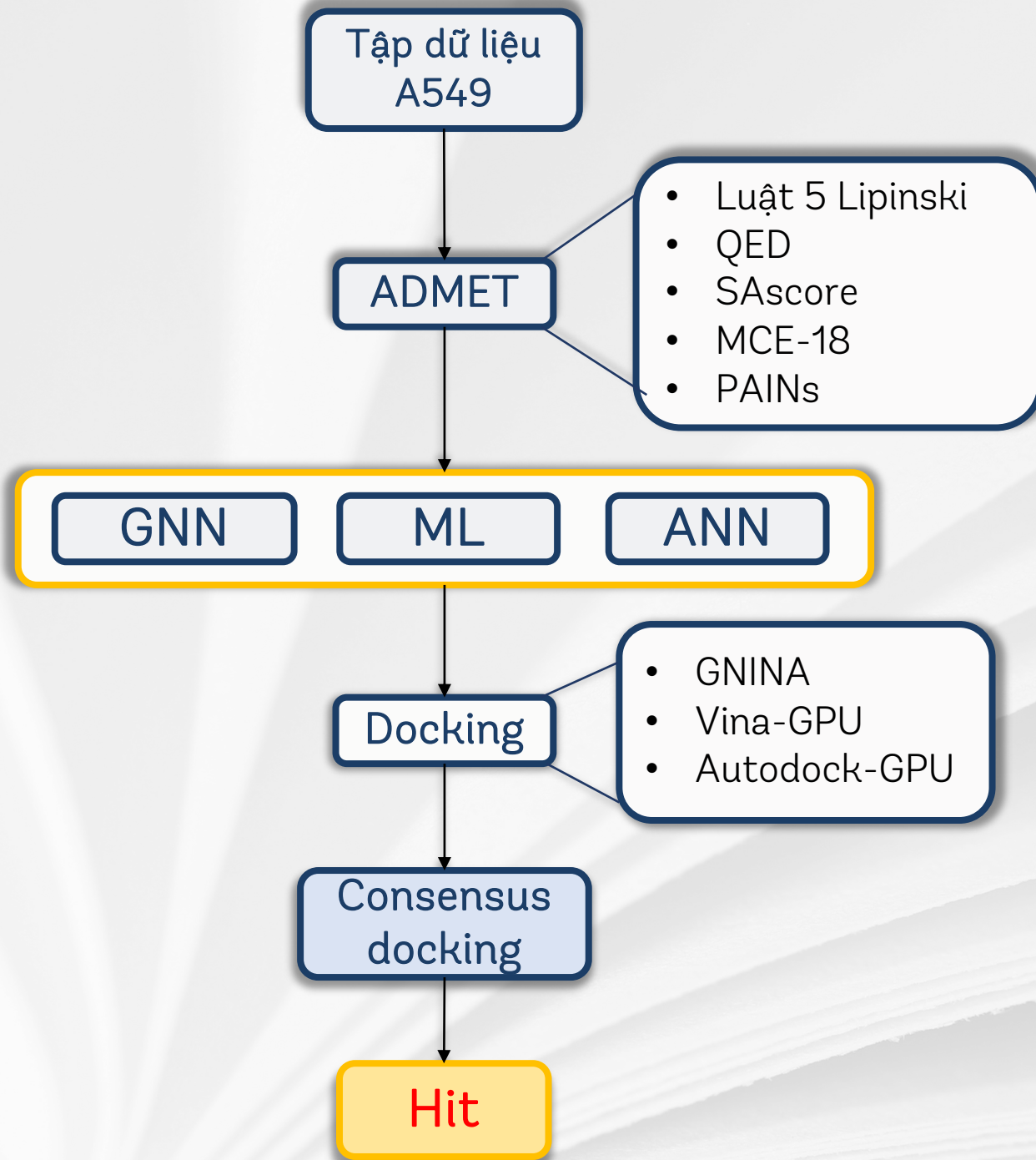
CONSENSUS DOCKING



DỰ ĐOÁN

SÀNG LỌC ẢO

2



3. KẾT QUẢ

Kết quả của quy trình sàng lọc dữ liệu
xây dựng và dữ liệu sàng lọc

Kết quả đánh giá mô hình học máy,
mạng thần kinh nhân tạo và mạng thần
kinh đồ thị

Triển khai các mô hình cho việc sàng lọc
ảo để tìm ra chất ức chế ALK tiềm năng.



QUY TRÌNH THU THẬP VÀ XỬ LÝ DỮ LIỆU

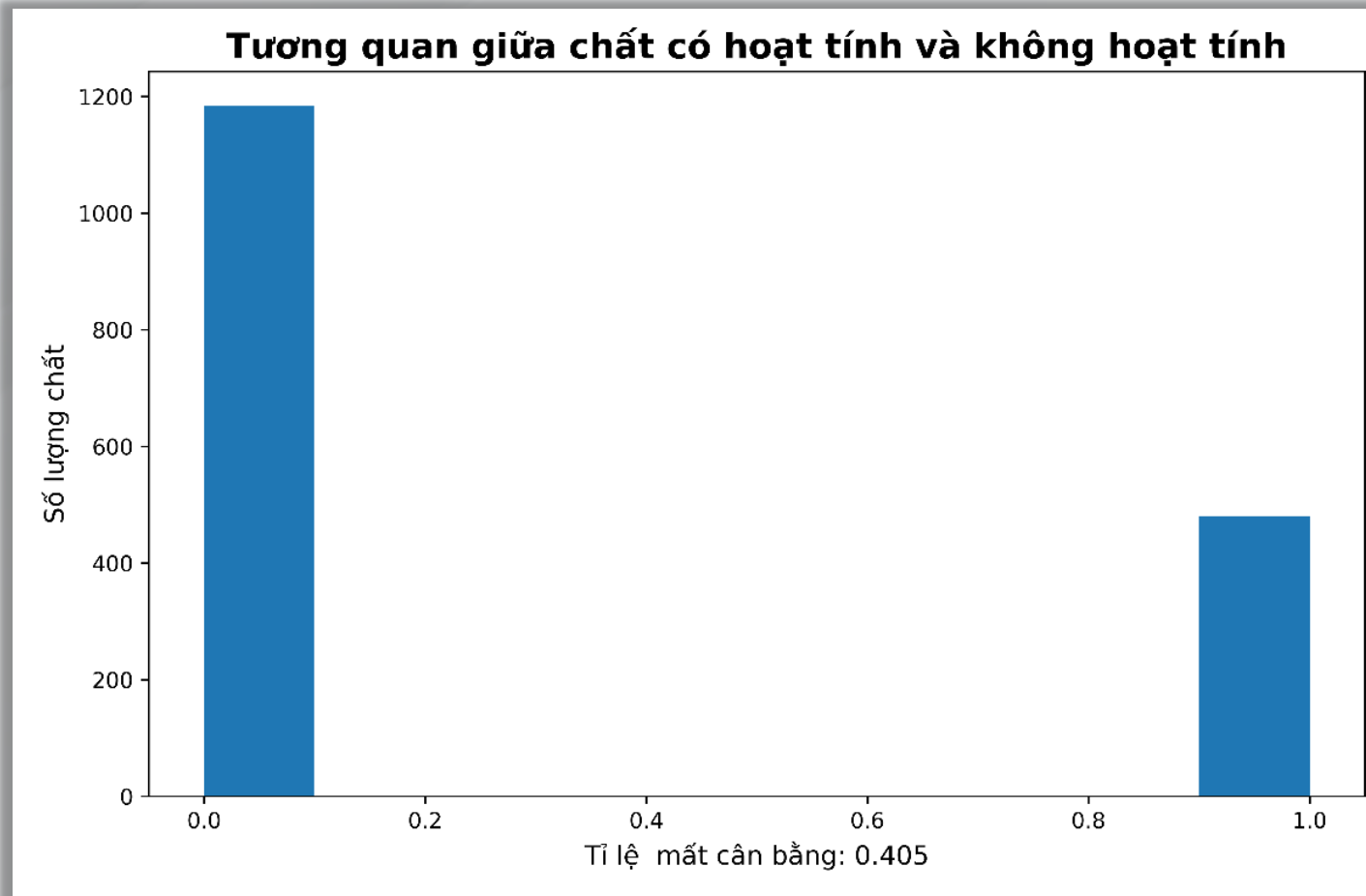


3

Cơ sở dữ liệu Reaxys: **26.168 chất.**

Số chất giữ lại sau quy trình lọc: **1.664**

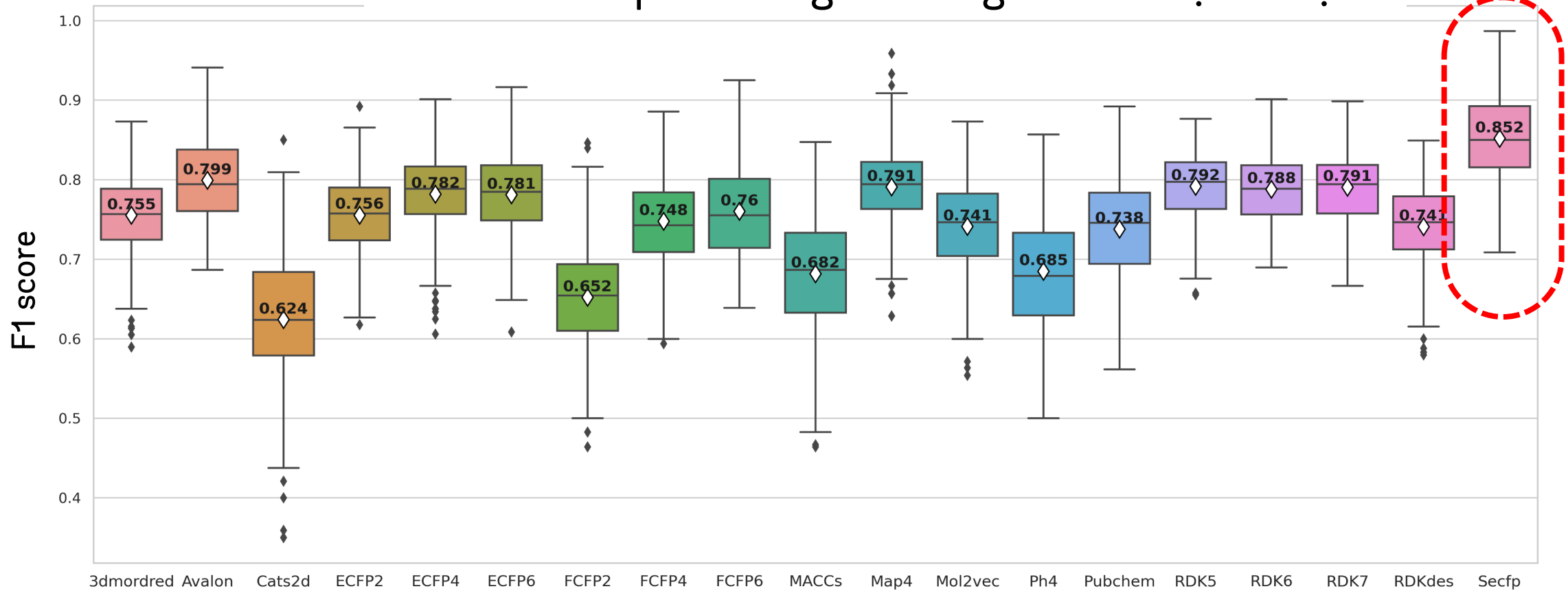
Tỉ lệ mất cân bằng: **40,5%.**





Phân tích gộp

So sánh kết quả đánh giá chéo giữa các loại dữ liệu

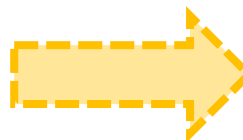
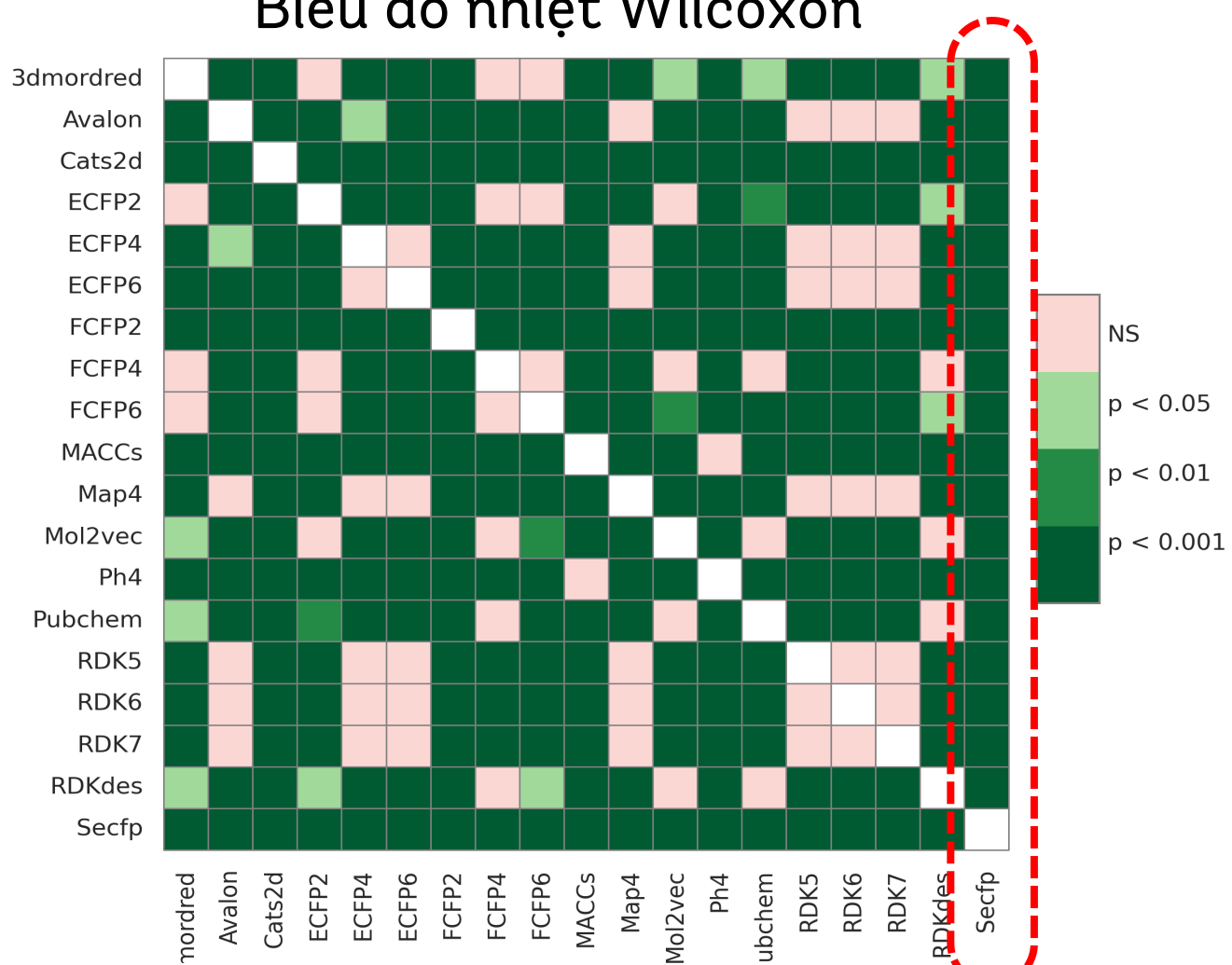


MÔ HÌNH HỌC MÁY

Phân tích gộp



Biểu đồ nhiệt Wilcoxon



SECFP là bộ
dấu vân tay
tối ưu

MÔ HÌNH HỌC MÁY



3

Kết quả quy trình khai thác dữ liệu áp dụng trên Secfp.

BƯỚC THỰC HIỆN

Phân chia tập dữ liệu

Tập huấn luyện có **1.331 chất**, tỉ lệ mất cân bằng 40,5%.

Tập đánh giá ngoại có **333 chất**, tỉ lệ mất cân bằng 40,5%.

Làm sạch dữ liệu

Tập huấn luyện còn 1.330 chất và 320 đặc trưng.

Tập đánh giá ngoại vẫn giữ 333 chất và 320 đặc trưng.

Xử lý dữ liệu bị mất

Không tìm thấy dữ liệu bị mất

Lựa chọn đặc trưng

Gradient Boosting được chọn là thuật toán lựa chọn đặc trưng.

Số lượng đặc trưng mà Gradient Boosting giữ lại còn **54**.

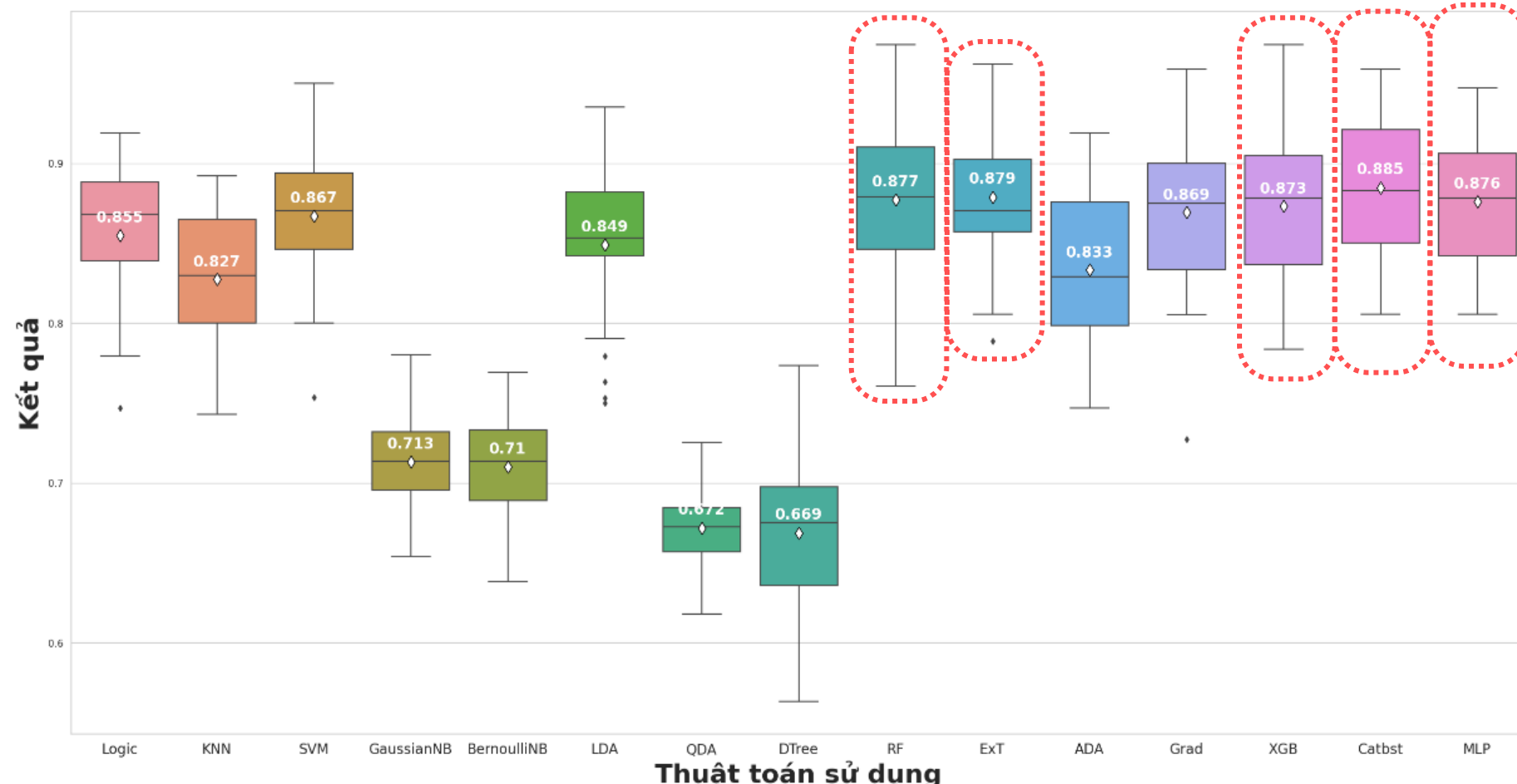
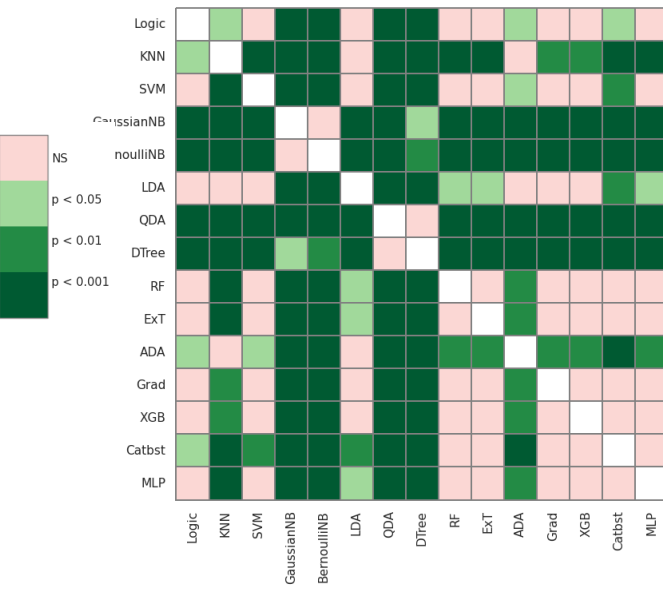
MÔ HÌNH HỌC MÁY

So sánh hiệu năng thuật toán



So sánh kết quả **CV-f1 score** giữa các thuật toán

Biểu đồ nhiệt Wilcoxon

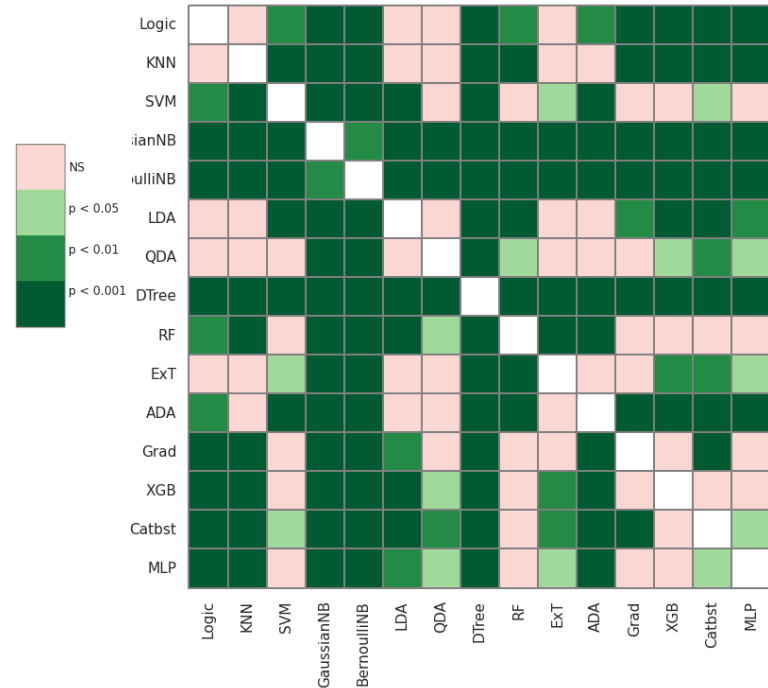


MÔ HÌNH HỌC MÁY

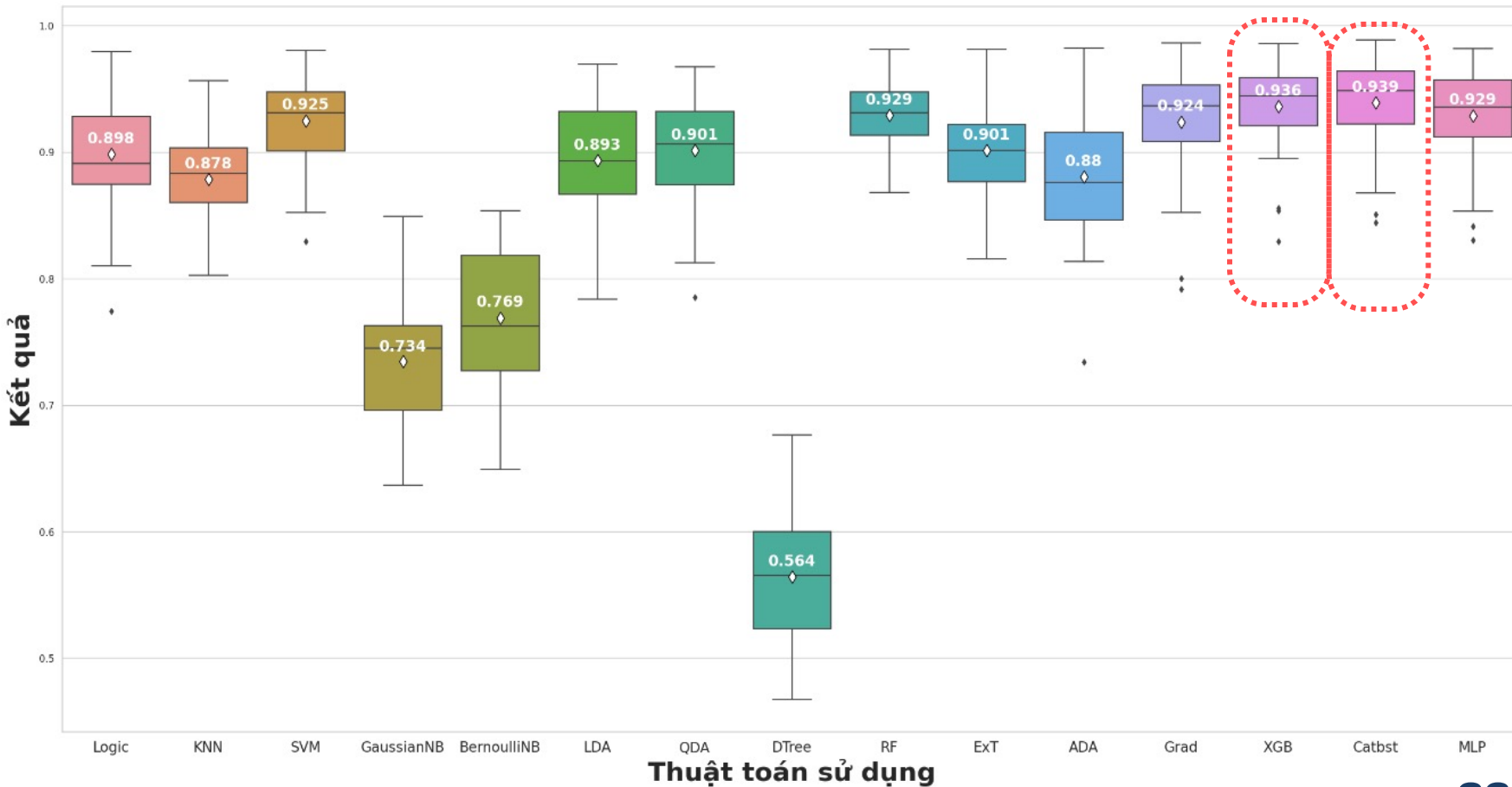
So sánh hiệu năng thuật toán



Biểu đồ nhiệt Wilcoxon



So sánh kết quả CV-AP giữa các thuật toán



MÔ HÌNH HỌC MÁY

So sánh hiệu năng thuật toán



3

Mô hình
cuối cùng

dmlc
XGBoost

MÔ HÌNH HỌC MÁY



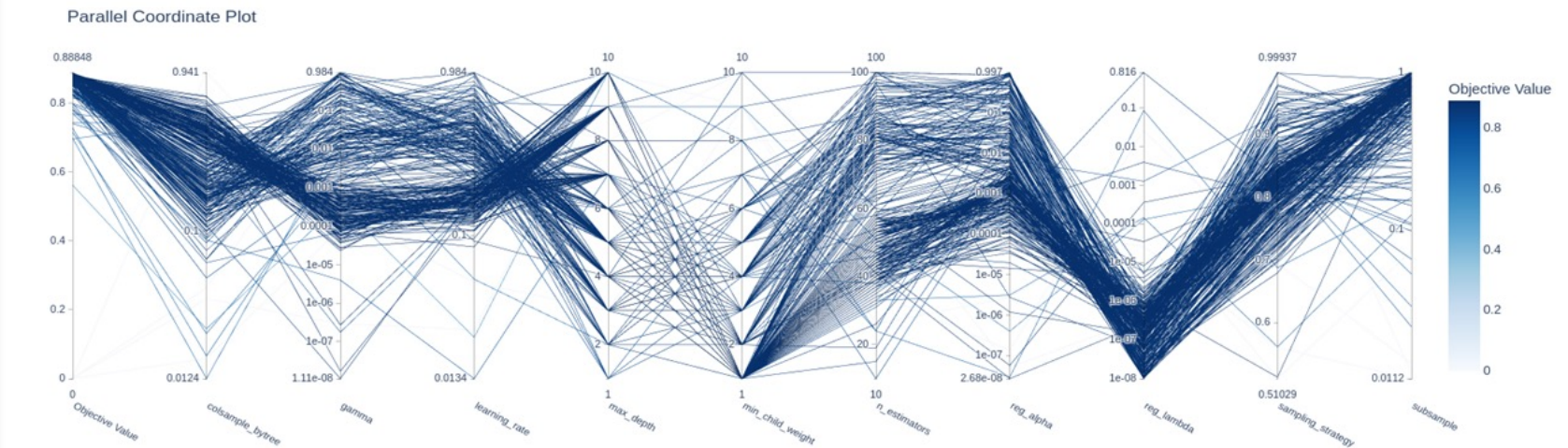
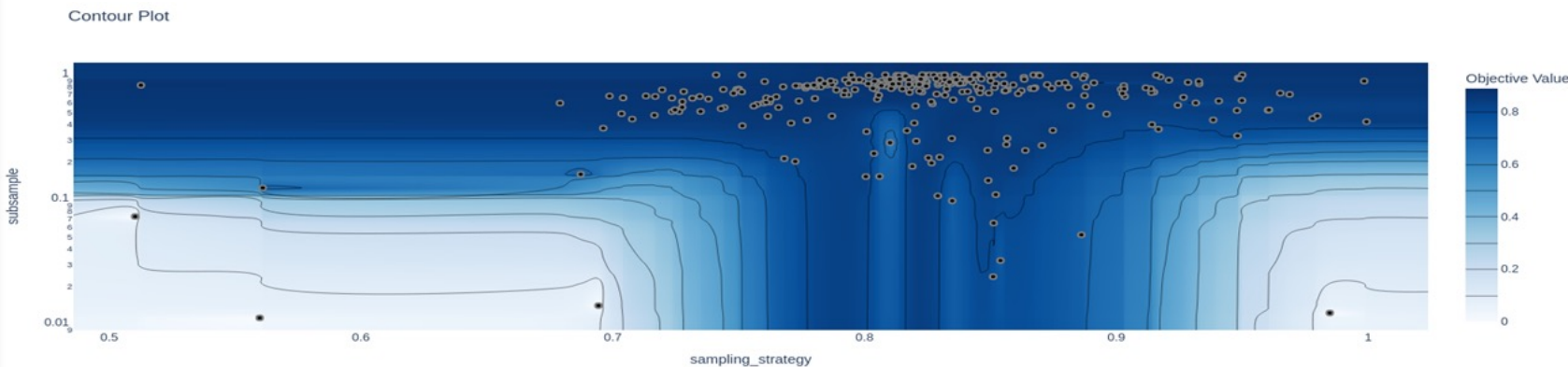
Tối ưu hóa siêu tham số
trong **300** thử nghiệm.

Giá trị tối ưu: CV-f1 score

Thời gian: **15** phút

Các siêu tham số bao gồm:
sampling_strategy,
max_depth,
min_child_weight,
learning_rate, n_estimators,
gamma, reg_alpha,
reg_lambda, subsample,
colsample_bytree

Tối ưu hóa mô hình



MẠNG THẦN KINH NHÂN TẠO (ANN)



Tối ưu hóa trong 100 thử nghiệm.

Giá trị tối ưu: CV-f1 score

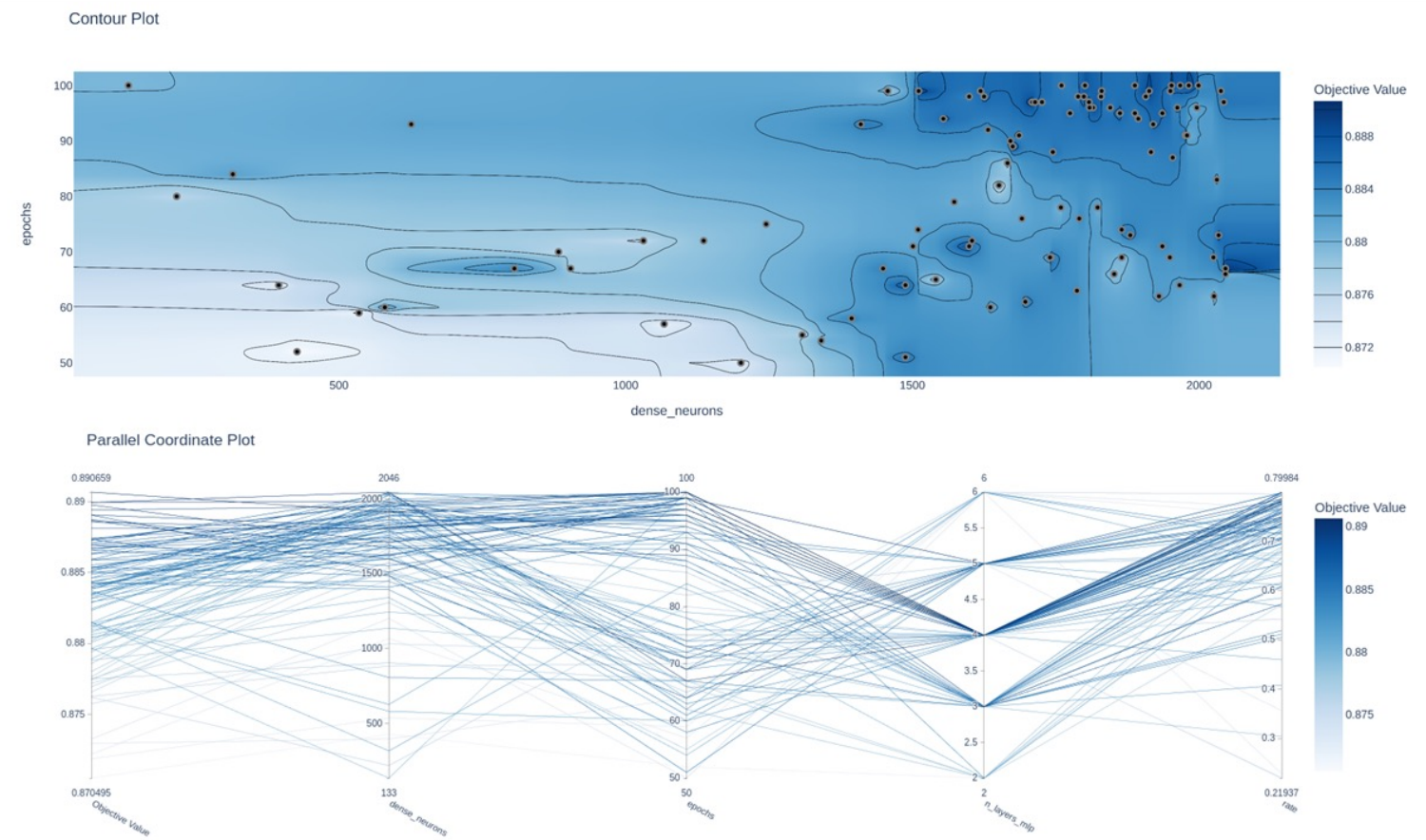
Thời gian: 8 giờ.

Các siêu tham số bao gồm: *số lớp ẩn, số nơ-ron lớp ẩn, tỉ lệ dropout và chu kỳ học.*

Hàm mất mát: Binary Cross Entropy

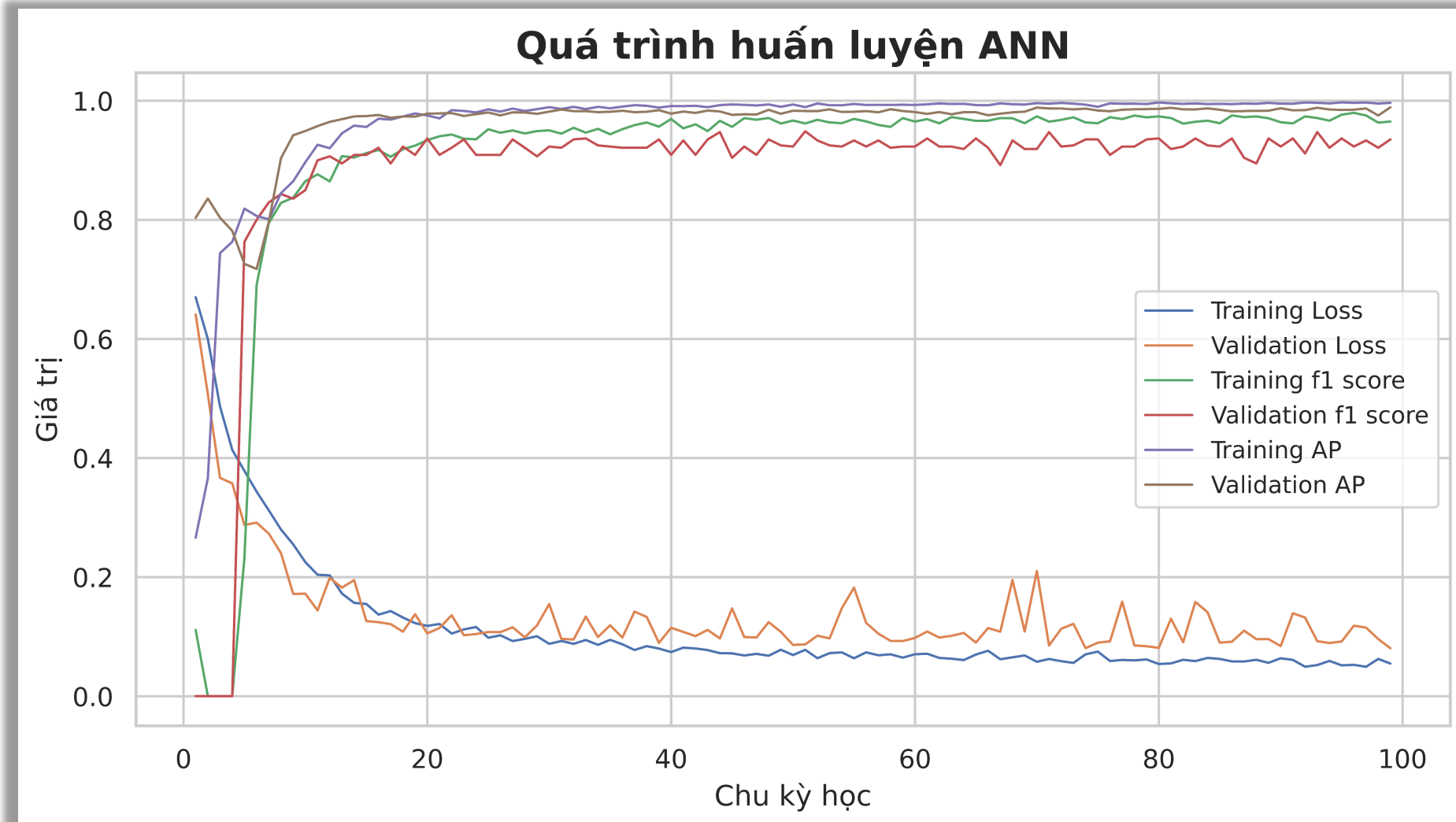
Hàm tối ưu: Adam, tốc độ học = 0,0001, weight_decay = 0,01.

Tối ưu hóa mô hình





Thông số huấn luyện mô hình



MẠNG THẦN KINH ĐỒ THỊ (GNN)



VẤN ĐỀ



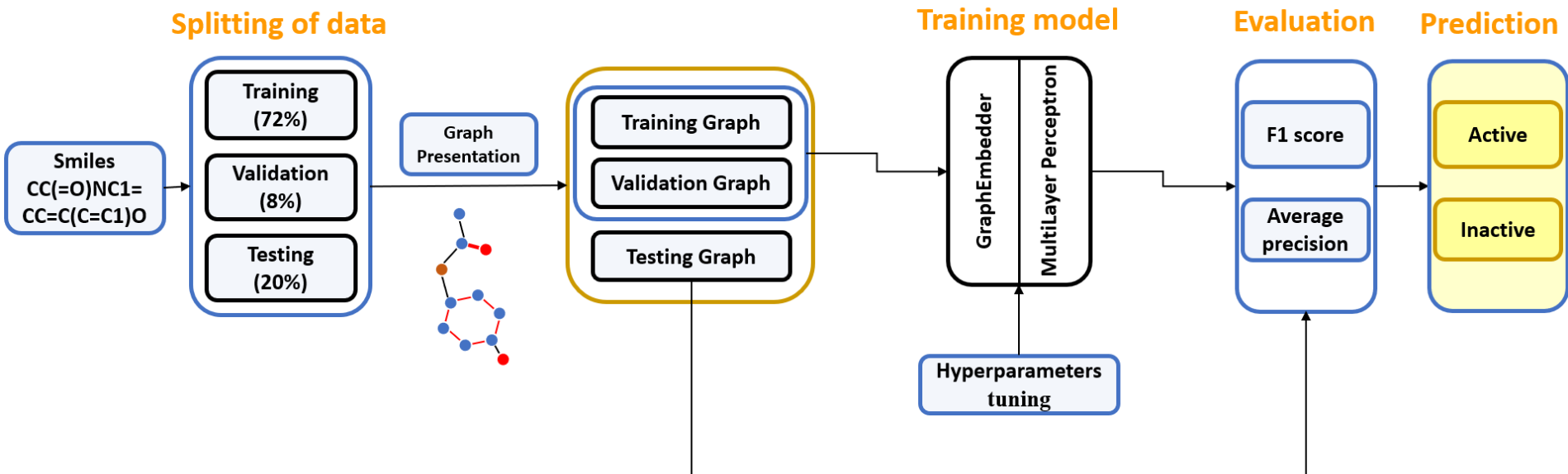
Tốn rất nhiều tài nguyên tính toán.



Sai số của tập đánh giá nội (validation loss) dao động lớn



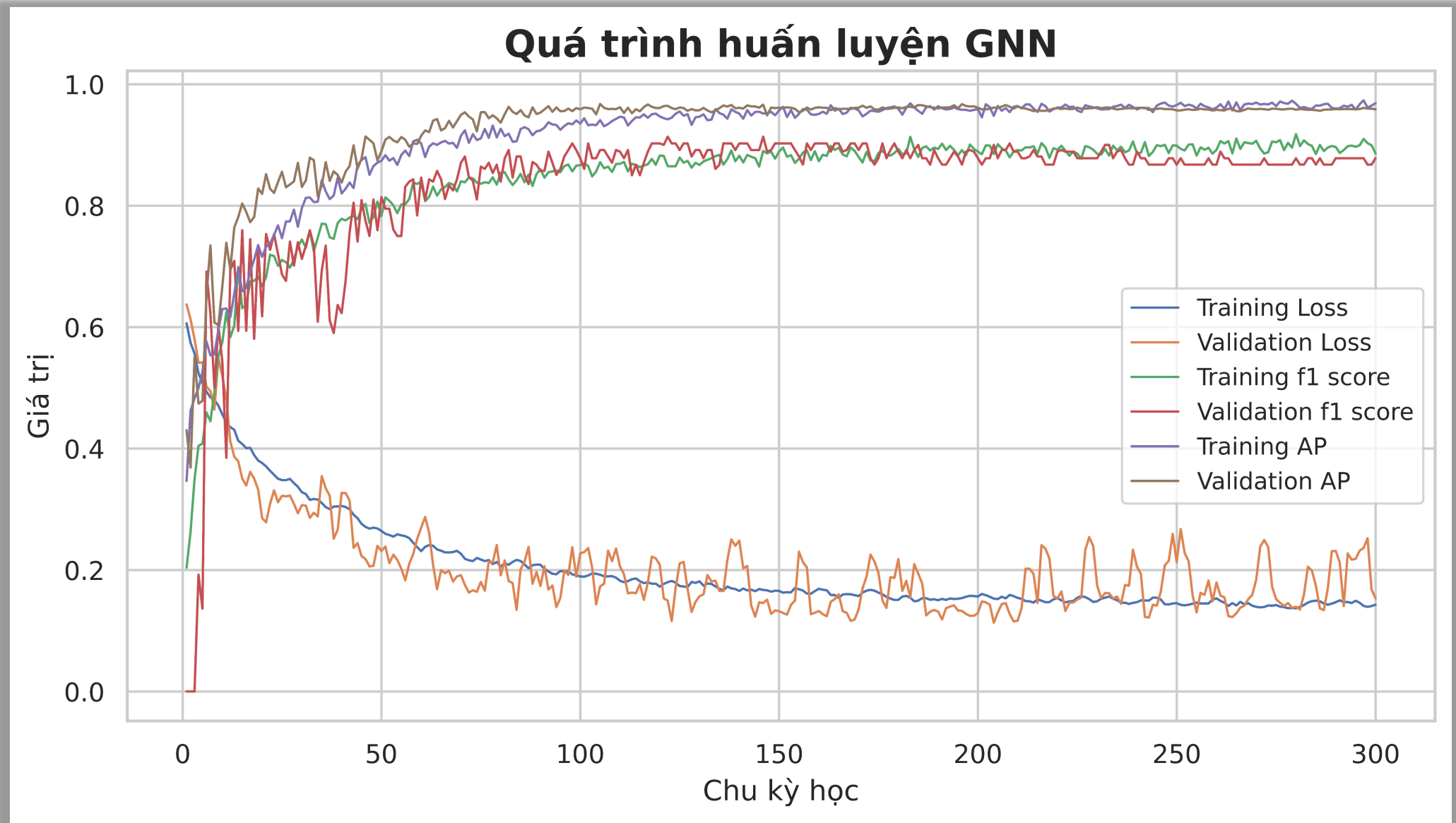
Pytorch Geometric không hỗ trợ khả năng tái tạo mô hình(reproducibility) khi huấn luyện trên GPU.



MẠNG THẦN KINH ĐỒ THỊ (GNN)



3



MẠNG THẦN KINH ĐỒ THỊ (GNN)



Tối ưu hóa trong 50 thử nghiệm.

Giá trị tối ưu: validation loss

Thời gian: 16 giờ

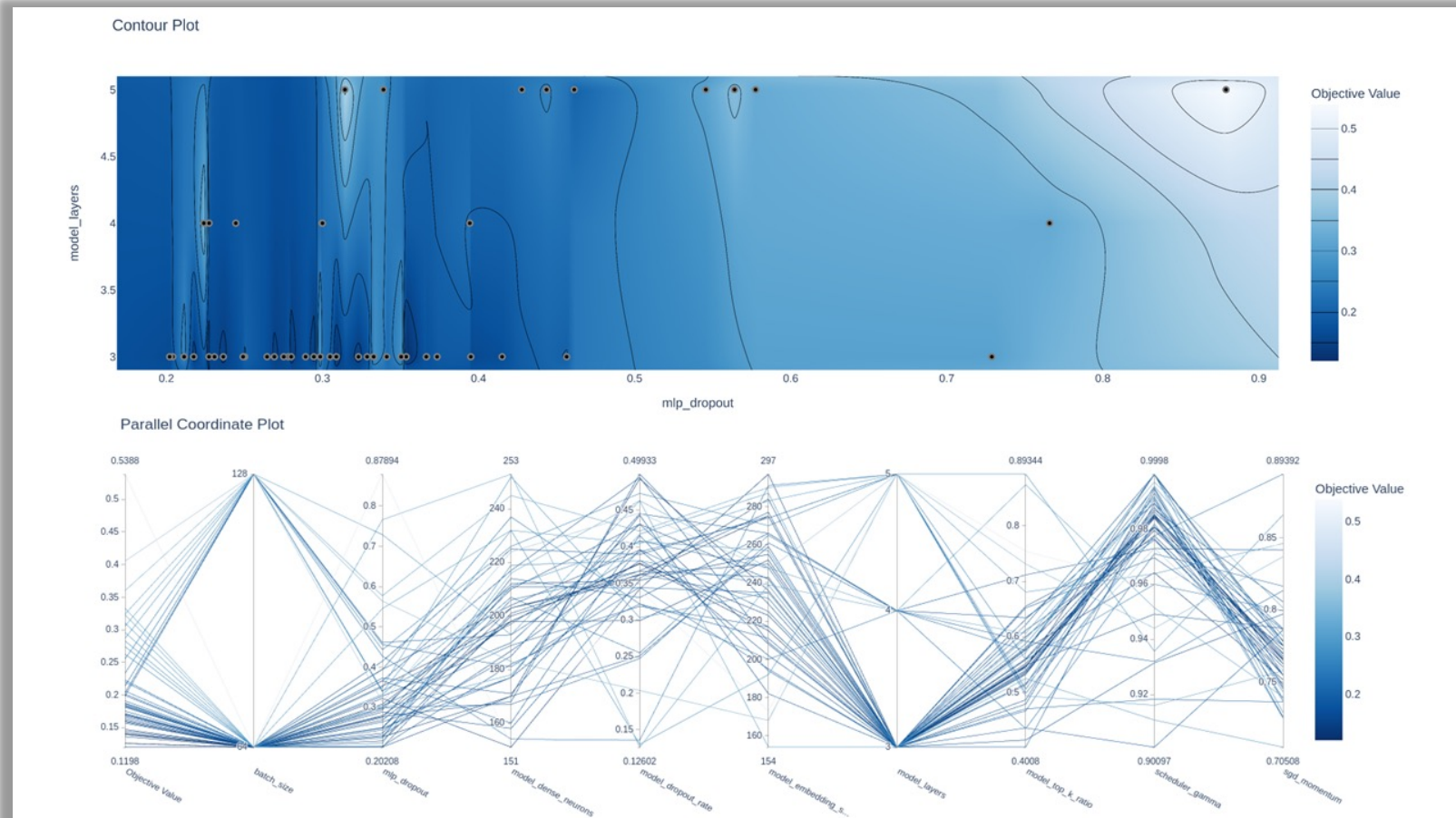
Các siêu tham số bao gồm:
*batch_size, n_blocks, embedding_size,
drop_out_rate, top_k_ratio,
number_hidden_node,
ann_dropout_rate, sgd_momentum,
scheduler_gamma*

Hàm mất mát: Binary cross entropy

Hàm tối ưu: SGD, tốc độ học 0,01 và
weight_decay 0,0001, momentum

ExponentialLR một cơ chế điều chỉnh
tốc độ học theo lịch trình,
Số chu kỳ học: 300

Tối ưu hóa mô hình



MẠNG THẦN KINH ĐỒ THỊ (GNN)



3

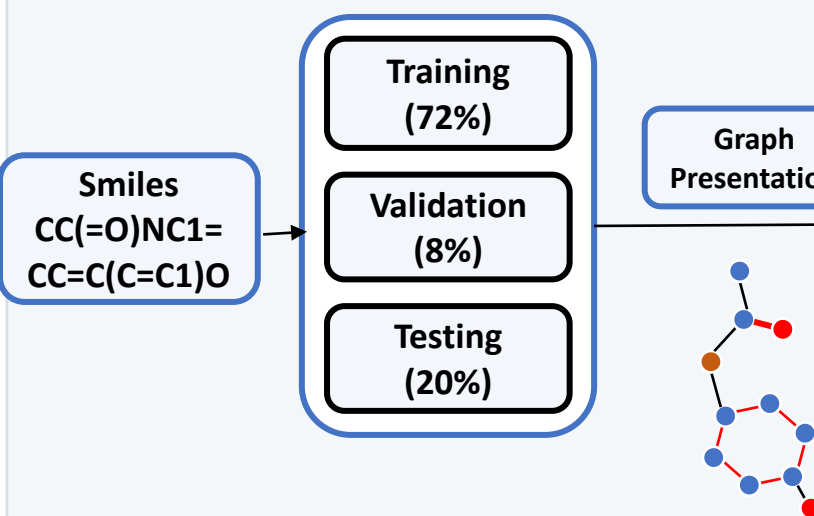
Phân tích STD của 100 chu kỳ

ID TRIALS	MEAN	STD	MIN	MAX	LASTED LOSS
17	0,226	0,047	0,159	0,437	0,171
29	0,195	0,050	0,136	0,398	0,140
15	0,182	0,060	0,121	0,376	0,125
30	0,238	0,061	0,167	0,437	0,168
19	0,174	0,071	0,109	0,423	0,119
18	0,214	0,076	0,139	0,492	0,139
21	0,192	0,077	0,117	0,488	0,141

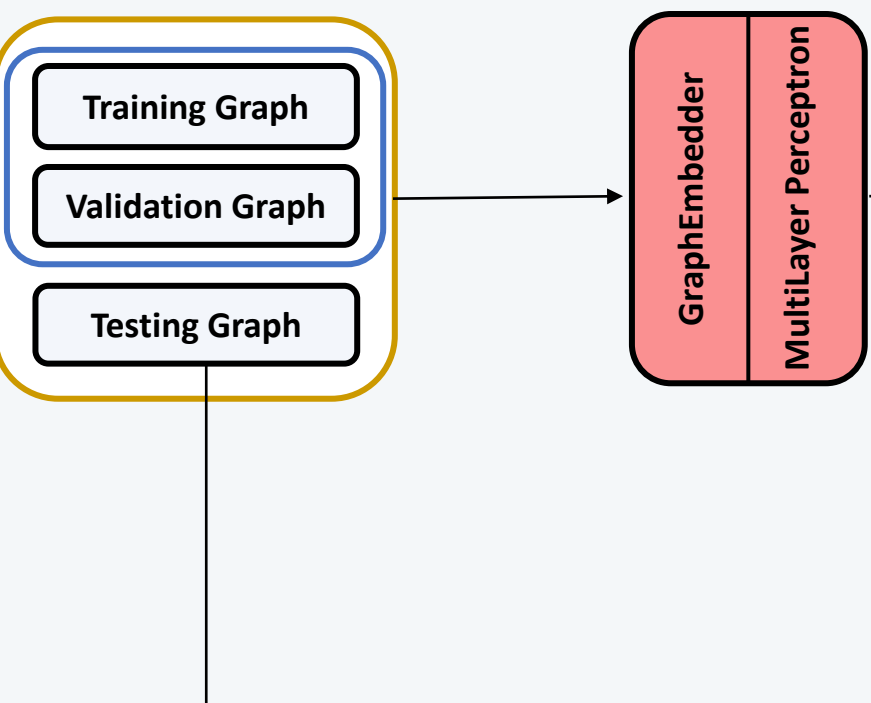
MẠNG THẦN KINH ĐỒ THỊ (GNN)



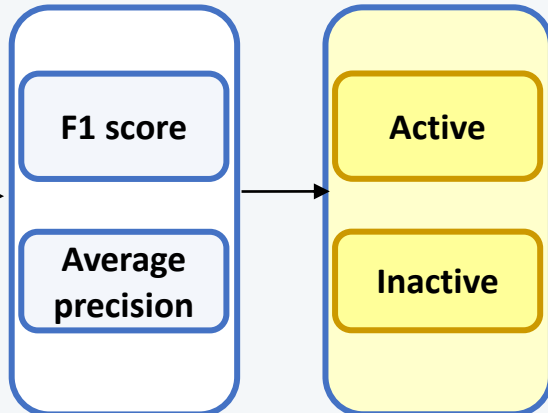
Chia dữ liệu



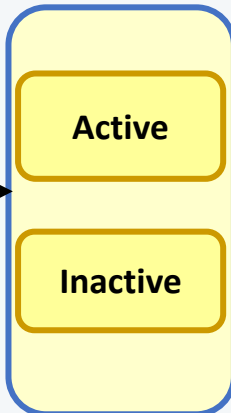
Huấn luyện mô hình



Đánh giá



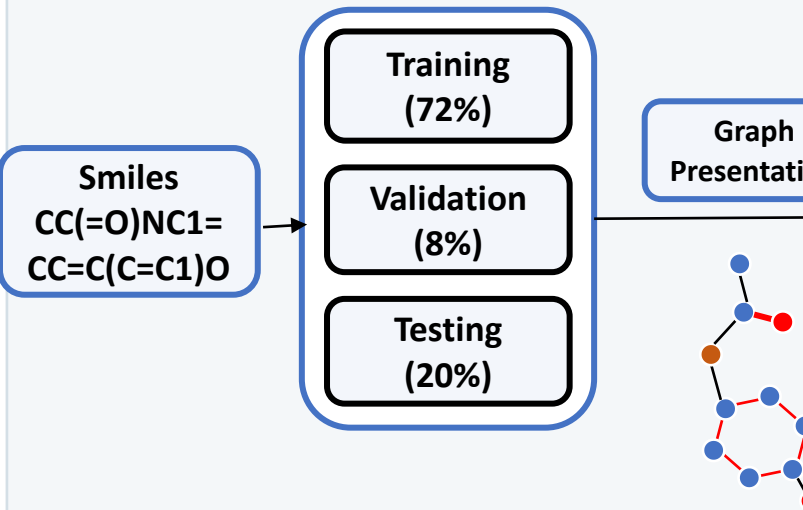
Dự đoán



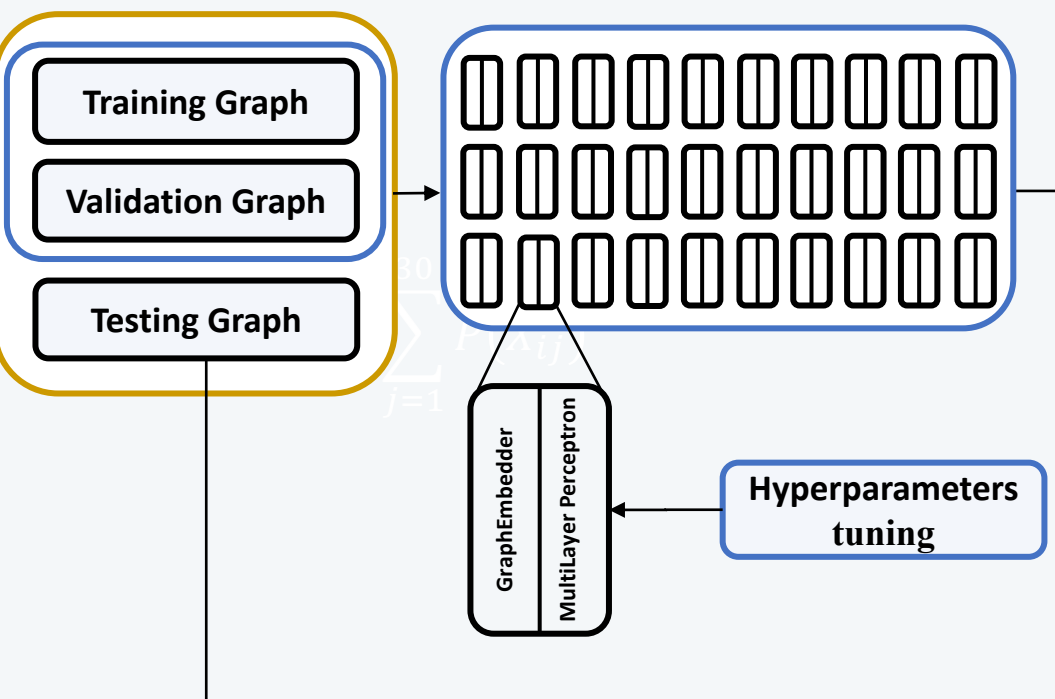
MẠNG THẦN KINH ĐỒ THỊ (GNN)



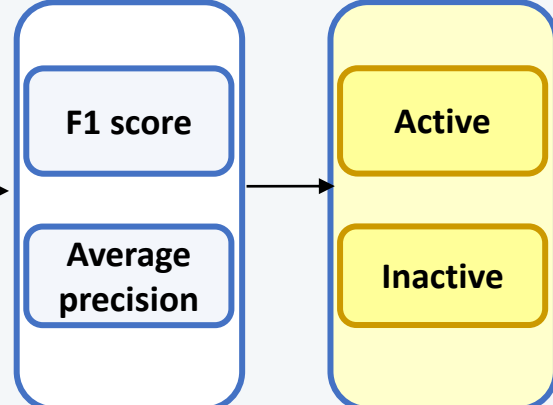
Chia dữ liệu



Huấn luyện mô hình



Đánh giá



Dự đoán

$$EV-f1\ score = 0,808 \pm 0,009$$

$$EV-AP = 0,827 \pm 0,013$$

KẾT QUẢ 3 MÔ HÌNH



3

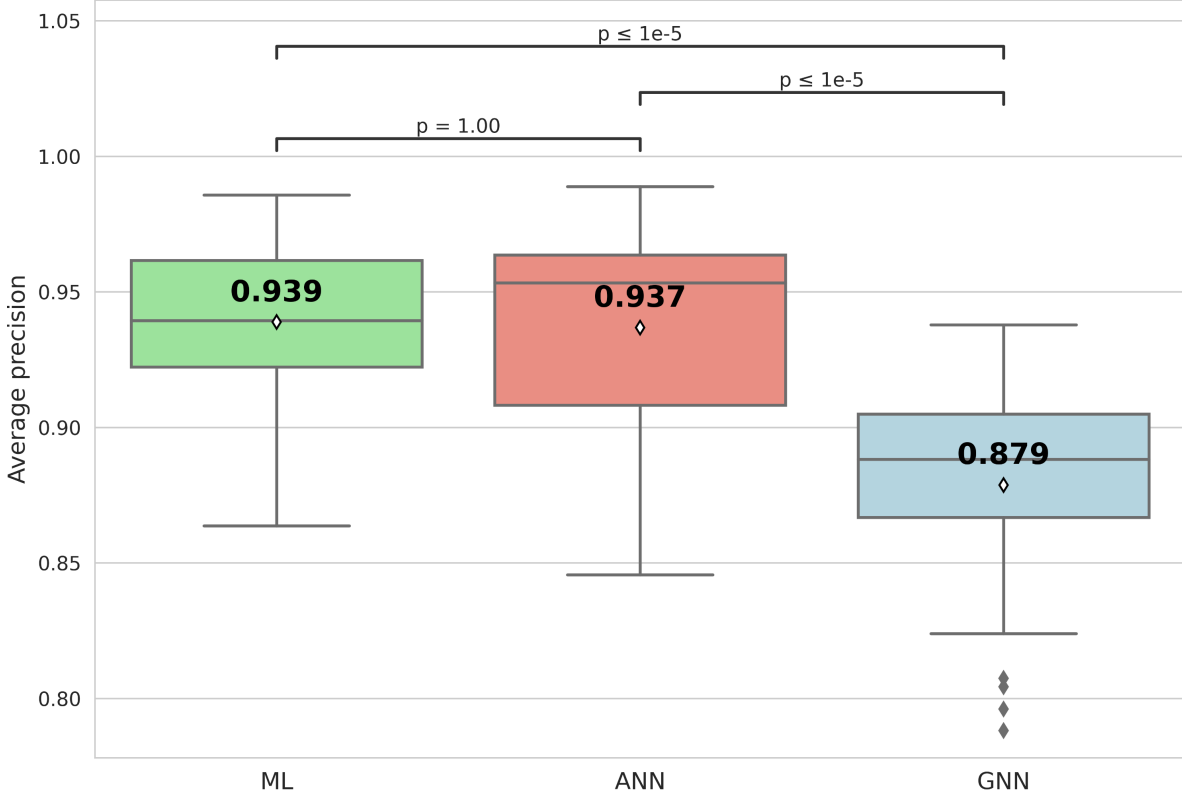
	HỌC MÁY	ANN	E-GNN
CV-f1 score	0,888±0,039	0,891±0,037	0,804±0,049
EV-f1 score	0,921	0,930	0,808±0,009
CV-AP	0,939±0,032	0,934±0,040	0,879±0,041
EV-AP	0,961	0,955	0,827±0,013
Thời gian huấn luyện	< 2 phút	< 3 phút	3 giờ
Thời gian tối ưu	15 phút	8 giờ	16 giờ
Số thử nghiệm	300	100	50
Thiết bị	CPU	GPU	GPU
Triển khai ứng dụng	Phức tạp	Đơn giản	Đơn giản

KẾT QUẢ 3 MÔ HÌNH

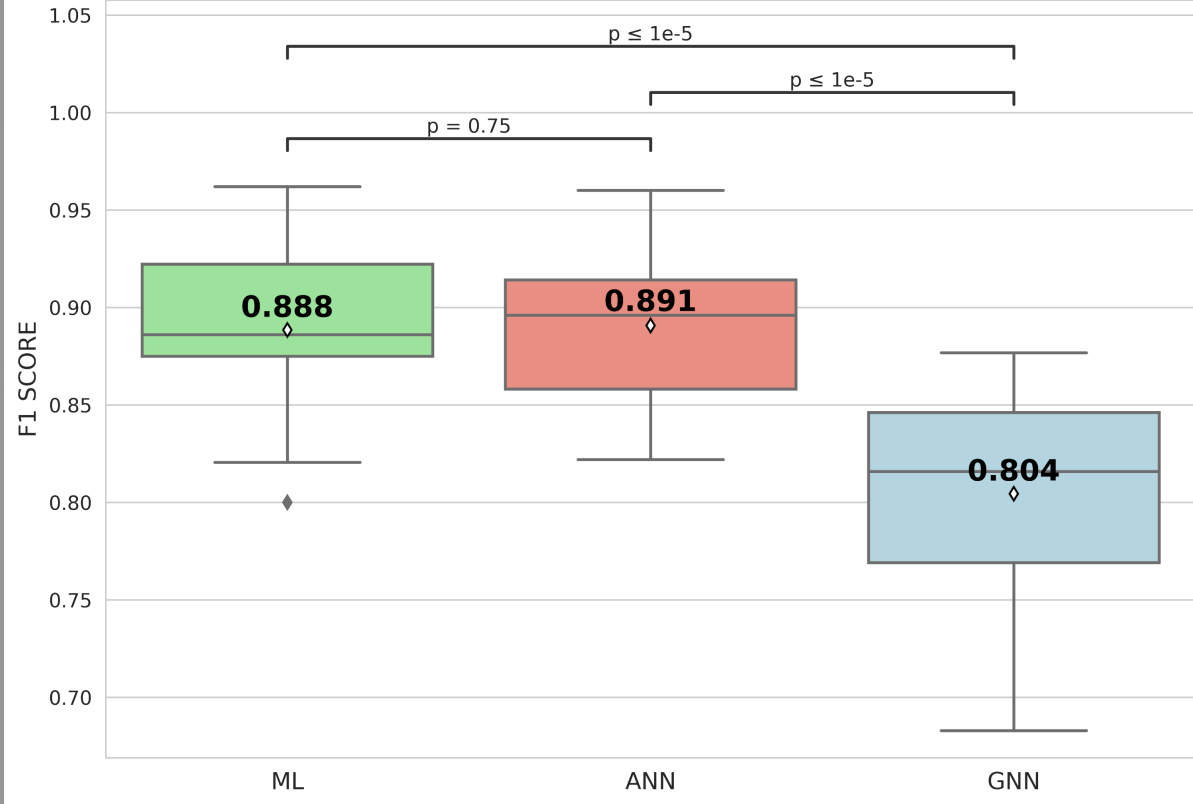


3

Average precision - Đánh giá chéo - Wilcoxon



F1 score - Đánh giá chéo - Wilcoxon





Re-docking

Kết quả đánh giá khả năng tái tạo dữ liệu của phần mềm được thể hiện qua giá trị RMSD của quá trình re-docking của phổi tử alectinib so với phổi tử đồng kết tinh của protein.

Cả 3 phần mềm Vina-GPU-2.0, GNINA, Autodock-GPU đều cho giá trị RMSD **dưới 2 Å**.

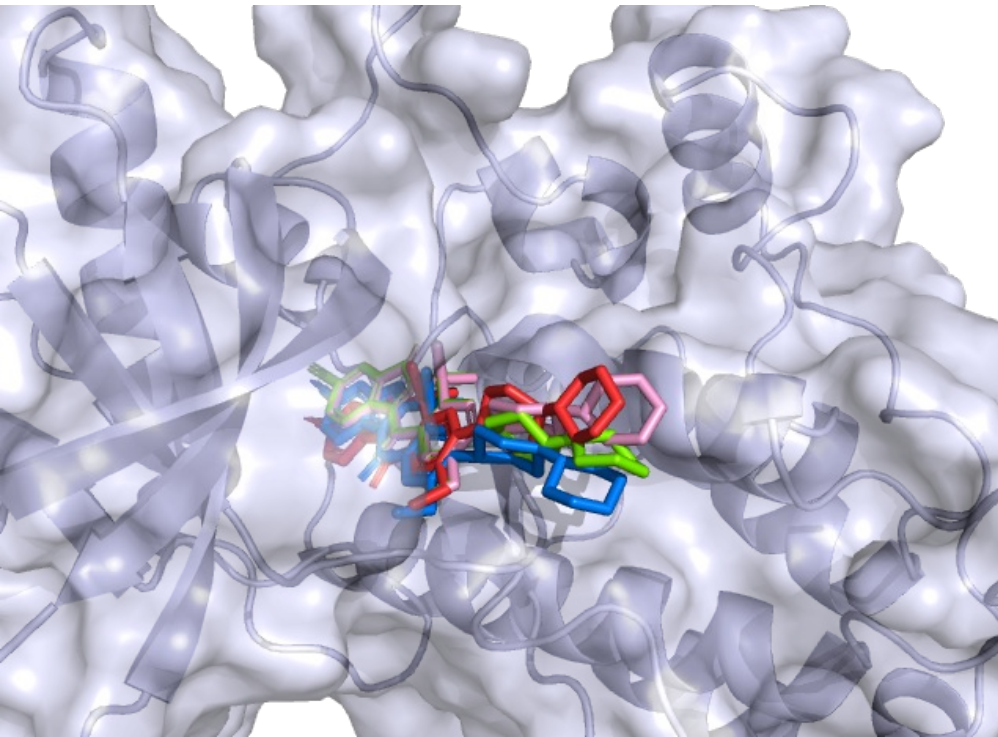
PHẦN MỀM DOCKING	RMSD (Å)	ĐIỂM SỐ DOCKING CẤU DẠNG TỐT NHẤT
Vina-GPU-2.0	1,605	-9,9 (kcal/mol)
GNINA	1,584	GNINA affinity: 7,487 CNN_pose_score: 0,86
Autodock-GPU	1,64	-8,9 (kcal/mol)

DOCKING PHÂN TỬ

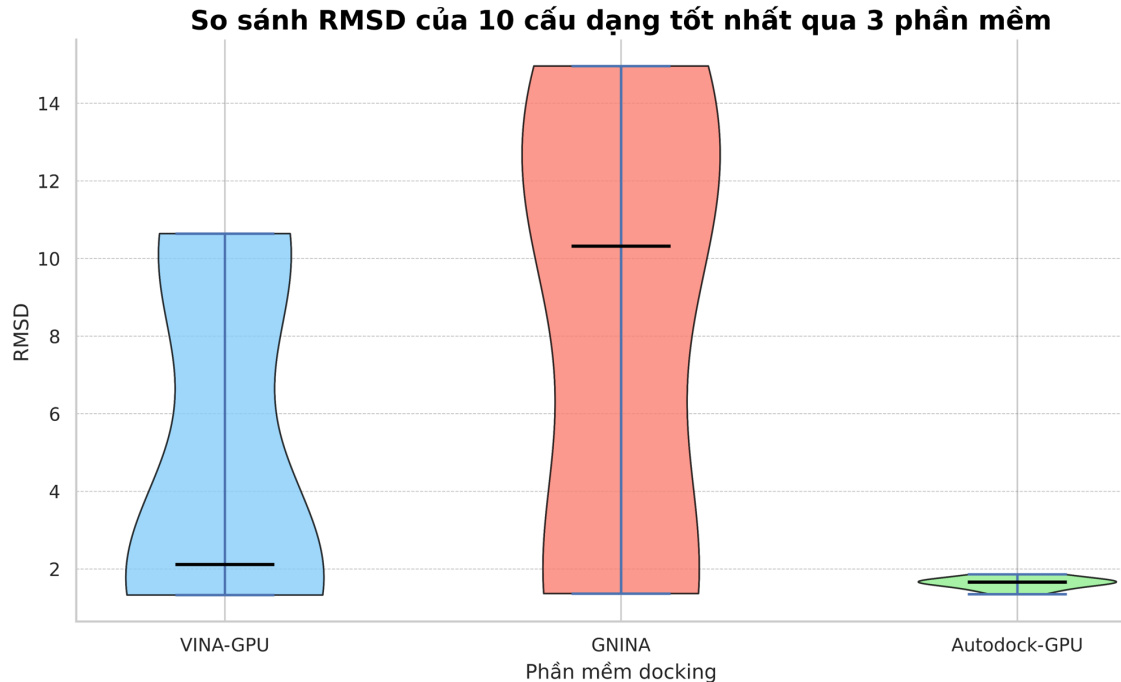
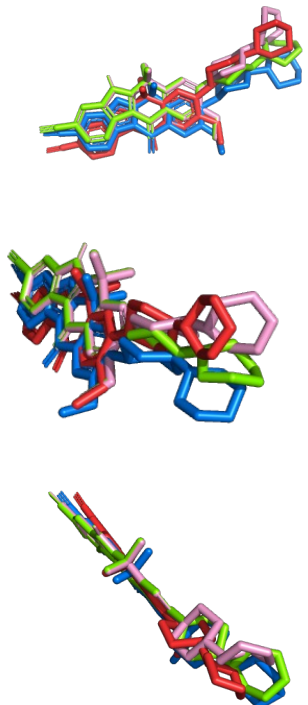
Re-docking



Cấu dạng của alectinib của 3 phần mềm



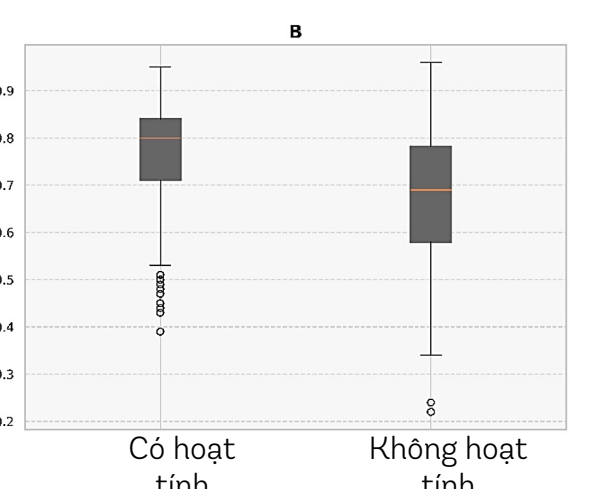
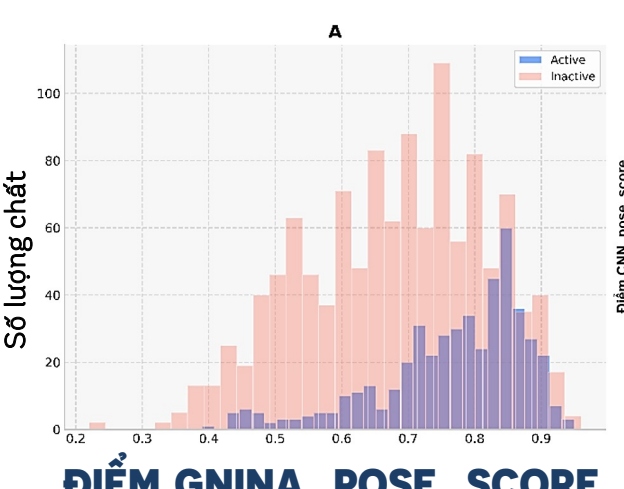
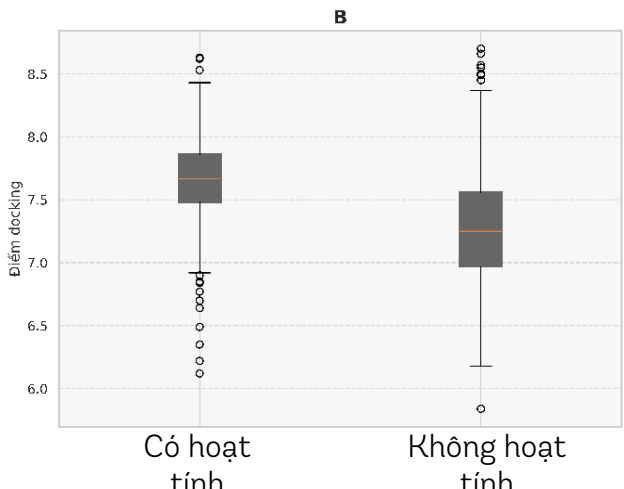
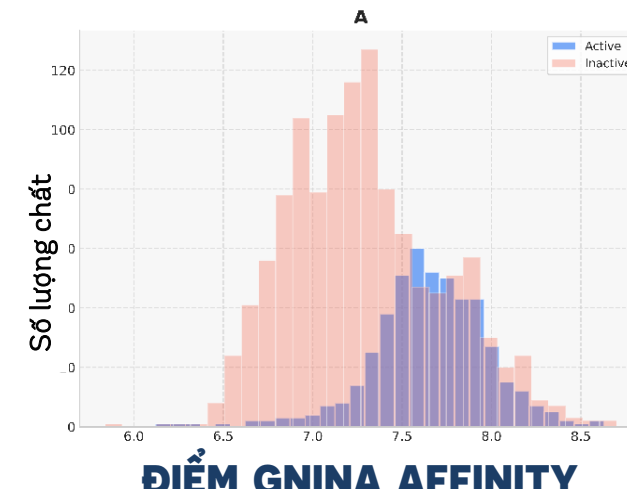
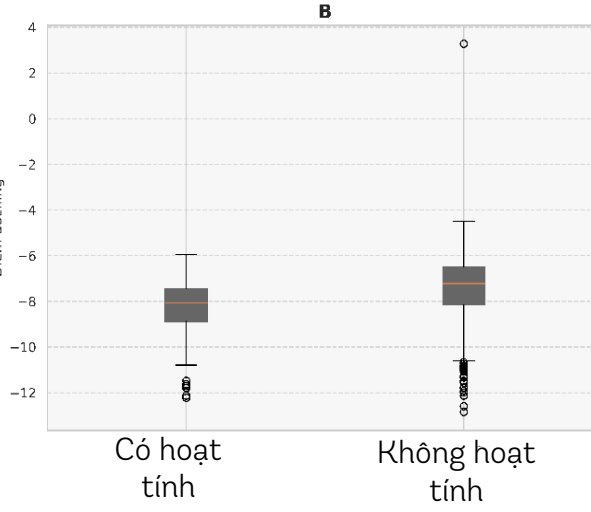
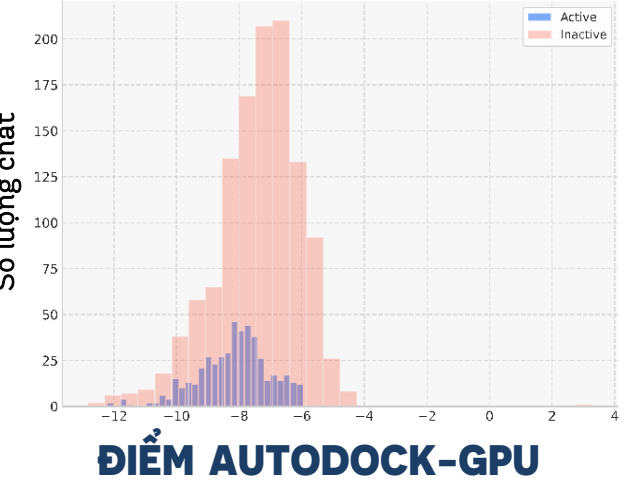
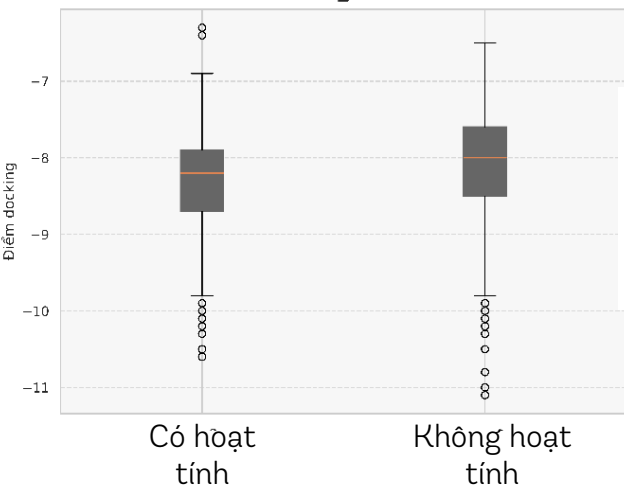
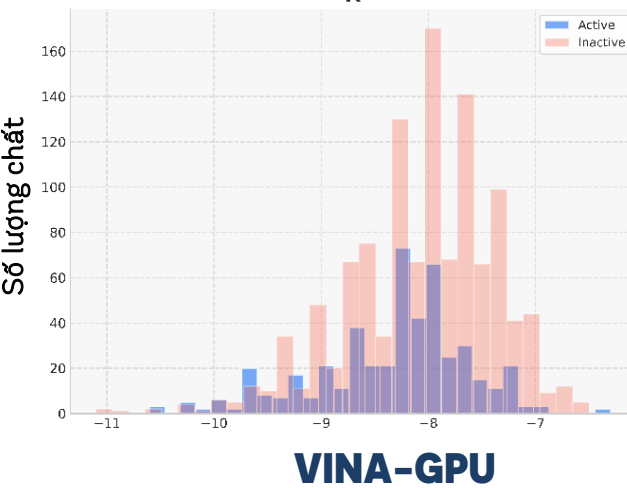
Sự tương đồng về cấu dạng alectinib qua 3 phần mềm.
Trong đó **màu đỏ là cấu dạng của phổi tử đồng kết tinh**, **màu xanh lá là phần mềm GNINA**, **màu xanh dương là autodock-GPU** và **màu hồng là Vina-GPU**.



Biểu đồ Violin thể hiện phân bố giá trị RMSD của 10 cấu dạng tốt nhất được các phần mềm tìm ra.

DOCKING PHÂN TỬ

Thử nghiệm hồi chứng

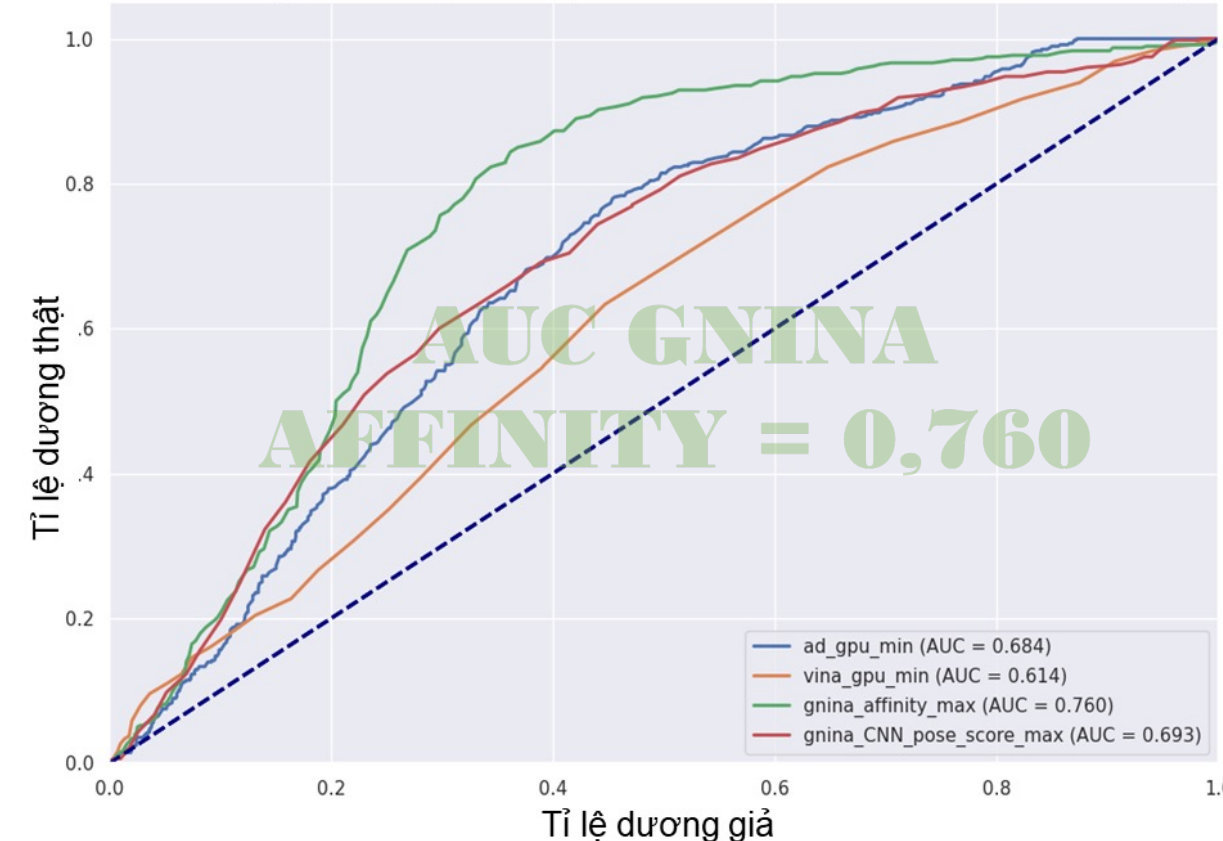


DOCKING PHÂN TỬ

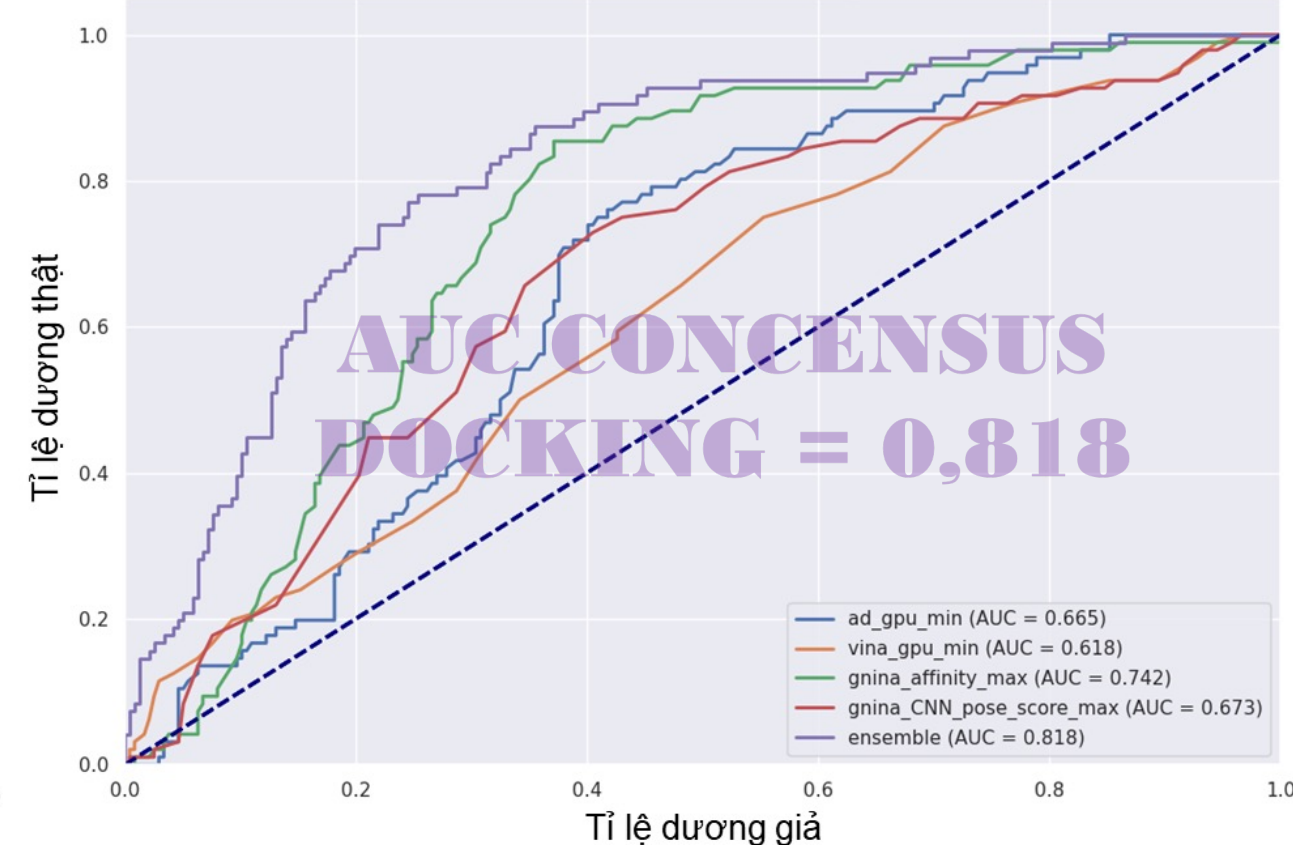
Thử nghiệm hồi chứng



So sánh giá trị AUC giữa các phần mềm và mô hình concensus docking



So sánh giá trị AUC giữa các phần mềm và mô hình concensus docking



SÀNG LỌC ẢO



3

Tập dữ liệu
CHEMBL392
(120.571 chất)

8.742 chất

ADMET:

- Luật 5 Lipinski
- QED
- SAScore
- MCE-18
- PAINS

1.998 chất
(GNN)

5.807 chất
(ML)

1.742 chất
(ANN)

Chất thỏa 2/3
mô hình

2.491 chất

Consensus
docking

8 chất

Docking

- GNINA
- Vina-GPU
- Autodock-GPU

3 Hits

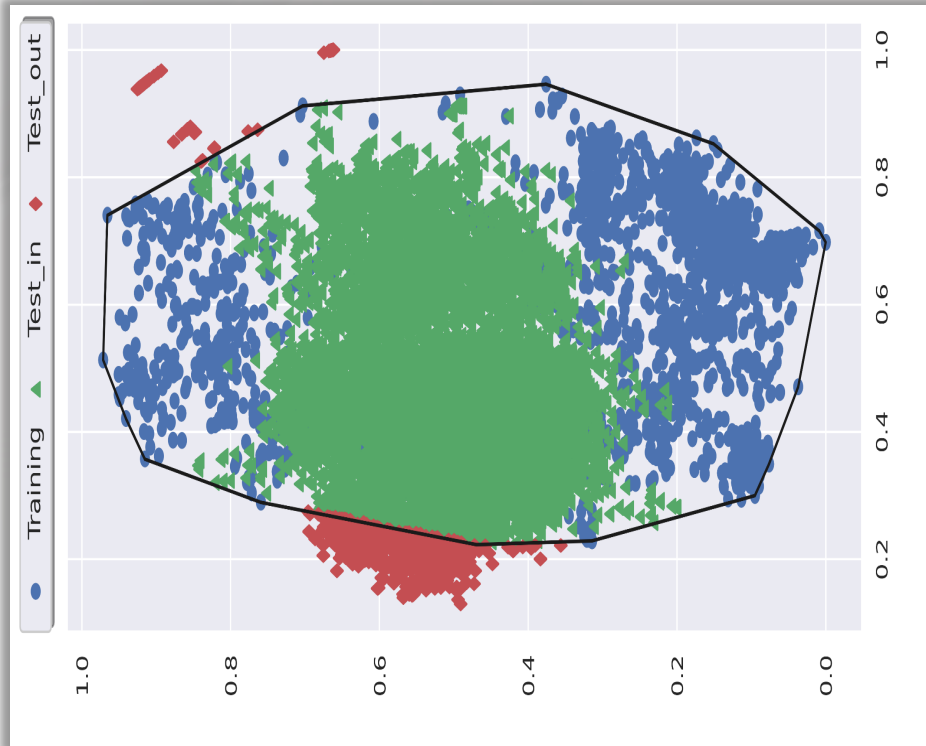
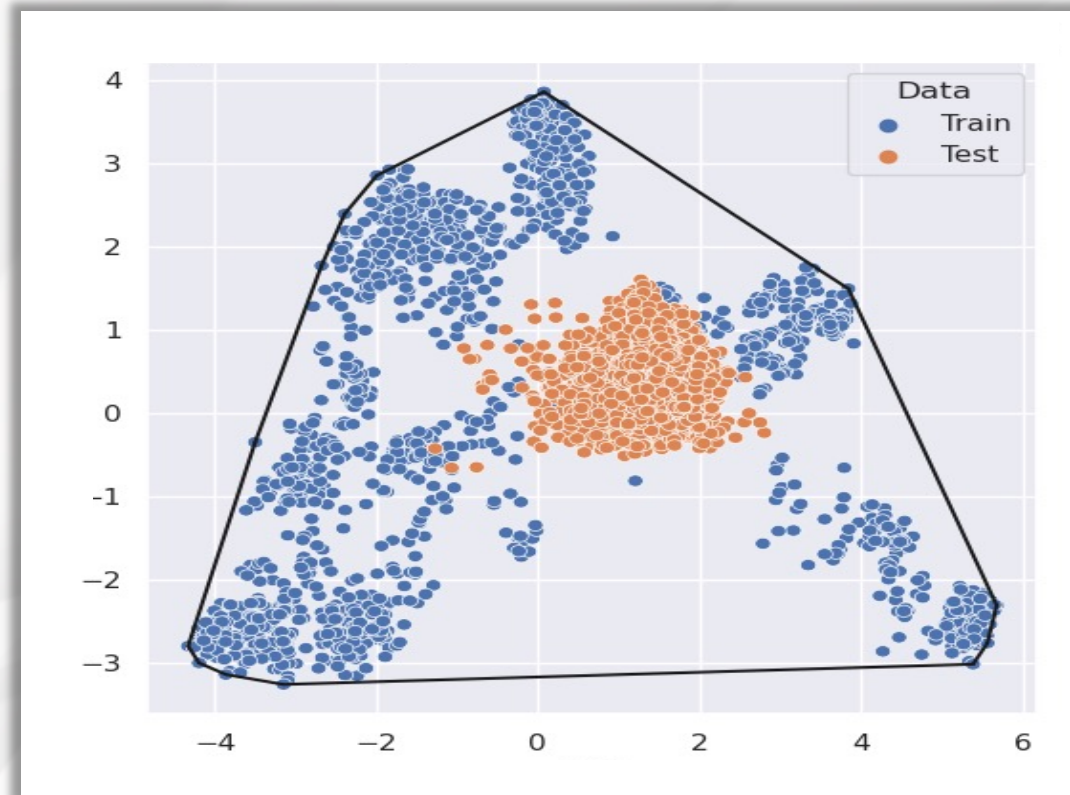
SÀNG LỌC ẢO

Miền ứng dụng

DẤU VÂN TAY + PCA + HÀM BAO LỒI

Toàn bộ đều thuộc miền ứng dụng.

Tuy nhiên, có nhiều vùng trống trong hàm bao lồi mà các chất dự đoán xuất hiện ở đó



MA TRẬN TƯƠNG ĐỒNG TANIMOTO + MDS + HÀM BAO LỒI

862 cấu trúc được phát hiện nằm ngoài miền ứng dụng.
Thời gian tính toán: 3 giờ



3

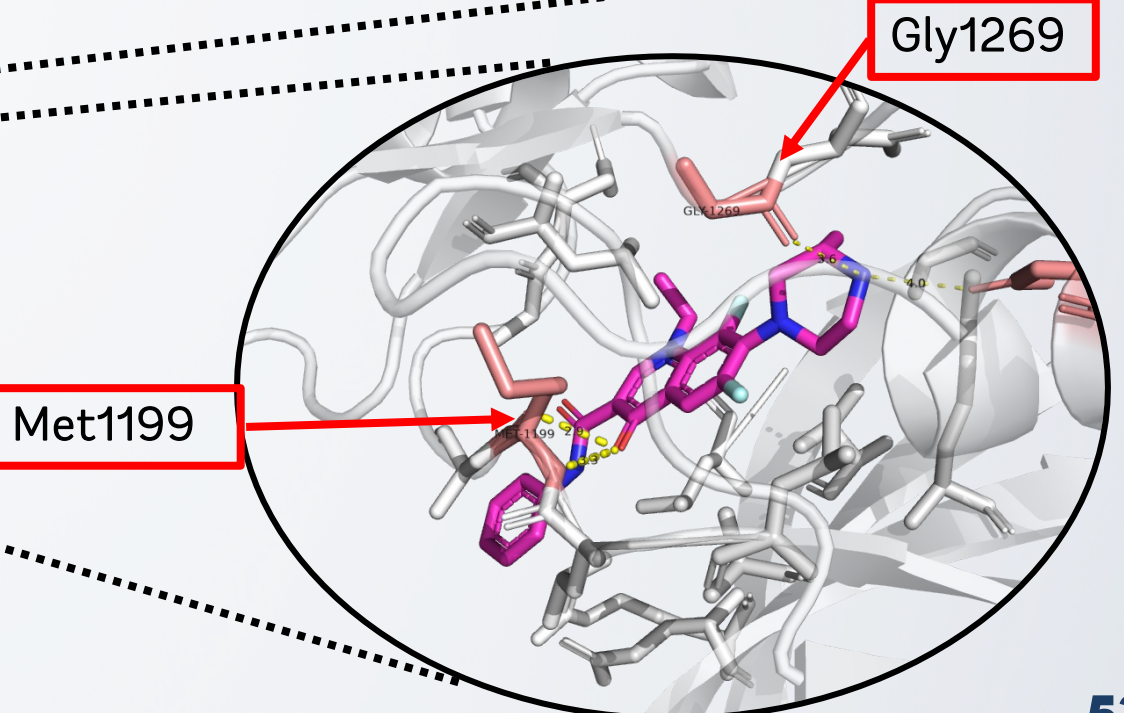
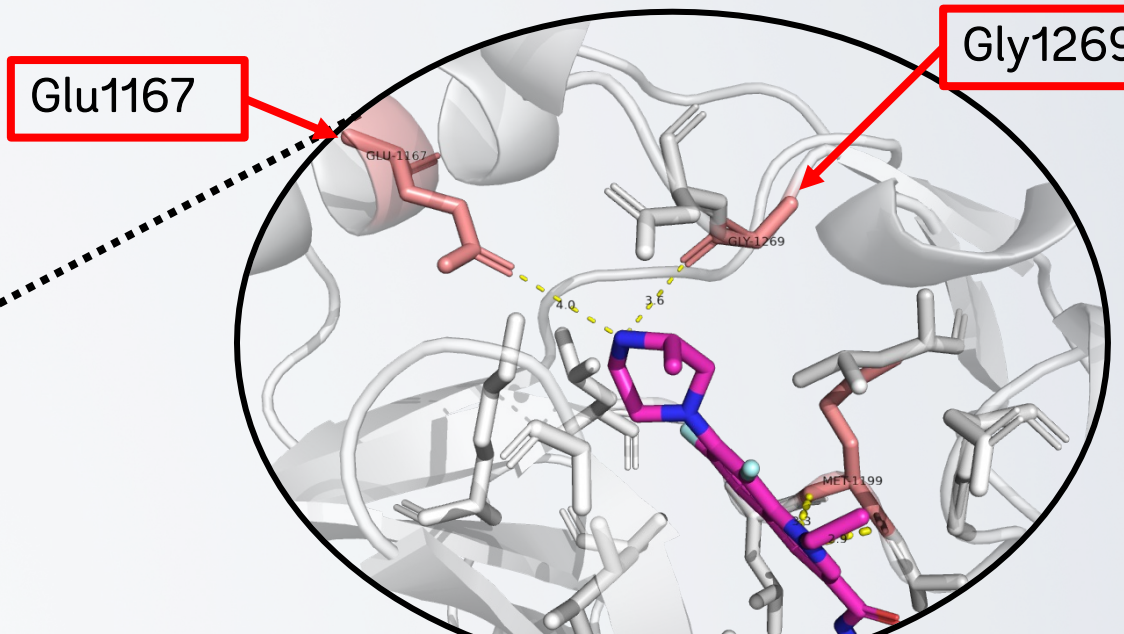
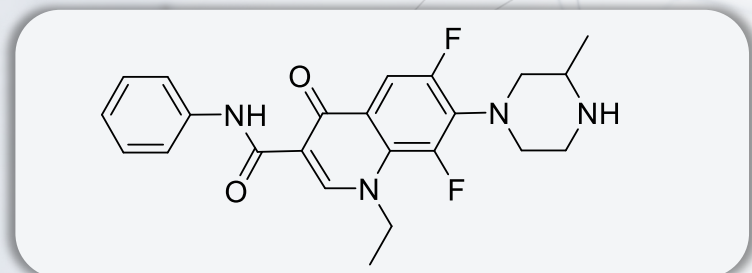
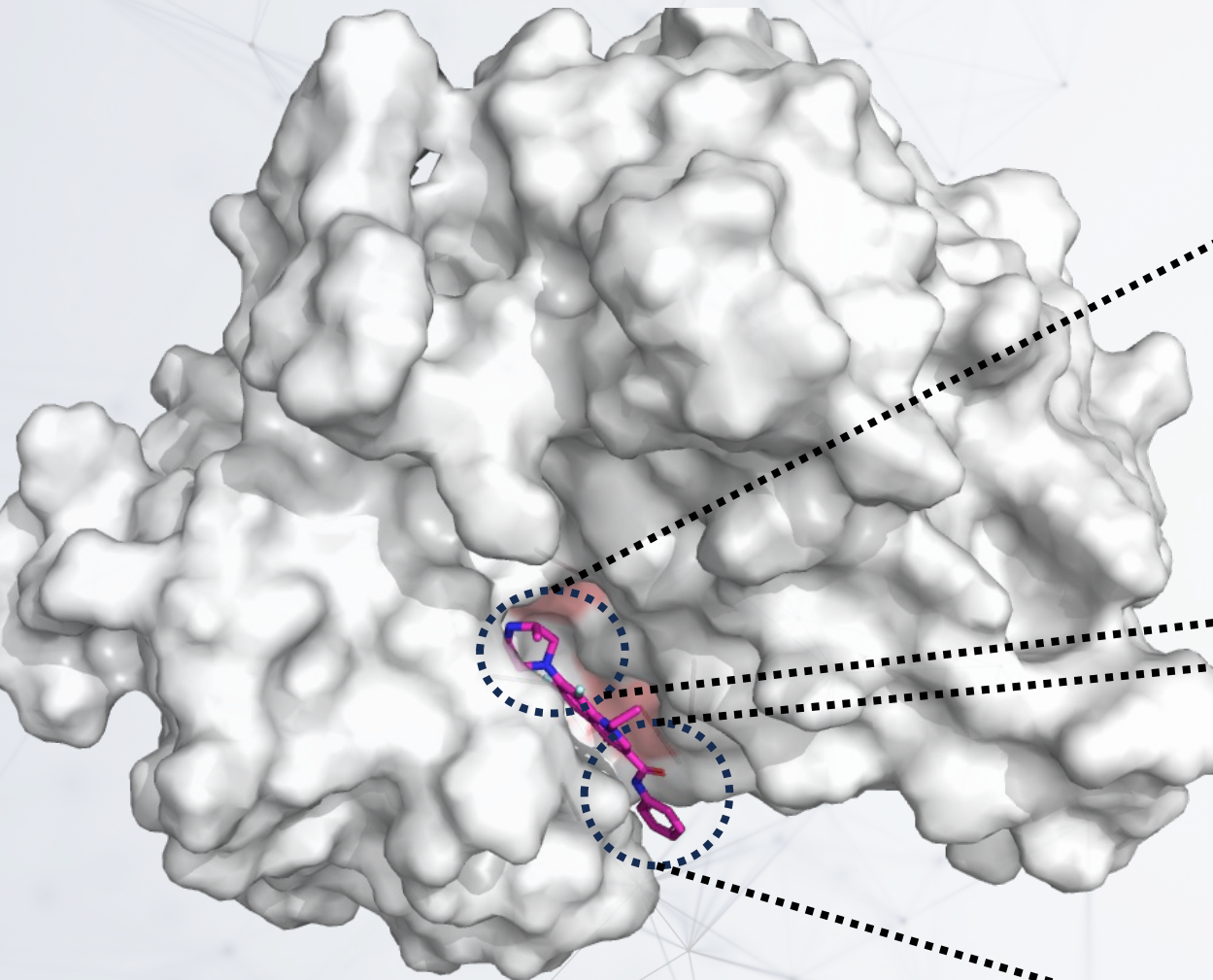
SÀNG LỌC ẢO

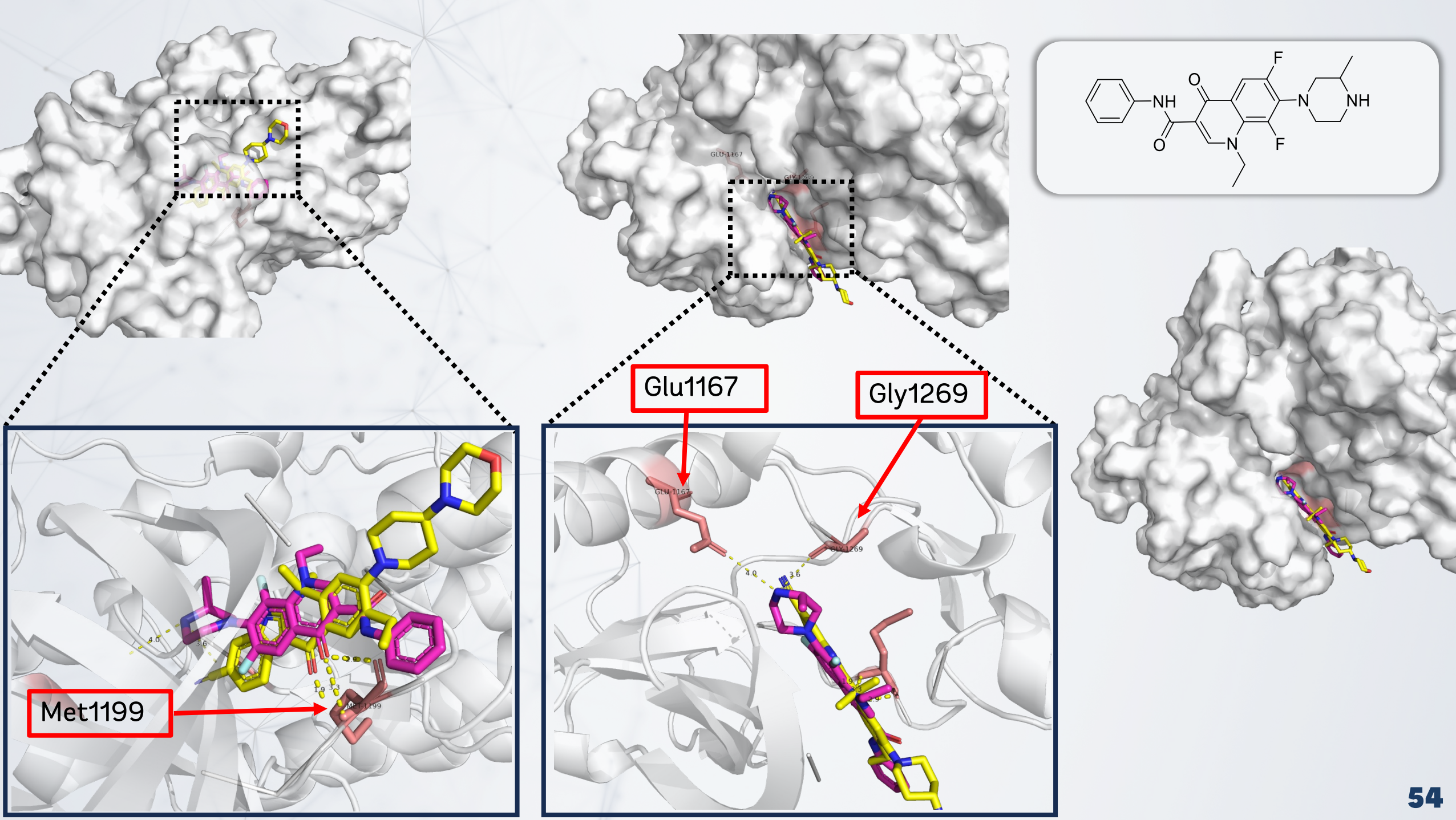


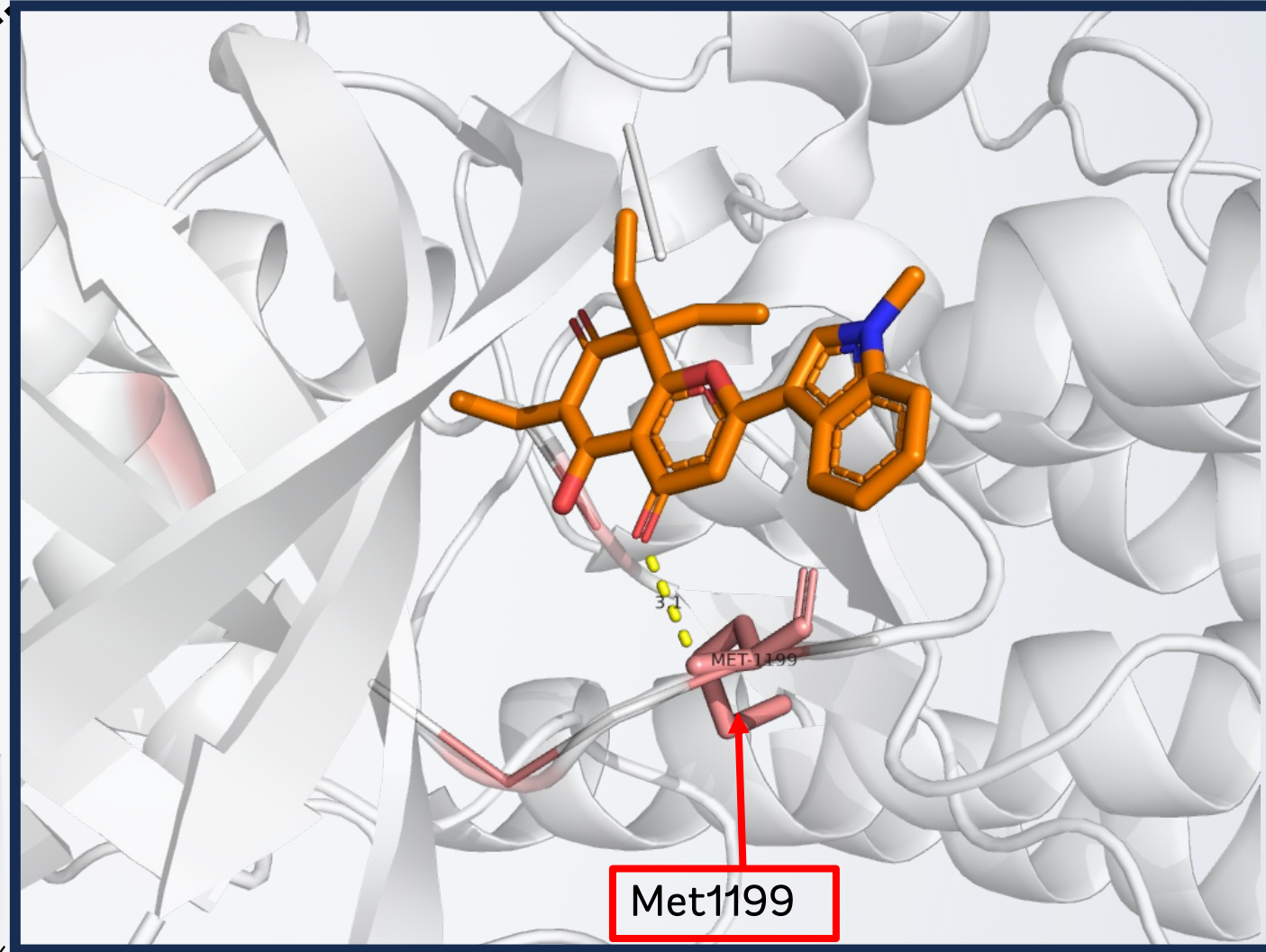
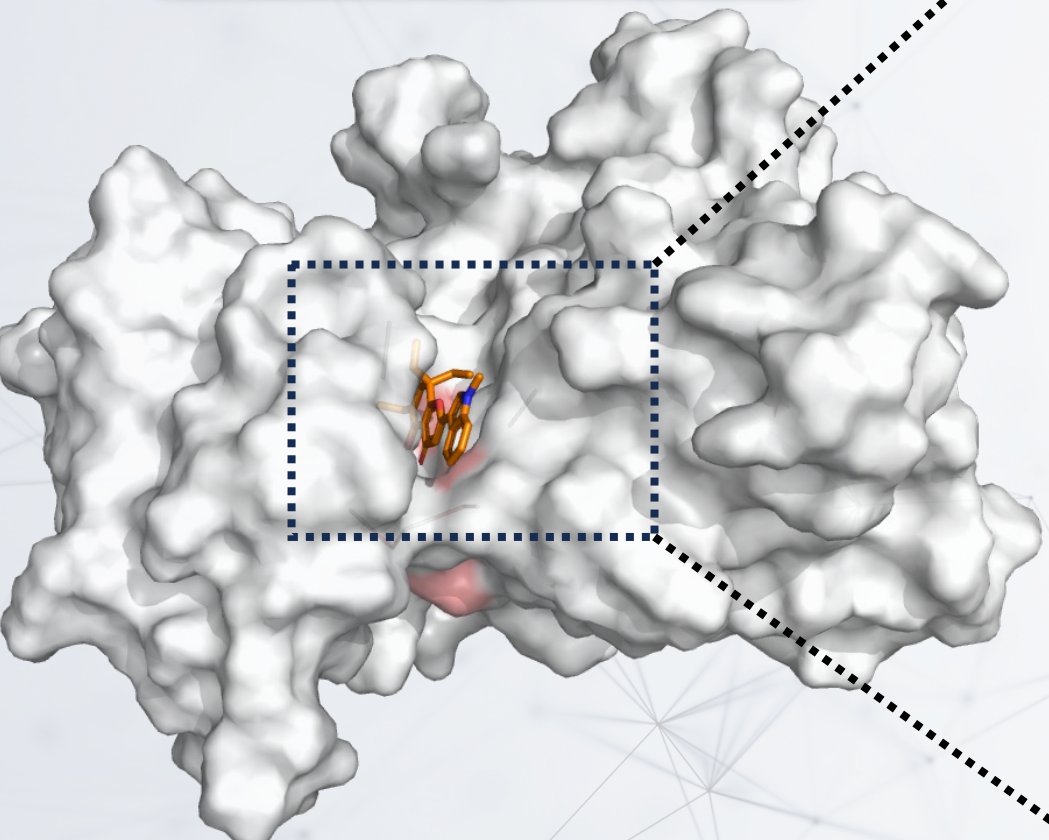
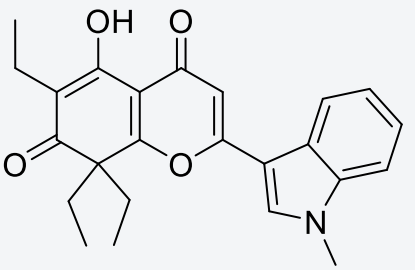
3

CHEMBL ID	CẤU TRÚC	XÁC SUẤT DỰ ĐOÁN CONCENSUS DOCKING	ĐIỂM SỐ DOCKING	XÁC SUẤT DỰ ĐOÁN MÔ HÌNH PHÂN LOẠI
CHEMBL1689515		74,9%	AD-GPU: -8,44 kcal/mol Vina-GPU: -9,10 kcal/mol GNINA affinity: 7,36 CNN-score: 0,89	Học máy: 96,81% ANN: 97,04% E-GNN: 45,63% Trung bình: 79,83%
CHEMBL2380351		66,8%	AD-GPU: -8,61 kcal/mol Vina-GPU: -8,80 kcal/mol GNINA affinity: 7,83 CNN-score: 0,90	Học máy: 89,81% ANN: 77,88% E-GNN: 90,24% Trung bình: 85,98%
CHEMBL102714		65,9%	AD-GPU: -7,0 kcal/mol Vina-GPU : -9,30 kcal/mol GNINA affinity: 7,32 CNN-score: 0,85	Học máy: 93,03% ANN: 85,66% E-GNN: 51,86% Trung bình: 76,85%

CHEMBL2380351

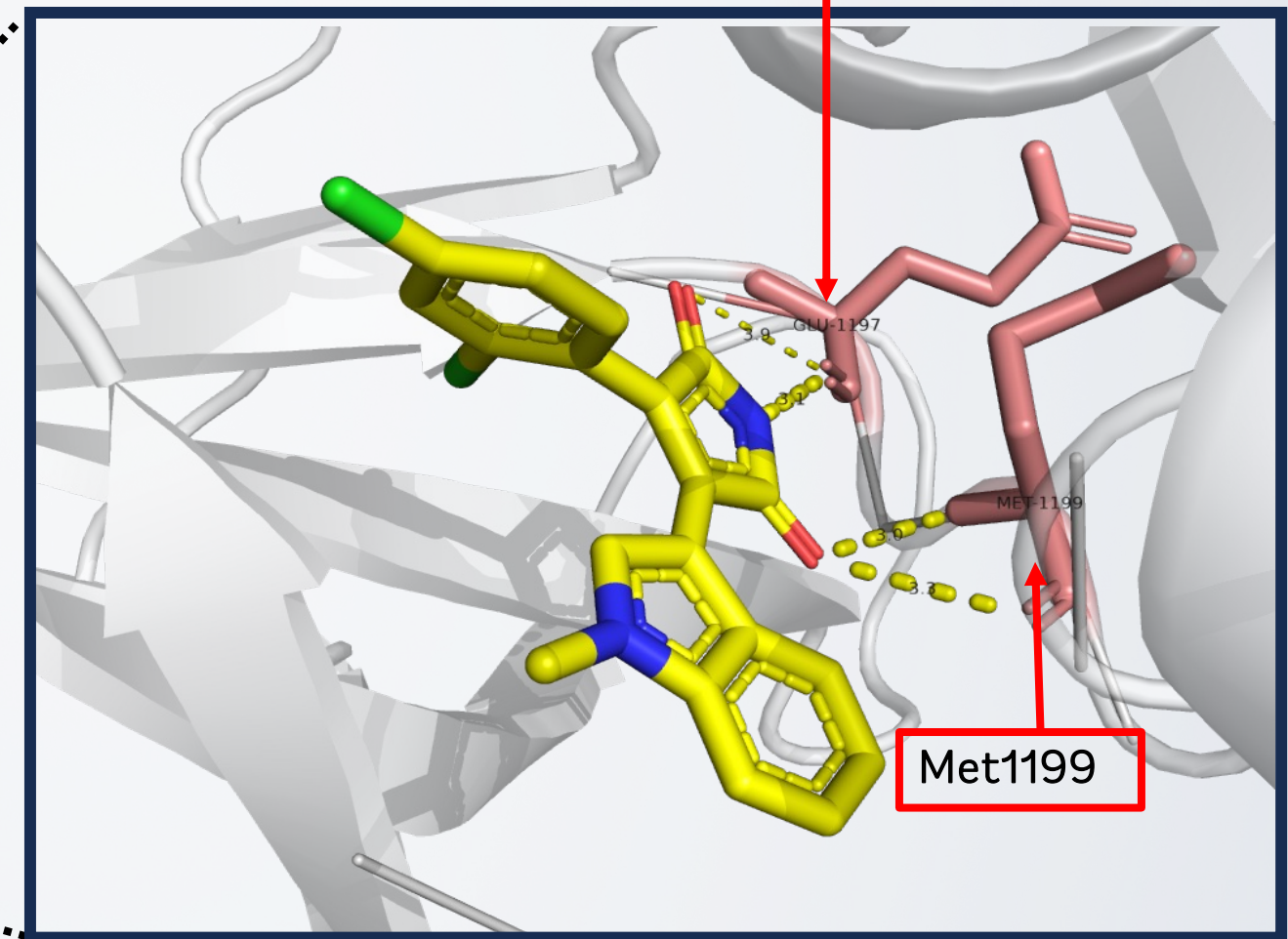
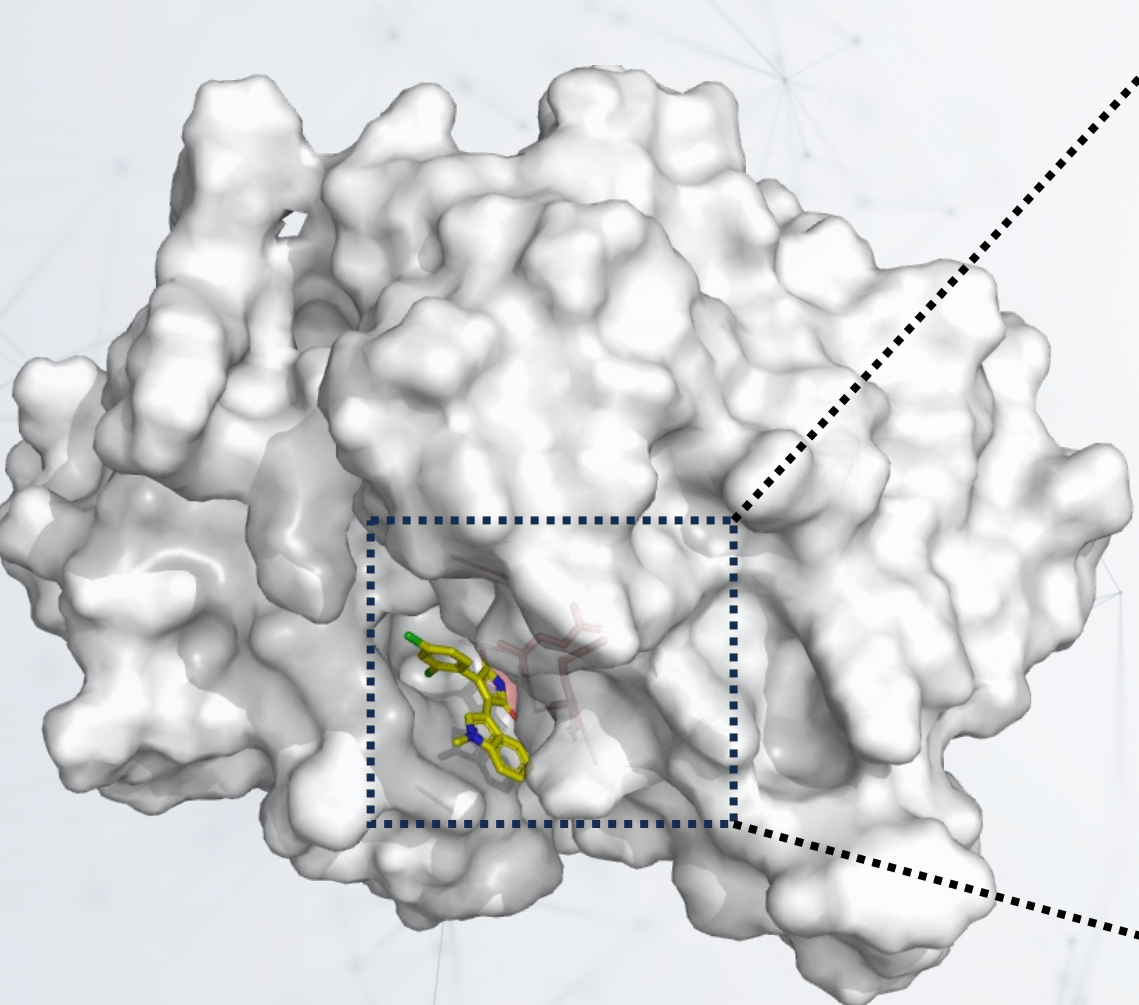
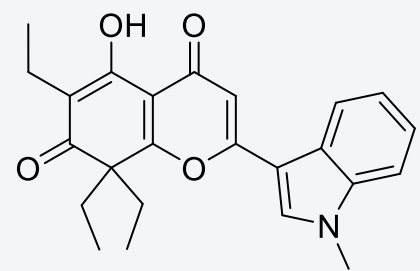






CHEMBL1689515

CHEMBL102714



SÀNG LỌC ẢO

Ứng dụng ALK Classification

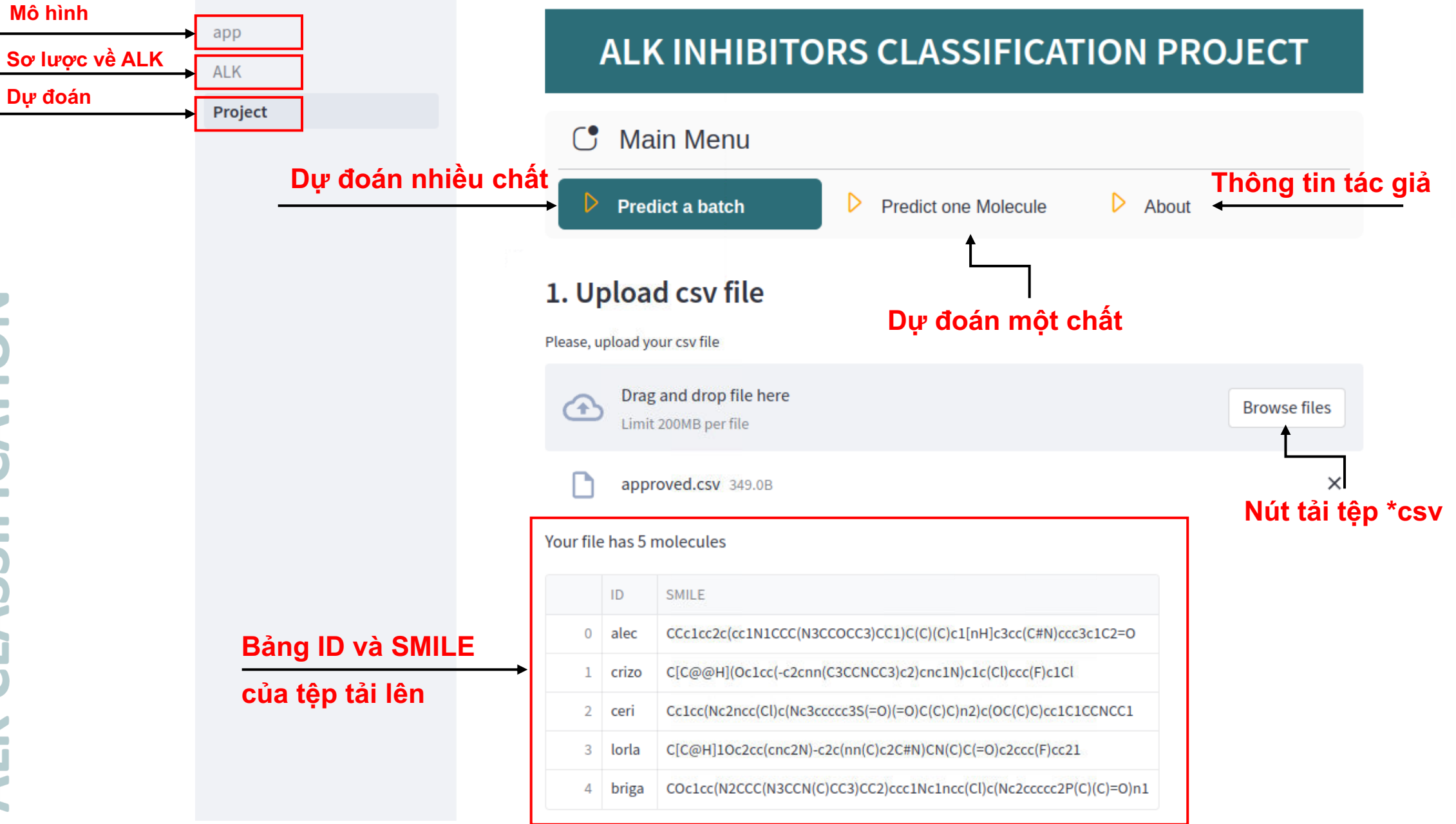


Streamlit



HUGGING FACE

ALK CLASSIFICATION



app
ALK
Project
MedAI

v	alec	CCCCC2c1cc1CCC(N3CCOCC3)CC1C(C)(C)c1[nH]c3cc(C#N)ccc3c1C2=O
1	crido	C[C@H](Oc1cc(-c2cnn(C3CCNCC3)c2)cnc1N)c1c(Cl)ccc(F)c1Cl
2	ceri	Cc1cc(Nc2ncc(Cl)c(Nc3cccc3S(=O)(=O)C(C)C)n2)c(OC(C)C)cc1C1CCNCC1
3	lorla	C[C@H]1Oc2cc(cnc2N)-c2c(nn(C)c2C#N)CN(C)C(=O)c2ccc(F)cc21
4	briga	COc1cc(N2CCC(N3CCN(C)CC3)CC2)ccc1Nc1ncc(Cl)c(Nc2cccc2P(C)(C)=O)n1

2. Preprocessing

Choose the number of criterions in Rule of 5 Lipinski

Number of chosen RO5 rules

 1 2 3 4

Phẫu Lipinski

Nút đặc trưng hóa

Processing

This is your featurized data frame

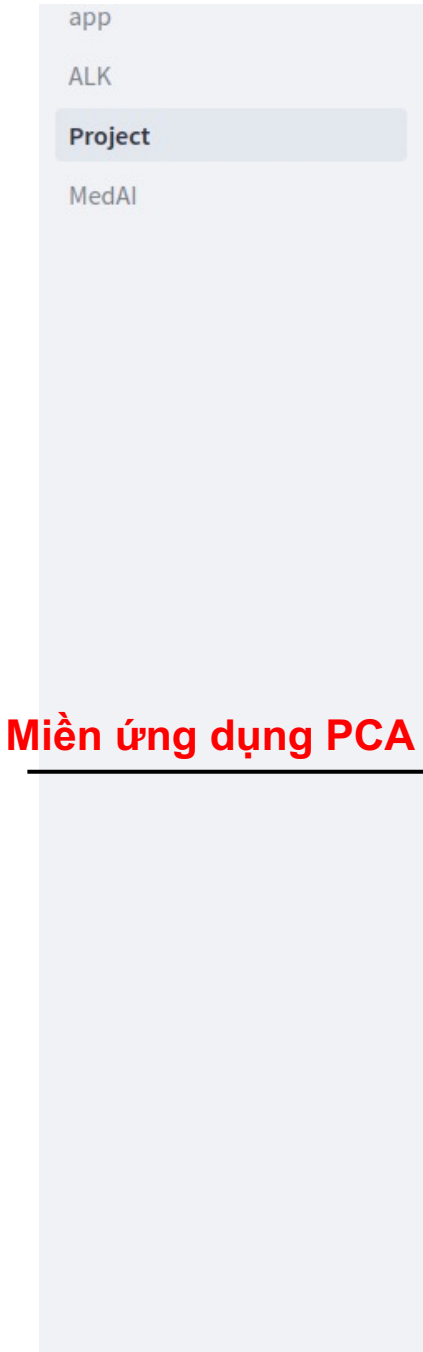
	ID	Canonicalsmiles	0	1	2	3
0	alec	CCCCC2c1cc1CCC(N3CCOCC3)CC1C(C)(C)c1[nH]c3cc(C#N)ccc3c1C2=O	0	0	0	0
1	crido	C[C@H](Oc1cc(-c2cnn(C3CCNCC3)c2)cnc1N)c1c(Cl)ccc(F)c1Cl	0	0	0	0
2	ceri	Cc1cc(Nc2ncc(Cl)c(Nc3cccc3S(=O)(=O)C(C)C)n2)c(OC(C)C)cc1C1CCNCC1	0	0	0	0
3	lorla	C[C@H]1Oc2cc(cnc2N)-c2c(nn(C)c2C#N)CN(C)C(=O)c2ccc(F)cc21	0	0	0	0
4	briga	COc1cc(N2CCC(N3CCN(C)CC3)CC2)ccc1Nc1ncc(Cl)c(Nc2cccc2P(C)(C)=O)n1	0	0	0	0

Your data have 2 molecules violated Rule of 5 Lipinski

Preprocessing done!

Bảng ID và SMILE

và dấu vân tay phân tử



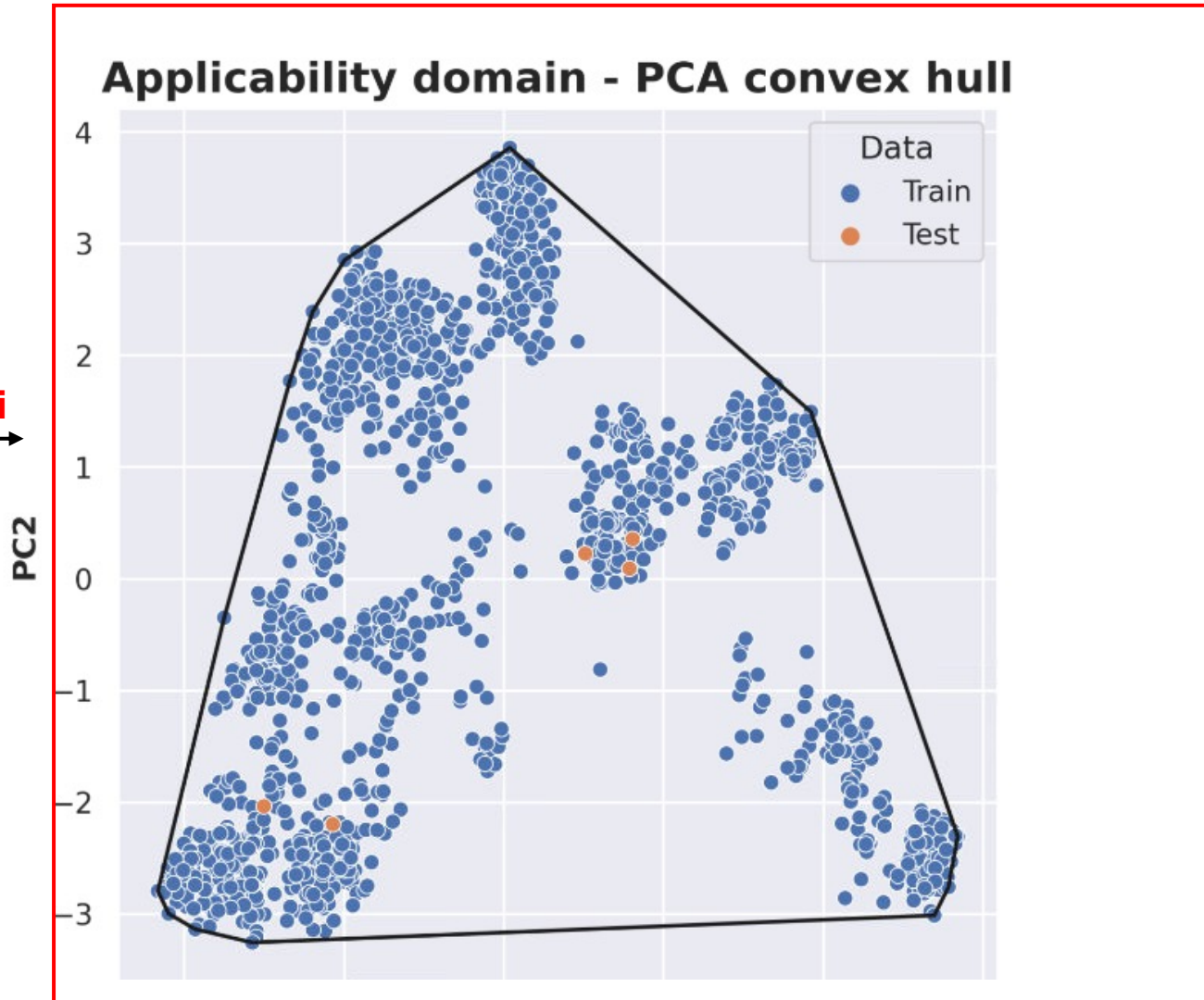
3. Application domain

Check application domain

Nút kiểm tra miền ứng dụng

All predicted molecules are in model's application domain

Miền ứng dụng PCA + bao lồi



app
ALK
Project
MedAI

Processing

Check application domain

3. Application domain

4. Predict

Predict

Nút dự đoán

This is your results

	ID	SMILES	Predict_ANN	Proba_ANN
0	alec	CCc1cc2c(cc1N1CCC(N3CCOCC3)CC1)C(C)(C)c1[nH]c3cc(C#N)ccc3c1C2=O	1	75.81
1	crizo	C[C@@H](Oc1cc(-c2cnn(C3CCNCC3)c2)cnc1N)c1c(Cl)ccc(F)c1Cl	1	98.9
2	ceri	Cc1cc(Nc2ncc(Cl)c(Nc3cccc3S(=O)(=O)C(C)C)n2)c(OC(C)C)cc1C1CCNCC1	0	24.64
3	lorla	C[C@H]1Oc2cc(cnc2N)-c2c(nn(C)c2C#N)CN(C)C(=O)c2ccc(F)cc21	0	49.43
4	briga	COc1cc(N2CCC(N3CCN(C)CC3)CC2)ccc1Nc1ncc(Cl)c(Nc2cccc2P(C)(C)=O)n1	1	92.91

Bảng kết quả của 3 mô hình

Nút tải bảng kết quả

Download your result data frame as CSV

ALK CLASSIFICATION

app
ALK
Project
MedAI

ALK INHIBITORS CLASSIFICATION PROJECT

Main Menu

Predict a batch

Predict one Molecule

About

1. Input smile

Please, input your smile

CCC1=CC2=C(C=C1N3CCC(CC3)N4CCOCC4)C(C5=C(C2=O)C6=C(N5)C=C(C=C6)C#N)(C)C

This is your 3D molecule

Dự đoán một chất

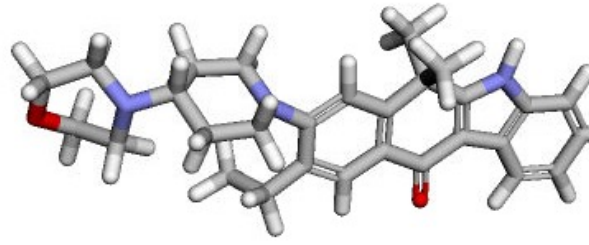
Nhập SMILE

Cấu trúc 3D của
chất dự đoán

62

ALK CLASSIFICATION

app
ALK
Project
MedAI



Choose the number of criterions in Rule of 5 Lipinski

Number of chosen RO5 rules

1 2 3 4

Phẫu Lipinski

2. Predict

Nút dự đoán

Predict

Bảng kết quả

Nút tải bảng kết quả

This is your results

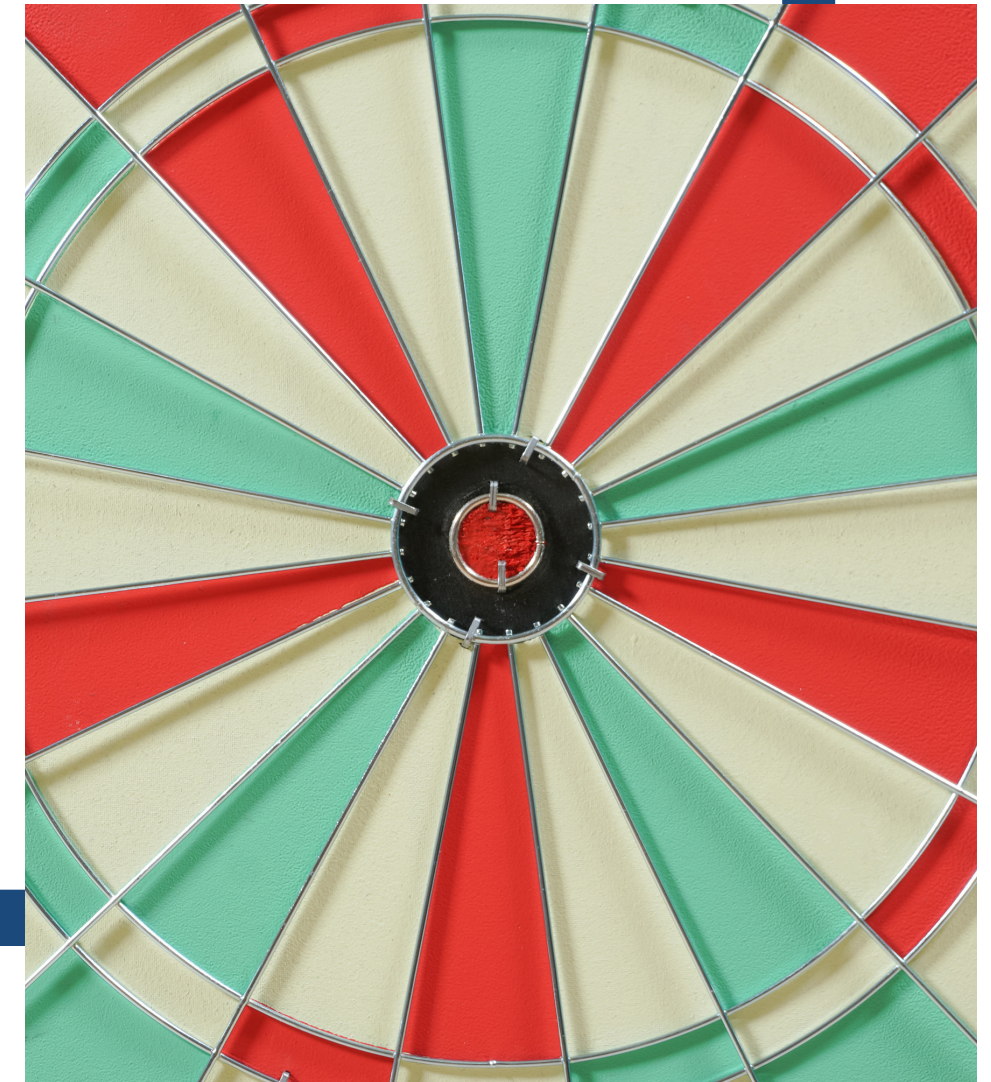
	ID	SMILES	Predict_ANN	Proba_
0	1	CCC1=CC2=C(C=C1N3CCC(CC3)N4CCOCC4)C(C5=C(C2=O)C6=C(N5)C=C(C=C6)C#N)(C)C	1	

Download your result data frame as CSV



https://huggingface.co/spaces/thechuongtrinh/ALK_inhibitors_classification

4. KẾT LUẬN VÀ ĐỀ NGHỊ





KẾT LUẬN

Đề tài đã xây dựng thành công **3 mô hình AI** để phân loại các chất ức chế thụ thể ALK, với cơ sở dữ liệu từ thư viện Reaxys.

Xây dựng thành công mô hình **consensus docking** với sự kết hợp từ 3 kết quả docking của 3 phần mềm Autodock-GPU, Vina-GPU-2.0 và GNINA.

Xác định **miền ứng dụng** của mô hình.

Triển khai mô hình thành ứng dụng sàng lọc ảo **ALK Classification** trên trang Huggingface.com

Quá trình sàng lọc ảo từ 120.571 chất có hoạt tính trên tế bào A549, đề tài thu được 3 ứng viên tiềm năng đó là: **CHEMBL1689515, CHEMBL2380351, CHEMBL102714**.



Thực hiện chạy động học phân tử (**Molecular dynamics - MD**) với 3 chất tiềm năng

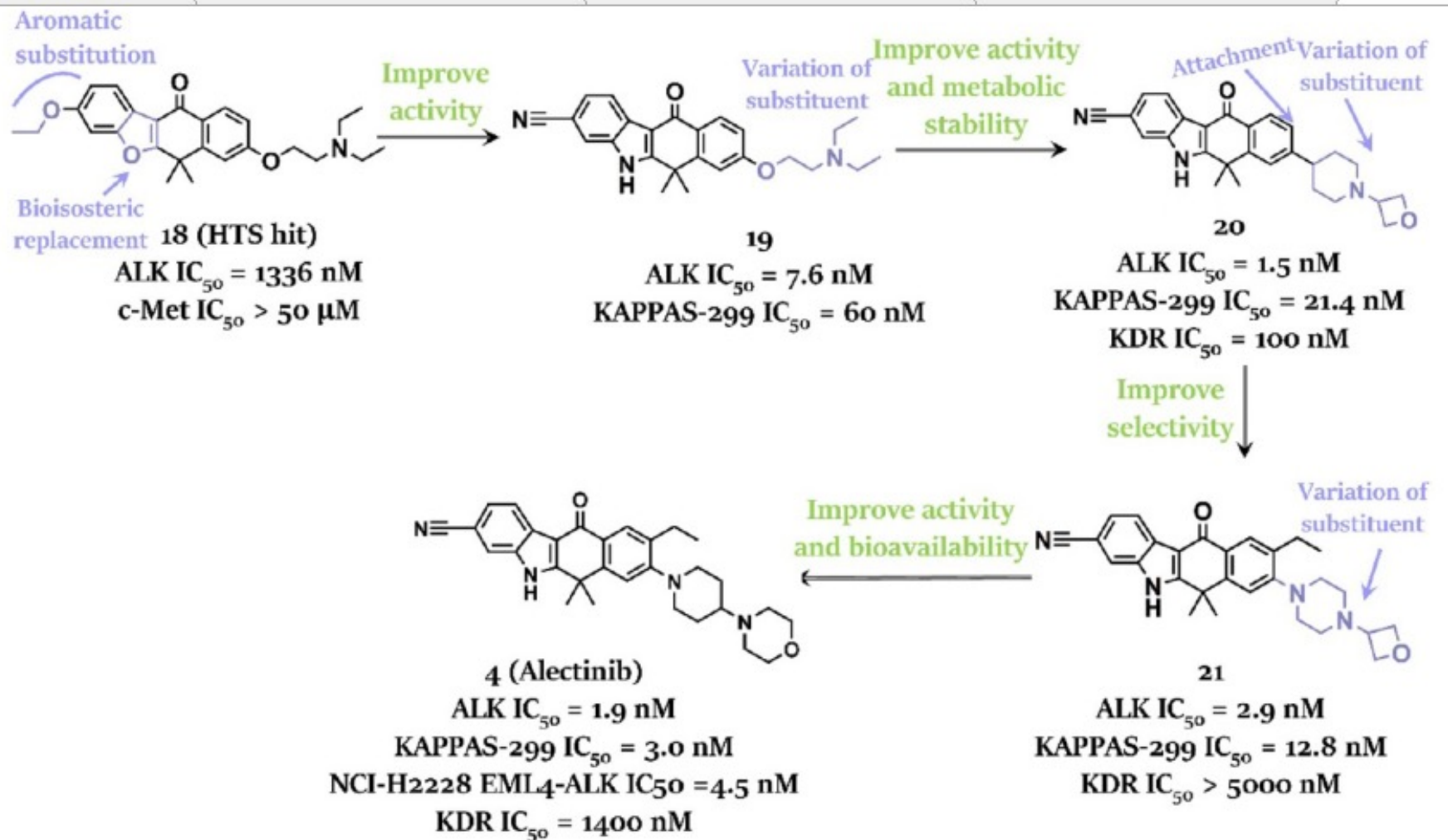
Tổng hợp và thử nghiệm *in vitro* để xác định hoạt tính sinh học.

Cải thiện hiệu suất mô hình GNN bằng cách tìm thêm dữ liệu từ các nguồn khác, thiết kế cấu trúc mạng mới, áp dụng các mô-đun khác trong thư viện Pytorch Geometric. Sử dụng đồ thị protein kết hợp với đồ thị phân tử. Tiếp cận các mô hình AI khác như CNN, RNN để tối đa hóa tiềm năng của AI trong thiết kế thuốc

**CẢM ƠN QUÝ
THẦY CÔ ĐÃ LẮNG NGHE**

Email: ttchuong.d18@ump.edu.vn





CÁC THUỐC ỨC CHẾ ALK

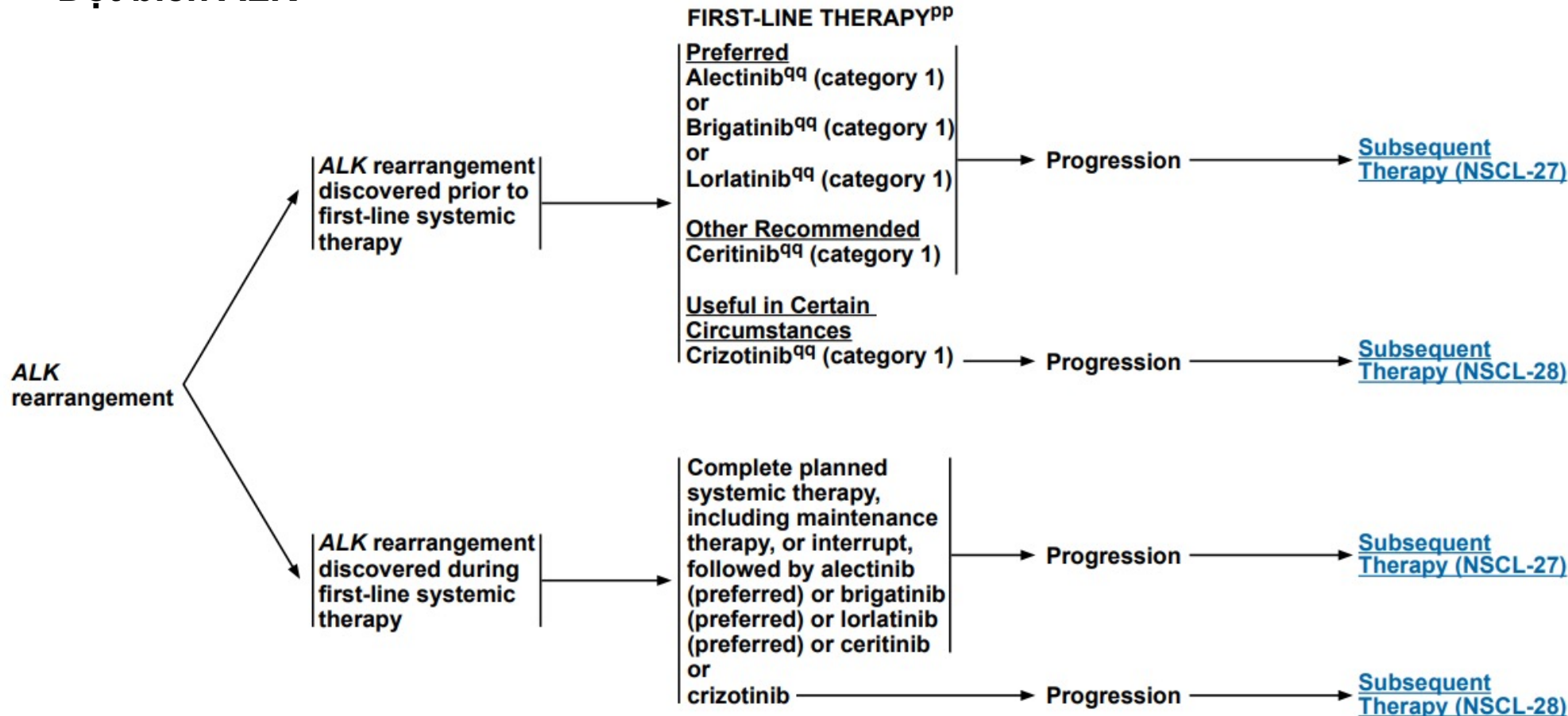


National
Comprehensive
Cancer
Network®

HƯỚNG DẪN ĐIỀU TRỊ NCCN NĂM 2023 UNG THƯ PHỔI KHÔNG TẾ BÀO NHỎ

[NCCN Guidelines Index](#)
[Table of Contents](#)
[Discussion](#)

Đột biến ALK



CÁC THUỐC ỨC CHẾ ALK

	Alectinib	Brigatinib	Ceritinib	Crizotinib	Lorlatinib
C1156Y	Likely beneficial Relapsing: 1/82 (1%) Sensitivity: 5/5 (100%)	Possibly beneficial Relapsing: 0/32 (0%) Sensitivity: 1/1 (100%)	Possibly beneficial Relapsing: 3/53 (6%) Sensitivity: 2/3 (67%)	No benefit expected Relapsing: 22/220 (10%) No patients treated	Insufficient evidence Relapsing: 1/34 (3%) Sensitivity: 1/2 (50%)
I1171N	No benefit expected Relapsing: 17/82 (21%) No cases treated	No benefit expected Relapsing: 1/32 (3%) Sensitivity: 0/3 (0%)	Likely beneficial Relapsing: 0/53 (0%) Sensitivity: 6/6 (100%)	Insufficient evidence Relapsing: 0/220 (0%) No patients treated	Possibly beneficial Relapsing: 1/34 (3%) Sensitivity: 1/1 (100%)
I1171S	No benefit expected Relapsing: 6/82 (7%) No cases treated	Possibly beneficial Relapsing: 0/32 (0%) Sensitivity: 1/1 (100%)	Insufficient evidence Relapsing: 0/53 (0%) No patients treated	Insufficient evidence Relapsing: 1/220 (0.5%) No patients treated	Insufficient evidence Relapsing: 0/34 (0%) No patients treated
I1171T	Possibly beneficial Relapsing: 4/82 (5%) Sensitivity: 2/2 (100%)	No benefit expected Relapsing: 0/32 (0%) Sensitivity: 0/1 (0%)	Likely beneficial Relapsing: 0/53 (0%) Sensitivity: 3/3 (100%)	Insufficient evidence Relapsing: 10/220 (4%) No patients treated	Insufficient evidence Relapsing: 0/34 (0%) No patients treated
F1174C	Possibly beneficial Relapsing: 0/82 (0%) Sensitivity: 1/1 (100%)	Insufficient evidence Relapsing: 0/32 (0%) No patients treated	Possibly beneficial Relapsing: 3/53 (6%) Sensitivity: 1/1 (100%)	No benefit expected Relapsing: 2/220 (0.9%) Sensitivity: 0/1 (0%)	Possibly beneficial Relapsing: 0/34 (0%) Sensitivity: 1/1 (100%)
F1174L	Possibly beneficial Relapsing: 0/82 (0%) Sensitivity: 1/1 (100%)	Possibly beneficial Relapsing: 1/32 (3%) Sensitivity: 1/1 (100%)	No benefit expected Relapsing: 3/53 (6%) Sensitivity: 0/1 (0%)	Insufficient evidence Relapsing: 9/220 (4%) No patients treated	Insufficient evidence Relapsing: 0/34 (0%) No patients treated
F1174V	Possibly beneficial Relapsing: 0/82 (0%) Sensitivity: 1/1 (100%)	Insufficient evidence Relapsing: 1/32 (3%) No patients treated	Insufficient evidence Relapsing: 2/53 (4%) No patients treated	Insufficient evidence Relapsing: 4/220 (2%) No patients treated	Possibly beneficial Relapsing: 0/34 (0%) Sensitivity: 2/2 (100%)
L1196M	Conflicting evidence Relapsing: 9/82 (11%) Sensitivity: 9/11 (82%)	No benefit expected Relapsing: 2/32 (6%) Sensitivity: 1/2 (50%)	Possibly beneficial Relapsing: 3/53 (6%) Sensitivity: 10/10 (100%)	No benefit expected Relapsing: 55/220 (25%) No cases treated	Likely beneficial Relapsing: 1/34 (3%) Sensitivity: 7/10 (70%)
G1202R	Conflicting evidence Relapsing: 26/82 (32%) Sensitivity: 4/6 (67%)	No benefit expected Relapsing: 10/32 (31%) Sensitivity: 2/4 (50%)	No benefit expected Relapsing: 19/53 (36%) Sensitivity: 1/2 (50%)	No benefit expected Relapsing: 16/220 (7%) No cases treated	Likely beneficial Relapsing: 1/34 (3%) Sensitivity: 17/22 (77%)
G1269A	Likely beneficial Relapsing: 0/82 (0%) Sensitivity: 2/3 (67%)	Insufficient evidence Relapsing: 0/32 (0%) Sensitivity: 1/2 (50%)	Likely beneficial Relapsing: 0/53 (0%) Sensitivity: 2/3 (67%)	No benefit expected Relapsing: 34/220 (16%) No cases treated	Likely beneficial Relapsing: 1/34 (3%) Sensitivity: 5/5 (100%)
L1196M G1202R	Insufficient evidence Relapsing: 2/82 (2%) No patients treated	Insufficient evidence Relapsing: 1/32 (3%) No patients treated	Insufficient evidence Relapsing: 0/53 (0%) No patients treated	Insufficient evidence Relapsing: 0/220 (0%) No patients treated	No benefit expected Relapsing: 4/34 (12%) Sensitivity: 0/1 (0%)

Clinical benefit

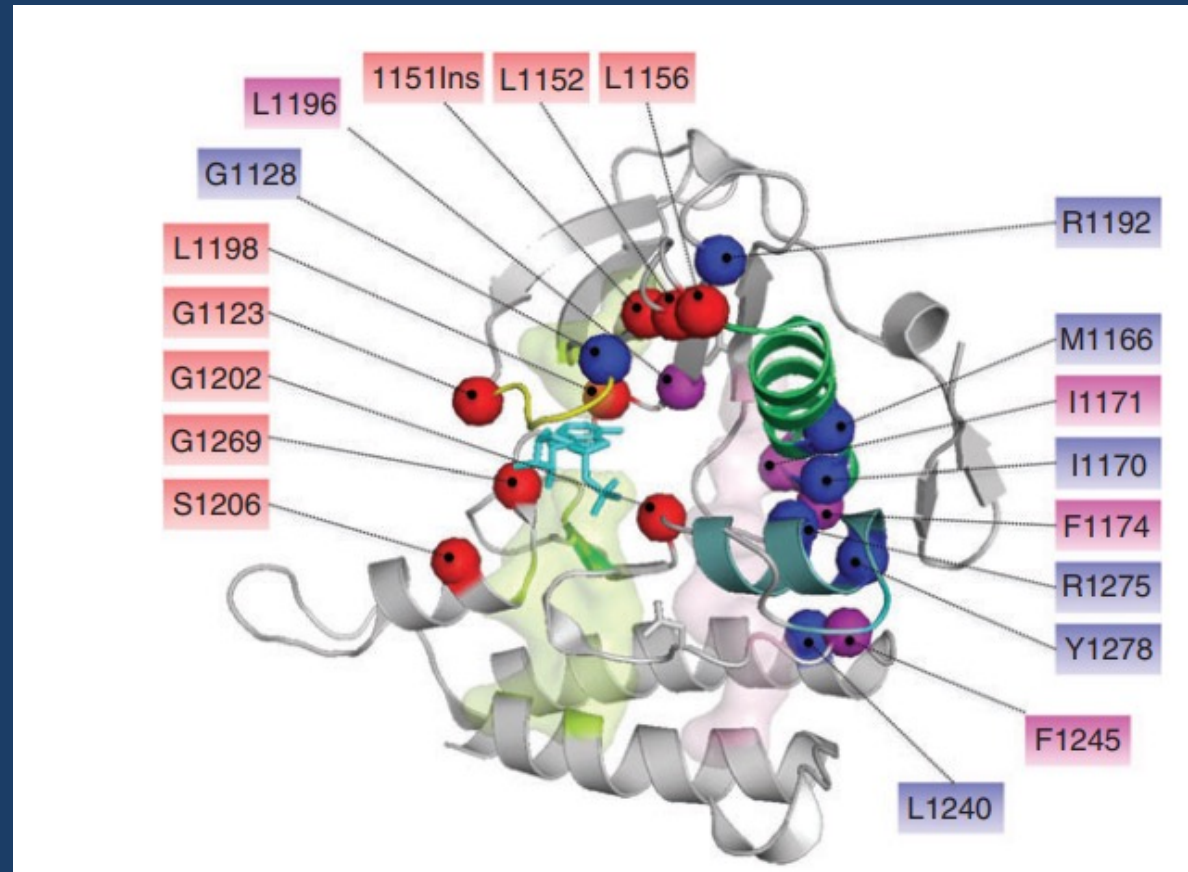
% of patients with only this mutation achieving clinical benefit or sensitivity on sequential treatment with this inhibitor

Three or more patients with treatment results

	>66%	33-66%	<33%
<5%	Likely beneficial	Possibly beneficial	No benefit expected
5-9%	Possibly beneficial	Conflicting evidence	No benefit expected
≥10%	Conflicting evidence	No benefit expected	No benefit expected

Two or less patients with treatment results

	100%	50%	0%	No patients treated
<5%	Possibly beneficial	Insufficient evidence	No benefit expected	Insufficient evidence
5-9%	Possibly beneficial	No benefit expected	No benefit expected	No benefit expected
≥10%	No benefit expected	No benefit expected	No benefit expected	No benefit expected



QUY TRÌNH THU THẬP VÀ XỬ LÝ DỮ LIỆU

2

BƯỚC 1

BƯỚC 2

BƯỚC 3

BƯỚC 4

THU THẬP DỮ LIỆU

Cơ sở dữ liệu Reaxys

XỬ LÝ DỮ LIỆU

Xóa dữ liệu không hoàn thiện.
Chuẩn hóa đích tác động, đơn vị đo.
Chuẩn hóa pIC50.

CHUẨN HÓA CẤU TRÚC

Loại bỏ SMILES lỗi.
Chuẩn hóa dạng muối

LUẬT 5 LIPINSKI

Loại bỏ các cấu trúc vi phạm hơn 1 luật

QUY TRÌNH KHAI PHÁ DỮ LIỆU

2

CHIA DỮ LIỆU

Tập huấn luyện chiếm 80% và tập đánh giá ngoại chiếm 20%

LÀM SẠCH DỮ LIỆU

Xóa dữ liệu bị trùng, xóa các cột có phương sai thấp hơn 0,05

XỬ LÝ DỮ LIỆU BỊ MẤT

Sử dụng thuật toán kNN imputer để điền vào các ô dữ liệu bị mất

CHUẨN HÓA

Min_max scaler để chuẩn hóa các giá trị trong cùng một cột

LỰA CHỌN ĐẶC TRƯNG

Sử dụng các thuật toán học máy để chọn ra các đặc trưng quan trọng

LỰA CHỌN THUẬT TOÁN

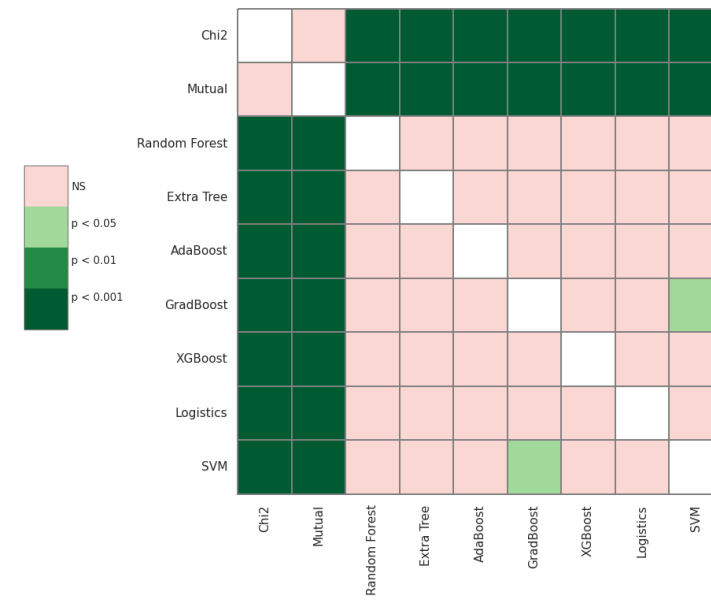
Sau khi dữ liệu đã được xử lý, lần lượt đưa dữ liệu vào các thuật toán học máy và so sánh hiệu quả của từng thuật toán

MÔ HÌNH HỌC MÁY

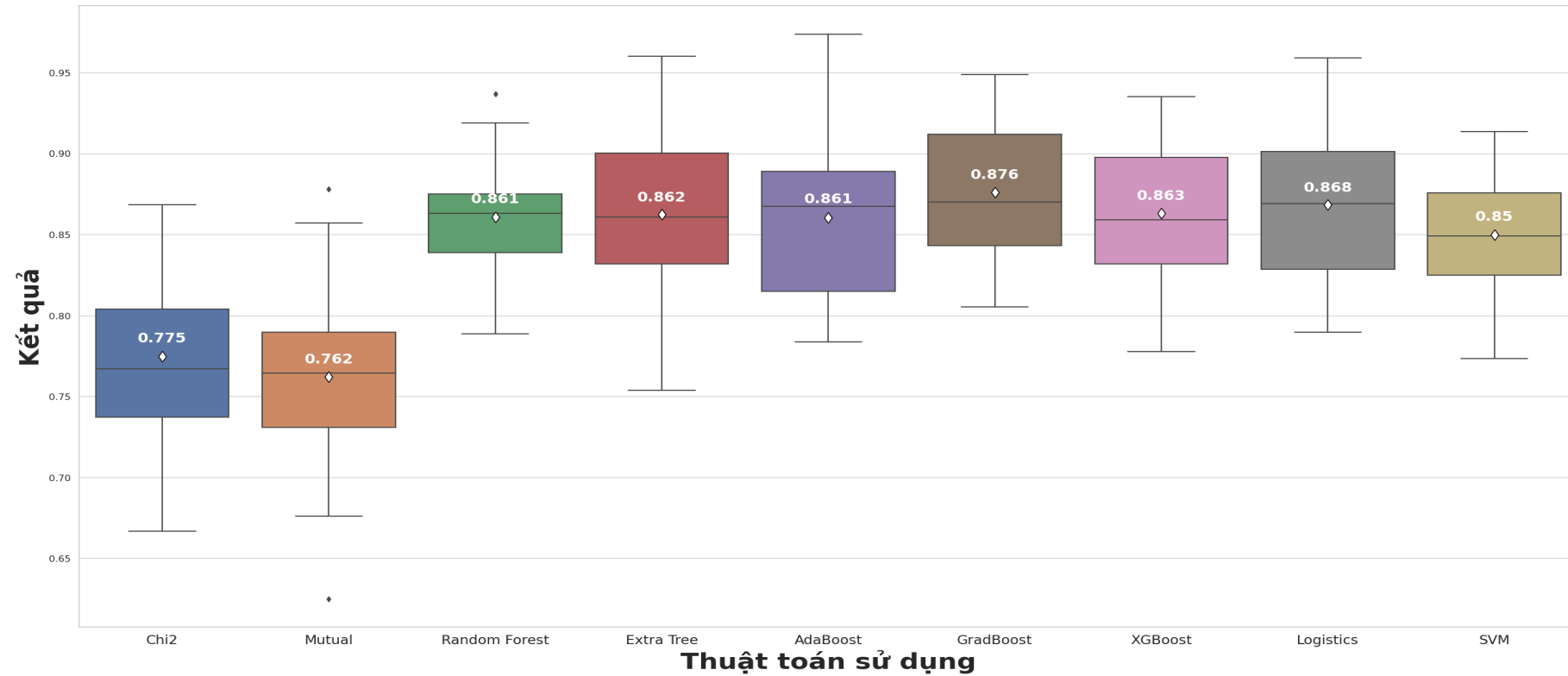
So sánh thuật toán chọn đặc trưng

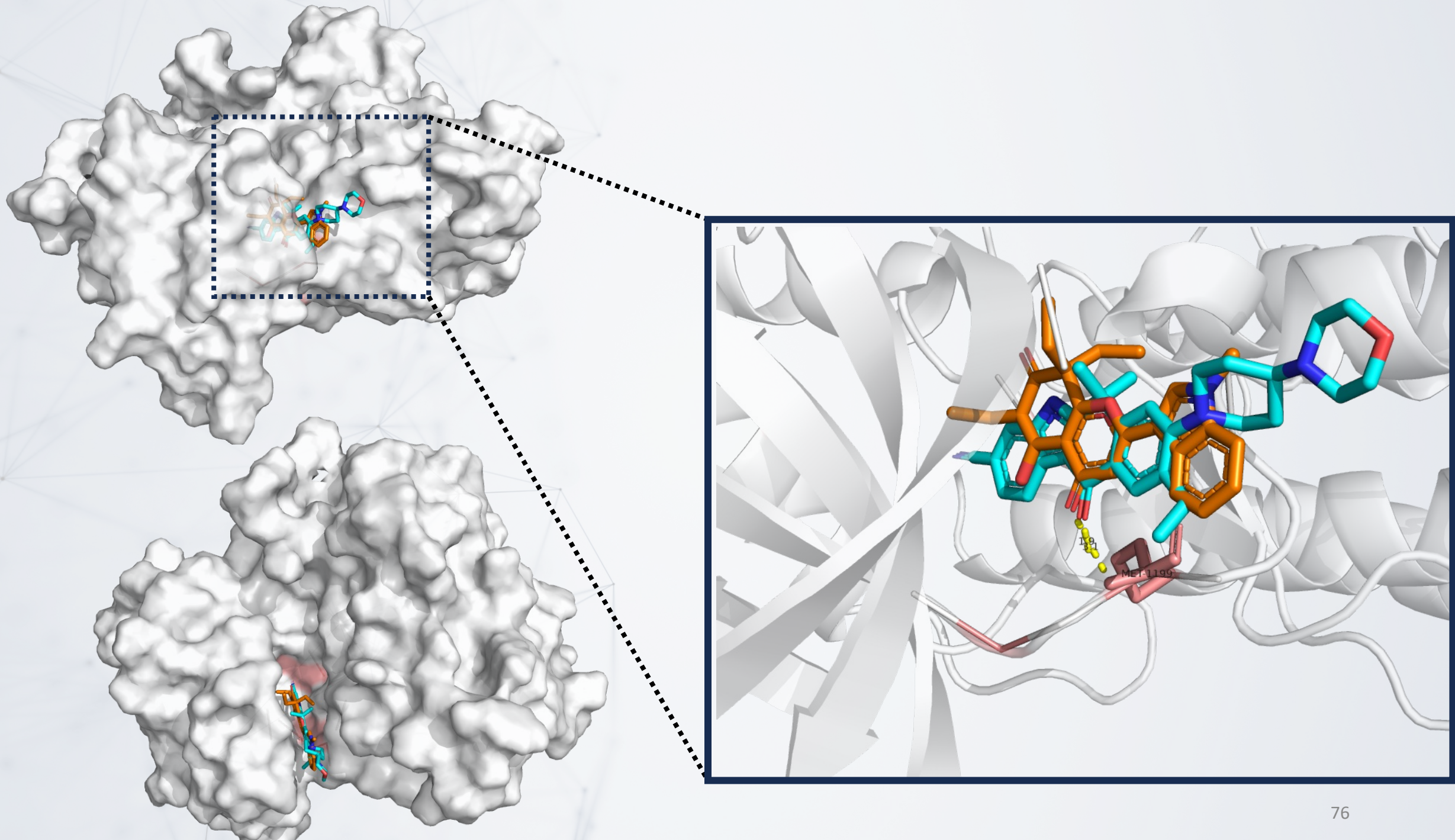


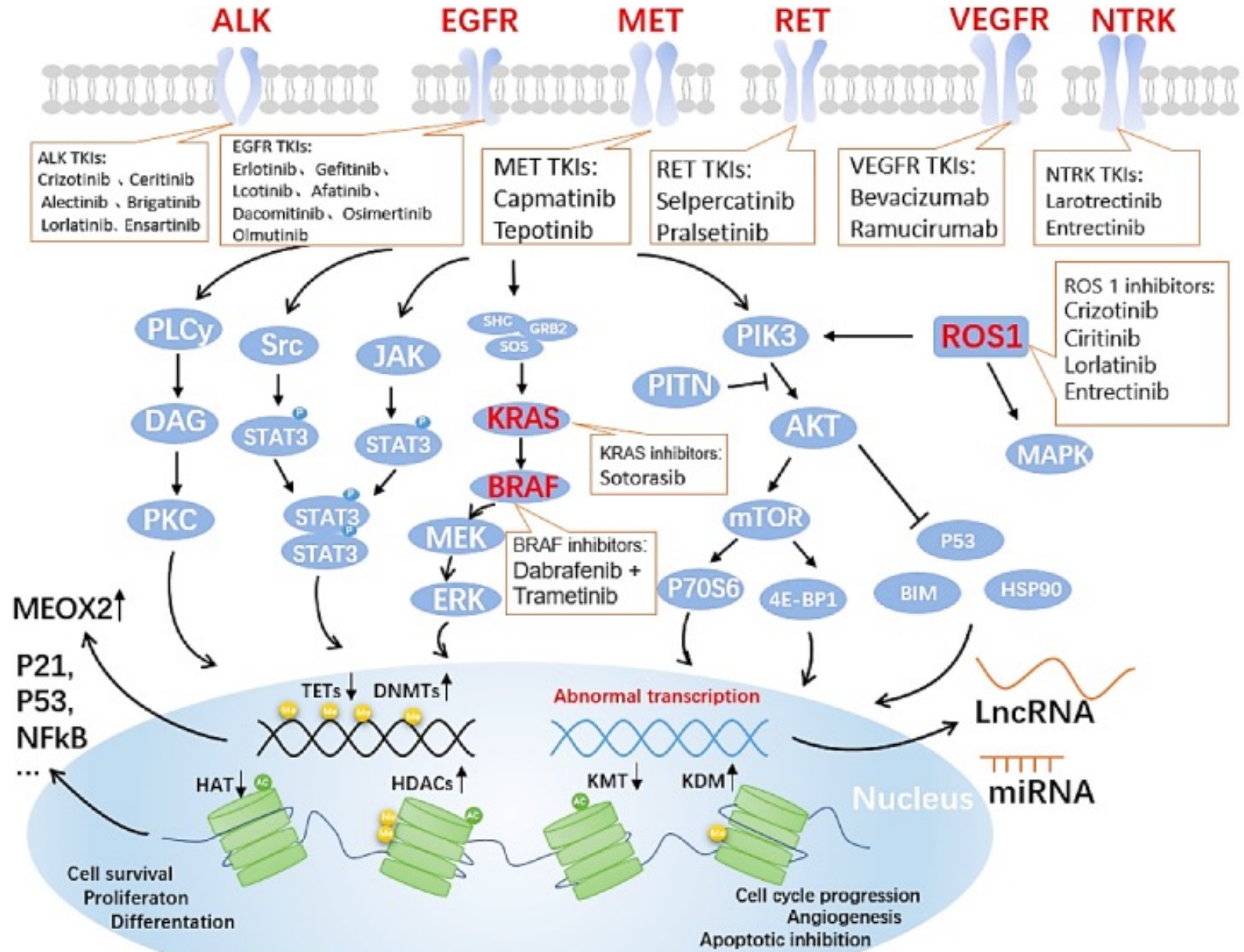
Biểu đồ nhiệt Wilcoxon

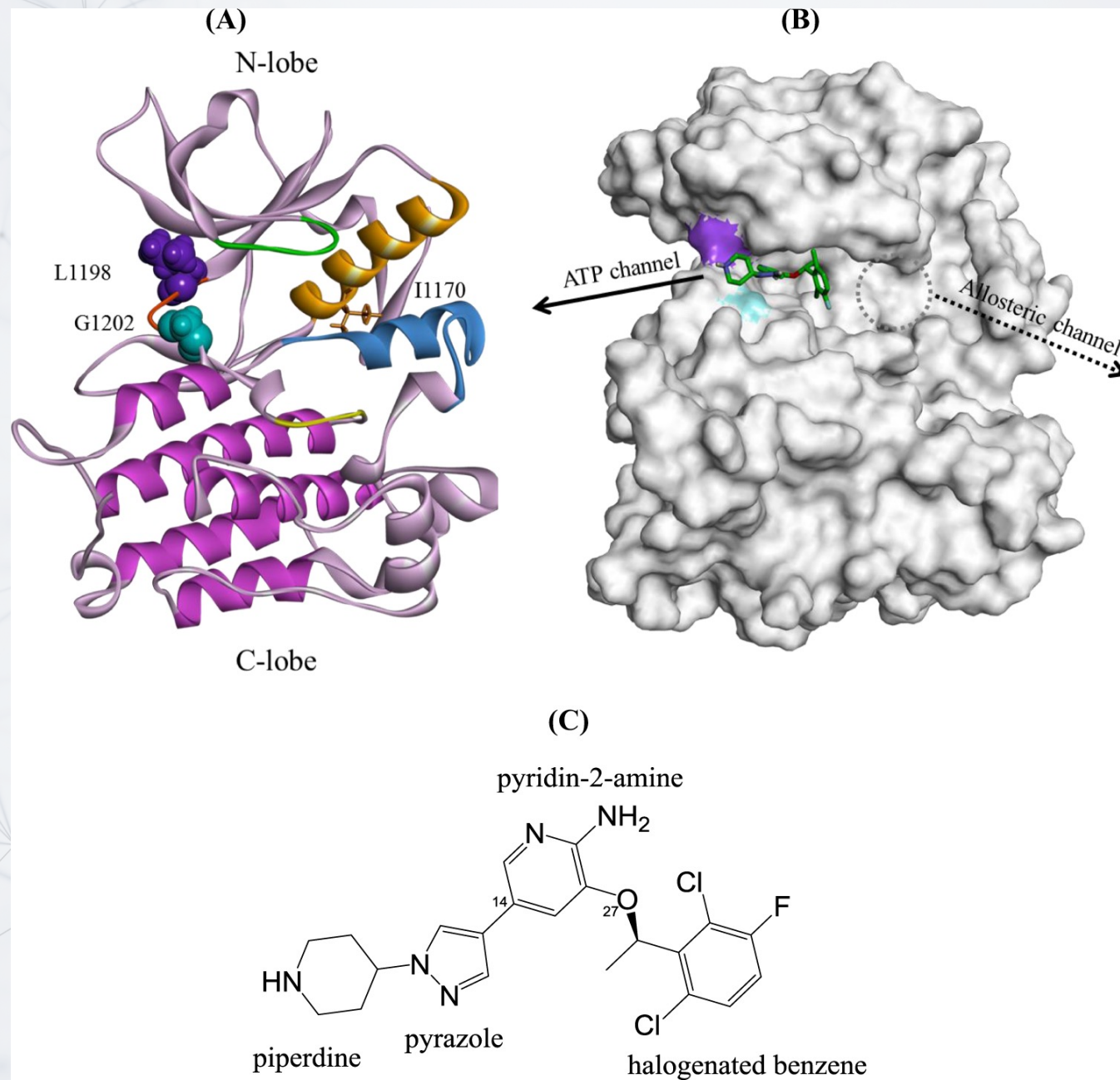


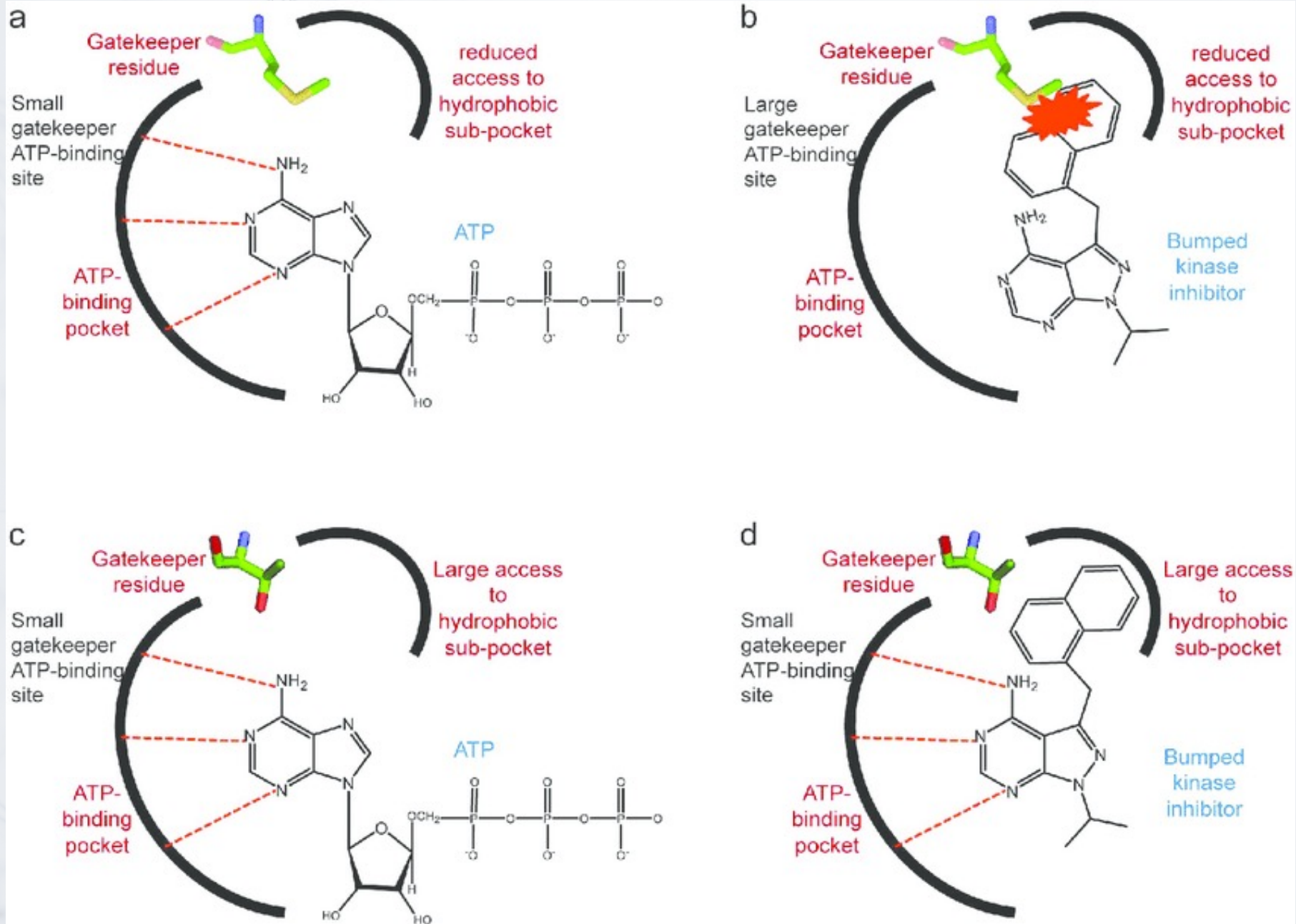
So sánh kết quả CV-f1 score giữa các thuật toán chọn đặc trưng

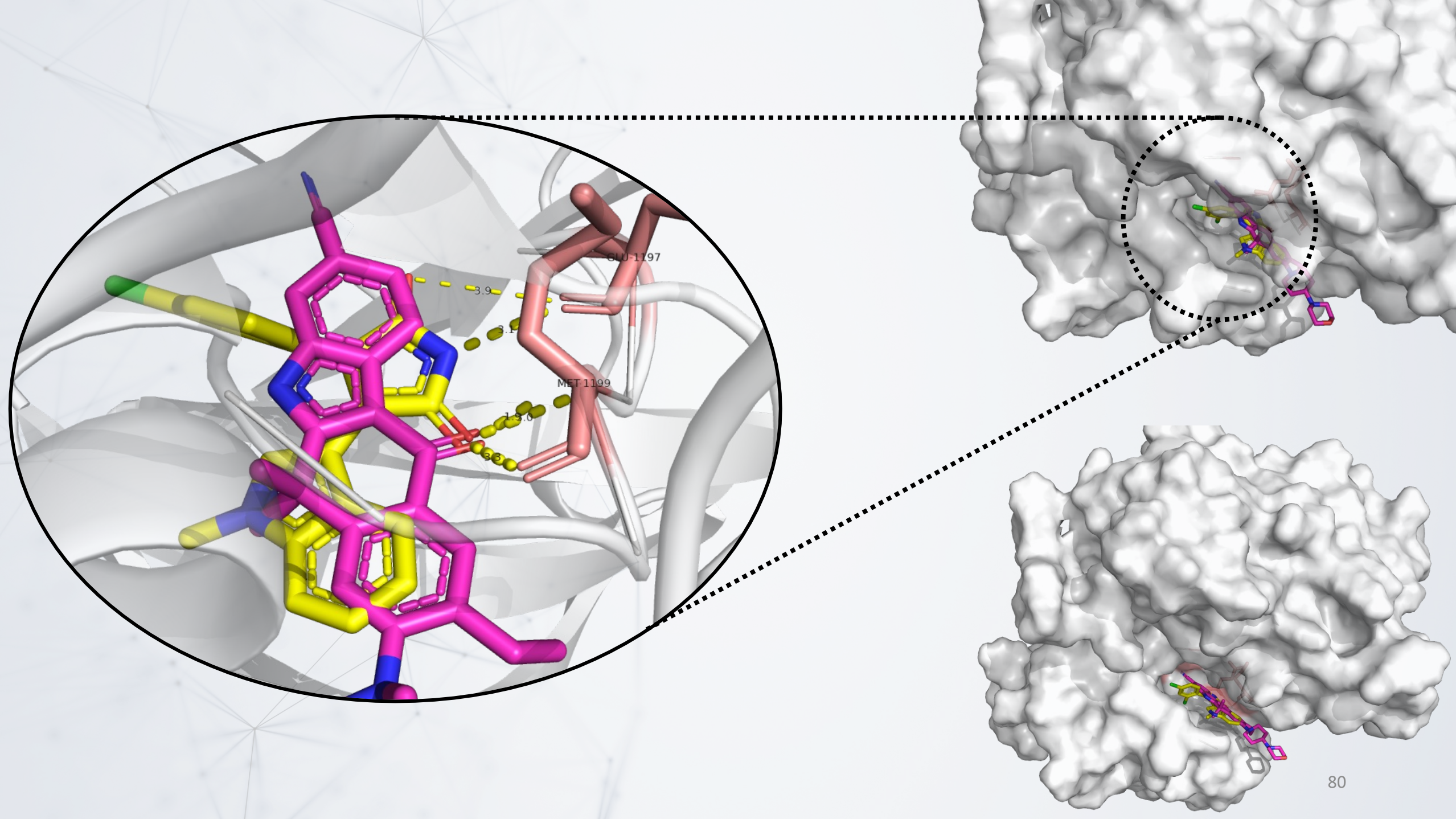






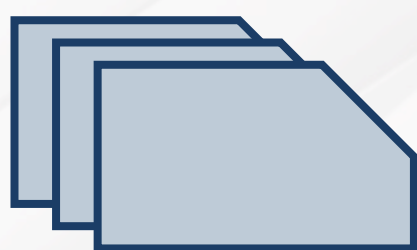




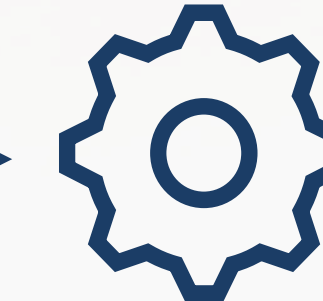


MÔ HÌNH HỌC MÁY

HUẤN LUYỆN MÔ HÌNH



Dữ liệu huấn luyện

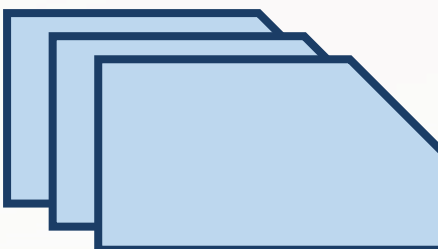


Thuật toán học máy

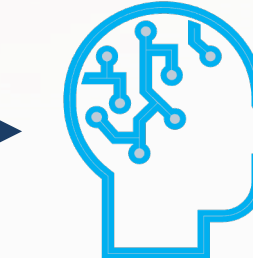


Mô hình dự đoán

ĐÁNH GIÁ MÔ HÌNH



Dữ liệu dự đoán



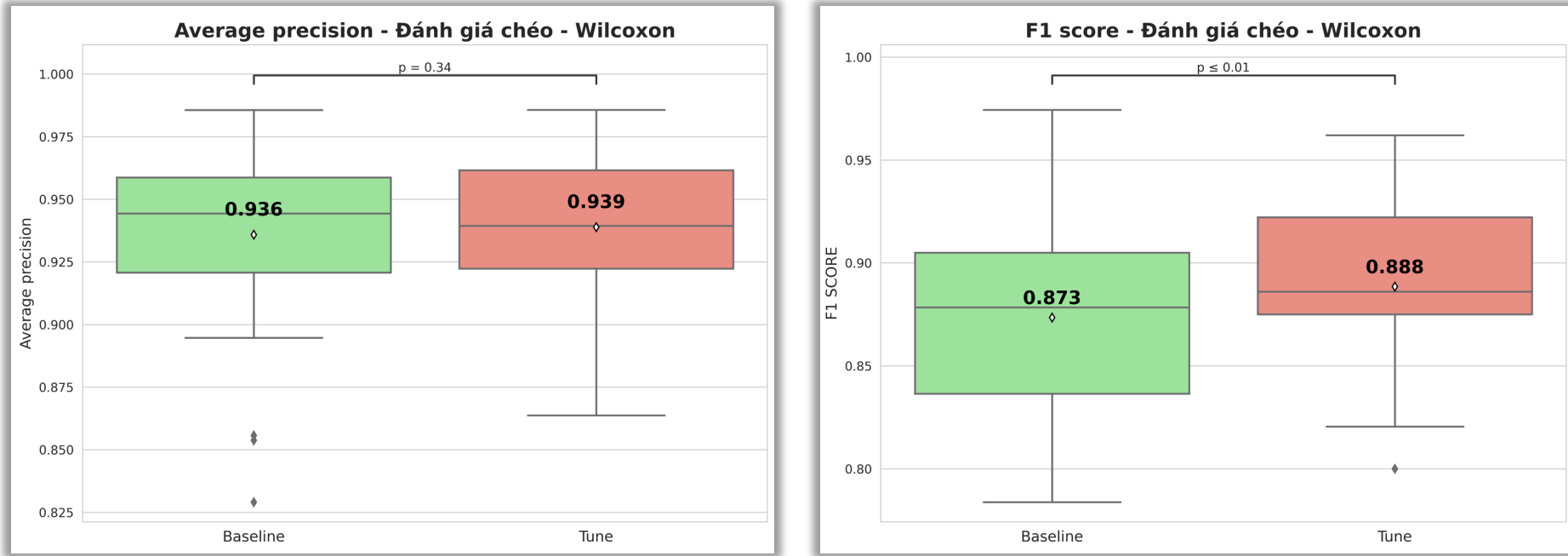
Mô hình dự đoán



Kết quả



MÔ HÌNH HỌC MÁY



ĐIỂM

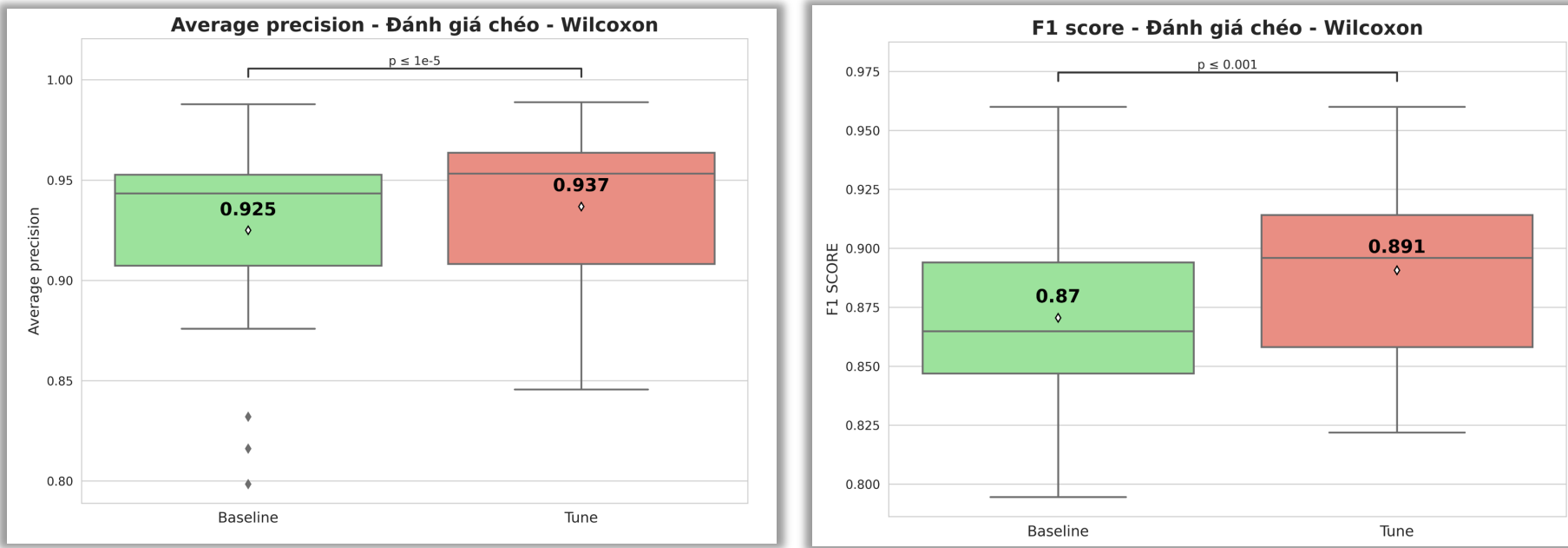
ĐÁNH GIÁ CHÉO (CV)

	Trước tối ưu	Sau tối ưu	p-value	Trước tối ưu	Sau tối ưu
f1 score	0,873±0,045	0,888±0,039	0,0062	0,894	0,921
AP	0,936±0,037	0,939±0,032	0,339	0,921	0,961

MẠNG THẦN KINH NHÂN TẠO (ANN)



3



ĐIỂM

ĐÁNH GIÁ CHÉO (CV)

	Trước tối ưu	Sau tối ưu	p-value	Trước tối ưu	Sau tối ưu
f1 score	$0,870 \pm 0,038$	$0,891 \pm 0,037$	$1,37.10^{-4}$	0,940	0,930
AP	$0,925 \pm 0,046$	$0,937 \pm 0,040$	$4,42.10^{-6}$	0,962	0,955

MẠNG THẦN KINH NHÂN TẠO (ANN)



Thông số huấn luyện mô hình

SIÊU THAM SỐ KHOẢNG TÌM KIẾM	SIÊU THAM SỐ TỐI ƯU	SIÊU THAM SỐ MÔ HÌNH CƠ SỞ
<i>n-layers</i>	int(2;6)	4
<i>dense-neurons</i>	int(128;2048)	1913
<i>dropout-rate</i>	float(0,1; 0,8)	0,782035574792785
<i>epochs</i>	int(50;100)	99

Tham số huấn luyện:

- Hàm mất mát: **Binary Cross Entropy**
- Hàm tối ưu: **Adam**, tốc độ học = 0,0001, weight_decay = 0,01.



Thông số huấn luyện mô hình

Siêu tham số	Khoảng tìm kiếm	Siêu tham số tối ưu	Siêu tham số của mô hình cơ sở
<i>batch-size</i>	categoriacial(128; 64)	64	128
<i>n-blocks</i>	categorical(3; 4; 5)	3	3
<i>embedding-size</i>	int(150; 300)	215	195
<i>drop-out-rate</i>	uniform(0,1; 0,5)	0,3767639976718497	0,3
<i>top-k-ratio</i>	uniform(0,4; 0,9)	0,5805249184752477	0,5
<i>number-hidden-node</i>	int(150; 256)	198	181
<i>ann-dropout-rate</i>	uniform(0,2; 0,9)	0,35364435414672357	0,5
<i>sgd-momentum</i>	uniform(0,7; 0,9)	0,7650509613834541	0,8
<i>scheduler-gamma</i>	uniform(0,9; 1,0)	0,9844021689216244	0,99

Hàm mất mát: **Binary cross entropy**,

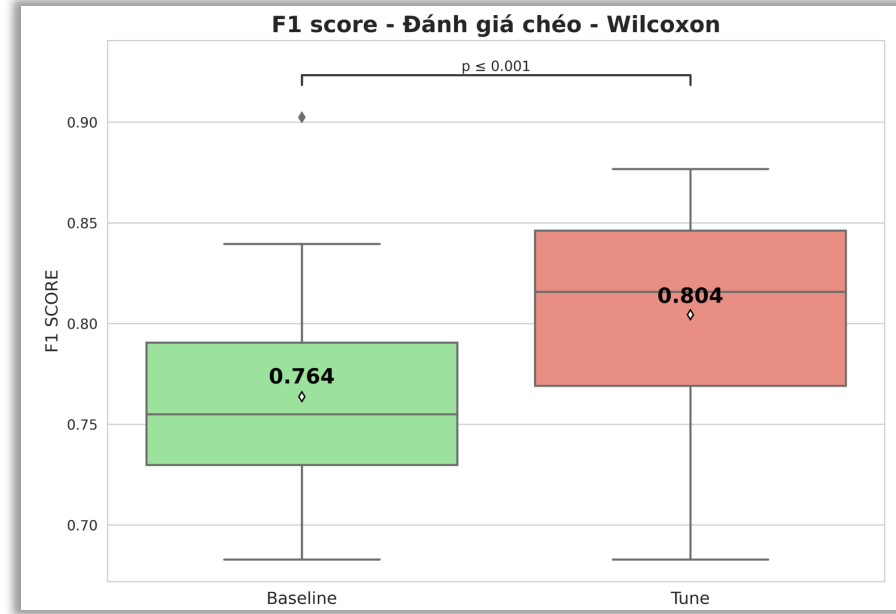
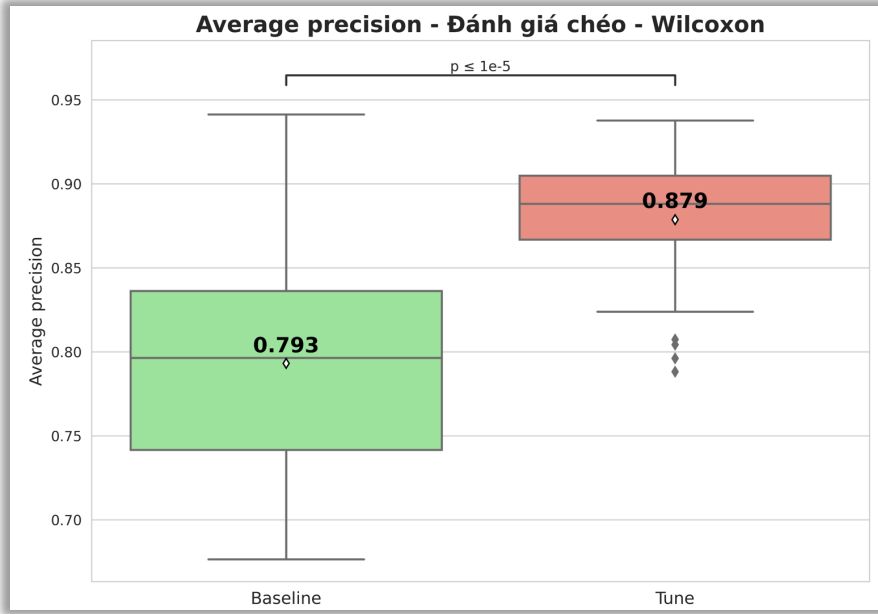
Hàm tối ưu: **SGD**, tốc độ học 0,01 và weight_decay 0,0001, momentum

ExponentialLR một cơ chế điều chỉnh tốc độ học theo lịch trình, Số chu kỳ học: **300**

MẠNG THẦN KINH ĐỒ THỊ (GNN)



3



ĐIỂM

ĐÁNH GIÁ CHÉO (CV)

	Trước tối ưu	Sau tối ưu	p-value	Trước tối ưu	Sau tối ưu
f1 score	$0,729 \pm 0,045$	$0,804 \pm 0,049$	$5,75.10^{-6}$	0,794	0,863
AP	$0,769 \pm 0,069$	$0,879 \pm 0,041$	$1,92.10^{-6}$	0,823	0,938

MẠNG THẦN KINH ĐỒ THỊ (GNN)

2

